

LATITUDE INTEGRATION IDCO- UND HL7-
SPEZIFIKATIONEN

LATITUDE™ NXT

LATITUDE NXT Patienten-Management-System

Outdated version. Do not use.
Version überholt. Nicht verwenden.
Version obsolète. Ne pas utiliser.
Versión obsoleta. No utilizar.
Versione obsoleta. Non utilizzare.
Verouderde versie. Niet gebruiken.
Föråldrad version. Använd ej.
Παλιά έκδοση. Μην την χρησιμοποιείτε.
Versão obsoleta. Não utilize.
Forældet version. Må ikke anvendes.
Zastaralá verze. Nepoužívat.
Utdatert versjon. Skal ikke brukes.
Zastaraná verzia. Nepoužívať.
Elavult verzió. Ne használja!
Wersja nieaktualna. Nie używać.

Outdated version. Do not use.
Version überholt. Nicht verwenden.
Version obsolète. Ne pas utiliser.
Versión obsoleta. No utilizar.
Versione obsoleta. Non utilizzare.
Verouderde versie. Niet gebruiken.
Föråldrad version. Använd ej.
Παλιά έκδοση. Μην την χρησιμοποιείτε.
Versão obsoleta. Não utilize.
Forældet version. Må ikke anvendes.
Zastaralá verze. Nepoužívat.
Utdatert versjon. Skal ikke brukes.
Zastaraná verzia. Nepoužívať.
Elavult verzió. Ne használja!
Wersja nieaktualna. Nie używać.

ÜBERBLICK

Dieses Dokument enthält sowohl Abschnitte zu IDCO als auch zu HL7 für das Latitude NXT-System.

HINWEISE: Es wird vorausgesetzt, dass die Leser dieses Dokuments mit der HL7- und IDCO-Terminologie, der Spezifikationssyntax, den Datentypen und den Nachrichtenstrukturen sowie mit der Semantik für IDCO-Nachrichten vertraut sind. Weitere Informationen finden Sie unter:

- www.hl7.org für HL7-Nachrichtenübermittlung
- www.ihe.net für IDCO-Nachrichtenübermittlung
- http://ihe.net/Technical_Framework/index.cfm#pcd für PCD-09 Technical Framework (besteht aus Vol. 1, 2 und 3)
- <http://standards.ieee.org/findstds/standard/11073-10103-2012.html> für IEEE IDCO-Nomenklatur

Outdated version. Do not use.
Version überholt. Nicht verwenden.
Version obsolete. Ne pas utiliser.
Versión obsoleta. No utilizar.
Verouderde versie. Non utilizzare.
Föråldrad version. Använd ej.
Παλιά έκδοση. Μην την χρησιμοποιείτε.
Versão obsoleta. Não utilize.
Förældet version. Må ikke anvendes.
Zastaralá verzia. Nepoužívať.
Utdatert versjon. Skal ikke brukes.
Zastaraná verzia. Nepoužívať.
Elavult verzió. Ne használja!
Wersja nieaktualna. Nie używać.

Outdated version. Do not use.
Version überholt. Nicht verwenden.
Version obsolète. Ne pas utiliser.
Versión obsoleta. No utilizar.
Versione obsoleta. Non utilizzate.
Verouderde versie. Niet gebruiken.
Föråldrad version. Använd ej.
Παλιά έκδοση. Μην την χρησιμοποιείτε.
Versão obsoleta. Não utilize.
Forældet version. Må ikke anvendes.
Zastaralá verze. Nepoužívat.
Utdatert versjon. Skal ikke brukes.
Zastaraná verzia. Nepoužívať.
Elavult verzió. Ne használja!
Wersja nieaktualna. Nie używać.

INHALTSVERZEICHNIS

ÜBERBLICK	1-1
KAPITEL 1	
IDCO-Überblick	1-2
LATITUDE IDCO-NACHRICHTENSPEZIFIKATION	2-1
KAPITEL 2	
Latitude Nachrichtenspezifikation	2-2
Segmentstruktur	2-2
MSH-Segmentstruktur	2-2
PID-Segmentstruktur	2-2
Standardmäßige IDCO-Patienten-ID (erste ID in der Liste)	2-2
Latitude-Patienten-ID (zweite ID in der Liste)	2-2
PV1-Segmentstruktur	2-3
PV2-Segmentstruktur	2-3
OBR-Segmentstruktur	2-3
OBX-Segmentstruktur	2-3
Ausgabeparameter	2-4
NTE-Segmentstruktur	2-4
Berichte	2-4
Eingangs-EGM-Bericht	2-4
Kombinierter Nachkontrollbericht	2-5
Bericht Arrhythmie-Logbuch	2-5
Bericht Herzinsuffi. Management	2-5
Berichtsnamen in der Meldung	2-5
Grundlegende Begriffe	2-5
KONVERTIERUNG DER DATEN VON IMPLANTIERTEN GERÄTEN ZU IDCO-NACHRICHTEN	3-1
KAPITEL 3	
Batteriestatus	3-2
SET_BRADY_SENSOR_TYPE	3-2
Episoden-Mapping	3-2
Zähler-Mapping	3-4
Elektrodenkonfiguration-Mapping	3-4
Systemeinschränkungen	3-5
Definitionen für Alarme und Warnungen	3-6
Berichte	3-6

IDCO-BEISPIELDATEIEN	4-1
KAPITEL 4	
IDCO-Beispieldateien	4-2
Beispiel-Nachricht 1 — S-ICD-Gerät	4-2
Beispiel-Nachricht 2 — Andere Geräte (Nicht S-ICD)	4-4
ÜBERBLICK	5-1
KAPITEL 5	
HL7-Überblick	5-2
LATITUDE HL7-NACHRICHTENSPEZIFIKATION	6-1
KAPITEL 6	
Latitude HL7-Nachrichtenspezifikation	6-2
MSH-Segmentstruktur	6-2
PID-Segmentstruktur	6-4
NTE-Segmentstruktur	6-5
PV1-Segmentstruktur	6-6
PV2-Segmentstruktur	6-7
OBR-Segmentstruktur	6-7
Untersuchungsbericht-Gruppen-IDs	6-9
OBX-Segmentstruktur	6-9
ZUx-Segmentstruktur	6-10
LATITUDE-HL7-BEGRIFFSDEFINITIONEN	7-1
KAPITEL 7	
LATITUDE-HL7-Begriffsdefinitionen	7-2
In der Gruppe OBR–1 verwendete OBX-Begriffe (Letzte Abfragedaten)	7-2
In der Gruppe OBR–2 verwendete OBX-Begriffe (Implantationsdaten)	7-10
In der Gruppe OBR–3 verwendete OBX-Begriffe (Letzter Elektrodentest in der Praxis)	7-11
In der Gruppe OBR–4 verwendete OBX-Begriffe (Elektrodeninformationen)	7-12
HL7-BEISPIELDATEI	8-1
KAPITEL 8	
HL7-Beispieldatei	8-2
Beispiel-Nachricht 1 — S-ICD-Gerät	8-2
Beispiel-Nachricht 2 — Andere Geräte (Nicht S-ICD)	8-3
VERWENDETE SYMBOLE AUF ETIKETTEN	A-1
ANHANG A	

ÜBERBLICK

KAPITEL 1

Dieses Kapitel enthält die folgenden Themen:

- "IDCO-Überblick" auf Seite 1-2

Outdated version. Do not use.
Version überholt. Nicht verwenden.
Version obsolète. Ne pas utiliser.
Versión obsoleta. No utilizar.
Versione obsoleta. Non utilizzate.
Verouderde versie. Niet gebruiken.
Föråldrad version. Använd ej.
Παλιά έκδοση. Μην την χρησιμοποιείτε.
Versão obsoleta. Não utilize.
Förældet version. Må ikke anvendes.
Zastaralá verze. Nepoužívat.
Utdatert versjon. Skal ikke brukes.
Zastaraná verzia. Nepoužívať.
Elavult verzió. Ne használja!
Wersja nieaktualna. Nie używać.

IDCO-ÜBERBLICK

Das Boston Scientific LATITUDE-Patientenfernüberwachungssystem erstellt IDCO (Implantable Device – Cardiac – Observation) Nachrichten gemäß den in diesem Dokument dargelegten Spezifikationen und Definitionen. Die Nachrichten sind mit dem Integrating the Healthcare Enterprise (IHE) Patient Care Device (PCD) Technical Framework IDCO-Profil konform. Diese Nachrichten dienen zur Übermittlung von Patientendaten an ein elektronisches Krankenaktensystem (EMR-System) oder ein klinisches Informationssystem (CIS).

Das vorliegende Dokument ist für LATITUDE-Kunden von Boston Scientific (BSC) bestimmt, die (1) IDCO-Nachrichten in ein EMR-System integrieren und (2) EMR- oder CIS-Systeme zur Nachverfolgung und Verwaltung von Patientendaten verwenden. Der erste Abschnitt dieses Dokuments („LATITUDE IDCO-Nachrichtenspezifikation“) richtet sich primär an technisches Personal, das für Nachrichtenintegration zuständig ist, während der zweite Abschnitt hauptsächlich die Boston Scientific-Version der in der Nachricht enthaltenen Daten für klinische Anwender verdeutlichen soll.

HINWEISE: Es wird vorausgesetzt, dass die Leser dieses Abschnitts mit der HL7- und IDCO-Terminologie, der Spezifikationssyntax, den Datentypen und den Nachrichtenstrukturen sowie mit der Semantik für IDCO-Nachrichten vertraut sind. Weitere Informationen finden Sie unter:

- www.hl7.org für HL7-Nachrichtenübermittlung
- www.ihe.net für IDCO-Nachrichtenübermittlung
- http://ihe.net/Technical_Framework/index.cfm#pcd für PCD-09 Technical Framework (besteht aus Vol. 1, 2 und 3)
- <http://standards.ieee.org/findstds/standard/11073-10103-2012.html> für IEEE IDCO-Nomenklatur

LATITUDE IDCO-NACHRICHTENSPEZIFIKATION

KAPITEL 2

Dieses Kapitel enthält die folgenden Themen:

- “Latitude Nachrichtenspezifikation” auf Seite 2-2
- “Segmentstruktur” auf Seite 2-2
- “MSH-Segmentstruktur” auf Seite 2-2
- “PID-Segmentstruktur” auf Seite 2-2
- “PV1-Segmentstruktur” auf Seite 2-3
- “PV2-Segmentstruktur” auf Seite 2-3
- “OBR-Segmentstruktur” auf Seite 2-3
- “OBX-Segmentstruktur” auf Seite 2-3
- “Ausgabeparameter” auf Seite 2-4
- “NTE-Segmentstruktur” auf Seite 2-4
- “Berichte” auf Seite 2-4
- “Grundlegende Begriffe” auf Seite 2-5

LATITUDE NACHRICHTENSPEZIFIKATION

Die LATITUDE IDCO-Nachricht ist eine PCD-09-Nachricht für IHE PCD Technical Framework Revision 3.0, 11. Oktober 2013. Für Technical Framework ist die Nachricht eine Standard-HL7 v2.6-Nachricht mit unangeforderten Bestellungen und Untersuchungen, die vom implantierten Gerät durchgeführte Untersuchungen enthält und mit der ISO/IEEE 11073-10103:2014 IDC-Nomenklatur codiert wurde. Dieser internationale Standard beschreibt ein universelles Modell für die Kompatibilität elektronischer medizinischer Daten.

Werte, die in den nachfolgenden Tabellen in Anführungszeichen gesetzt sind, sind fest codiert und erscheinen immer wie dargestellt. Werte ohne Anführungszeichen stellen entweder ein Beispiel oder eine Beschreibung des Werts dar.

SEGMENTSTRUKTUR

Alle gesendeten Daten gelten für PCD-09. Die in diesem Abschnitt enthaltenen Informationen sollen die BSC-Ausgabe für IDCO-Nachrichten definieren. Diese Informationen sind nicht vollständig, und dienen nicht dazu, die IDCO-Nomenklatur näher zu definieren.

MSH-SEGMENTSTRUKTUR

Das MSH-Segment enthält Informationen über den Sender und Empfänger der Nachricht, den Nachrichtentyp, einen Zeitstempel usw. und ist das erste Segment der IDCO-Nachricht.

NAME DES ELEMENTS	SEQ	SUB SEQ	WERT
Sendende Anwendung	3		„LATITUDE“
Sendende Einrichtung	4		„BOSTON SCIENTIFIC“
Empfangende Einrichtung	6		LATITUDE Krankenhausname
Zeichensatz	18		„UNICODE UTF-8“

PID-SEGMENTSTRUKTUR

Das PID-Segment enthält Daten zur Patientenidentifizierung wie Name, ID-Code, Postleitzahl usw. Diese Informationen werden für den Patientenabgleich verwendet.

LATITUDE ermöglicht es Krankenhäusern, (optional) ihre eigenen Patienten-IDs in das LATITUDE-System einzugeben. Die exportierte IDCO-Nachricht enthält die optionale Patienten-ID. Bei Verwendung erscheint diese krankenhausesdefinierte Patienten-ID in der Patientenkenntnisliste (Sequenz 3) als Text nach dem Tildezeichen (~).

Standardmäßige IDCO-Patienten-ID (erste ID in der Liste)

NAME DES ELEMENTS	SEQ	SUB SEQ	WERT
Patienten-ID	3		
Berechtigung zuweisen	3	4	„BSX“

Latitude-Patienten-ID (zweite ID in der Liste)

NAME DES ELEMENTS	SEQ	SUB SEQ	WERT
Patienten-ID-Liste	3		
ID-Nummer	3	1	LATITUDE-Patienten-ID
Berechtigung zuweisen	3	4	LATITUDE Krankenhausname
Code des ID-Typs	3	5	„U“

Beispiel:

```
PID|1|model:N119/serial:123456^^^BSX^U~{LATITUDE Patienten-ID} ^^  
{LATITUDE Krankenhausname}^U||PatientLastName^Vorname des Patienten  
^^^^^|19550116|U|...
```

PV1-SEGMENTSTRUKTUR

Das PV1-(Patientenbesuch-)Segment enthält Informationen zum behandelnden Arzt des Patienten.

NAME DES ELEMENTS	SEQ	SUB SEQ	WERT
Patientenklasse	2		„R“

PV2-SEGMENTSTRUKTUR

Das PV2-(Patientenbesuch 2-) Segment enthält Informationen zur LATITUDE-Gruppe des Patienten.

NAME DES ELEMENTS	SEQ	SUB SEQ	WERT
Name der Organisation (Gruppe)	23	1	LATITUDE-Gruppenname Beispiel: Kardiologie
ID-Nummer (primäre oder sekundäre Patientengruppe)		3	1 Siehe Hinweis a

a. Dieser Wert ist „1“, wenn die HL7-Datei mit der primären LATITUDE-Gruppe verknüpft ist, und „2“, wenn sie mit der sekundären LATITUDE-Gruppe verknüpft ist.

OBR-SEGMENTSTRUKTUR

OBR-Segmente sind die Abschnittsüberschriften für einzelne OBX-Abfrageinformationssegmente. Sie enthalten Daten wie Zeitstempel, Berichtkennung und eine einzigartige systemgenerierte Kennung.

NAME DES ELEMENTS	SEQ	SUB SEQ	BEISPIELWERT
Universelle Servicekennung	4		
Kennung		1	754053
Text		2	Siehe Hinweis a
Datum/Uhrzeit der Untersuchung Nr.	7		20060429080005+0000 Siehe Hinweis b
Ergebnisstatus	25		„F“ Siehe Hinweis c

- a. Der Text der universellen Servicekennung hat das Format MDC_IDC_ENUM_SESS_TYPE_{Sitzungstyp} (z. B. MDC_IDC_ENUM_SESS_TYPE_RemoteScheduled).
- b. „Datum/Uhrzeit der Untersuchung“ zeigt den Zeitstempel der Abfrage des implantierten Aggregats an. Der Zeitstempel befindet sich in der Zeitzone, die für den Patienten eingerichtet wurde.
- c. Der Ergebnisstatus lautet „F“ (Endergebnisse).

OBX-SEGMENTSTRUKTUR

OBX-Segmente enthalten Daten, die während der letzten Geräteabfrage gesammelt wurden.

NAME DES ELEMENTS	SEQ	SUB SEQ	WERT
Status des Untersuchungsergebnisses	11		„F“ Siehe Hinweis a
Datum/Uhrzeit der Untersuchung	14		20060317170000+0000 Siehe Hinweis b

- a. Der Ergebnisstatus lautet „F“ (Endergebnisse).
b. Das Datum der Messung wird angegeben, wenn das Messungsdatum vom Untersuchungsdatum im OBR abweicht.

AUSGABEPARAMETER

- Die Zeichenfolgen werden in der Sprache gesendet, die für die Klinik in LATITUDE konfiguriert wurde.
- Zahlenwerte werden immer mit dem Punkt „.“ als Radixpunkt (Dezimalpunkt) gesendet.

NTE-SEGMENTSTRUKTUR

- S-ICD-Geräte

- Wenn sich das Gerät in einem Modus befindet, in dem die Einstellungen nicht relevant sind (z. B. im MRT-Modus), enthält das erste NTE Informationen über den aktuellen Status des Geräts. Beispiel:

```
NTE|1||Piepton ist derzeit deaktiviert.\\.br\\|.br\\Das Gerät befindet sich im MRT-Schutz-Modus.\\.br\\Startzeit: 4. Sep. 2015 00:45 CDT\\.br\\Geplantes Zeitlimit: 4. Sep. 2015 06:45 CDT\\.br\\Die Therapie wechselt zu ON (EIN), wenn der MRT-Schutz-Modus beendet wird.
```

- Wenn sich das Gerät in einem Modus befindet, in dem die Einstellungen relevant sind, enthält das erste NTE Informationen über die Einstellungen im Format *Etikett:Wert*, wobei jede Einstellung durch einen Zeilenumbruch getrennt ist (.br). Beispiel:

```
NTE|1||Detektionskonfiguration: Primär\\.br\\Verstärkungseinstellung: 2X\\.br\\Post Shock Pacing: ON
```

- Wenn Gerätestatusinformationen vorhanden sind, sind alle Gerätestatus im zweiten NTE enthalten. Beispiel:

```
NTE|2||Sofortige Maßnahme am Gerät erforderlich.\\.br\\|.br\\Wenden Sie sich an Boston Scientific - BD.\\.br\\|.br\\Amerika: 1.800.CARDIAC (227.3422) oder +1.651.582.4000\\.br\\Europa, Naher Osten, Afrika: +32 2 416 7222\\.br\\Asien-Pazifik: +61 2 8063 8299
```

- Alle anderen Geräte

- Wenn ein Alarm vorhanden ist, gibt es ein NTE für jeden Alarm.

- Wenn eine Warnung vorhanden ist, wird ein Warnungs-NTE einem oder mehreren Alarm-NTEs vorangestellt. Ein Warnungs-NTE enthält eine oder mehrere Warnungen in einem NTE.

BERICHTE

Eingangs-EGM-Bericht

Wenn der Eingangs-EGM-Bericht in den vom PG erhaltenen Nutzdaten enthalten ist, wird dieser Bericht als PDF-Datei an die Nachricht angehängt und mithilfe der Gruppen-ID (OBX-4) für die APMRT-Episode mit dieser APMRT-Episode verknüpft.

Kombinierter Nachkontrollbericht

Ein „Kombinierter Nachkontrollbericht“ ist als PDF-Datei in einem separaten OBX an die Nachricht angehängt.

Bericht Arrhythmie-Logbuch

Ein „Arrhythmie-Logbuch“ ist als PDF-Datei in einem separaten OBX an die Nachricht angehängt.

Bericht Herzinsuffi. Management

Ein Bericht zum Herzinsuffizienz-Management wird als PDF-Datei in einem separaten OBX an die Nachricht angehängt.

Berichtsnamen in der Meldung

Jedes OBX-Segment enthält den Berichtsnamen in OBX-3.5. Beispiel:

```
OBX|51|ED|18750-0^Kardialer elektrophysiologischer Bericht^LN^^
Kombinierter Nachkontrollbericht||Anwendung^PDF^^Base64^{base 64
kodierte PDF hier}|...
```

GRUNDLEGENDE BEGRIFFE

In der nachfolgenden Tabelle sind die Nomenklatur-Begriffe aufgeführt, die in einer BSC IDCO-Nachricht enthalten sein können.

REFERENZ-IDPREPEND MDC_IDC_	Anzeigename
DEV	Implantierbares kardiales Gerät
_TYPE	Implantierbares kardiales Gerät – Typ
_MODEL	Implantierbares kardiales Gerät – Modell
_SERIAL	Implantierbares kardiales Gerät – Seriennummer
_MFG	Implantierbares kardiales Gerät – Hersteller
_IMPLANT_DT	Implantierbares kardiales Gerät – Implantationsdatum
LEAD	Implantierbare Elektrode – Attribute
_MODEL	Implantierbare Elektrode – Modell
_SERIAL	Implantierbare Elektrode – Seriennummer
_MFG	Implantierbare Elektrode – Hersteller
_IMPLANT_DT	Implantierbare Elektrode – Implantationsdatum
_POLARITY_TYPE	Implantierbare Elektrode – Polaritätstyp
_LOCATION	Implantierbare Elektrode – Position
_LOCATION_DETAIL_1	Implantierbare Elektrode – Position Detail 1
SESS	Abfragesitzung
_DTM	Abfragesitzung – Datum/Uhrzeit
_TYPE	Abfragesitzung – Typ
_CLINIC_NAME	Name des Krankenhauses

MSMT	Messungen
_BATTERY	Batteriemessungen
_DTM	Batterie – Datum und Uhrzeit der Messungen
_STATUS	Batteriestatus
_REMAINING_LONGEVITY	Batterie – Verbleibende Funktionsdauer
_REMAINING_PERCENTAGE	Batterie – Verbleibender Prozentsatz
_CAP	Kondensator – Messungen
_CHARGE_DTM	Kondensator – Datum/Uhrzeit der letzten Ladung
_CHARGE_TIME	Kondensator – Ladezeit
_CHARGE_TYPE	Kondensator – Ladetyp
_CHARGE_ENERGY	Ladeenergie
LEADCHNL[CHAMBER]	Elektrodenkanal – Messungen
DTM[STRTEND]	Elektrodenkanal – Datum und Uhrzeit der Messungen
_LEAD_CHANNEL_STATUS	Elektrodenkanal – Status
_SENSING	Elektrodenkanal – Detektionsmesswerte
_INTR_AMPL_[MMM]	Elektrodenkanal – Detektion intrinsische Amplitude
_POLARITY	Elektrodenkanal – Detektionspolarität
_PACING_THRESHOLD	Elektrodenkanal – Messungen Stimulationsreizschwelle
_AMPLITUDE	Elektrodenkanal – Amplitude Stimulationsreizschwelle
_PULSEWIDTH	Elektrodenkanal – Reizschwellen-Impulsdauer Stimulation
_MEASUREMENT_METHOD	Elektrodenkanal – Messmethode Stimulationsreizschwelle
_POLARITY	Elektrodenkanal – Polarität Stimulationsreizschwelle
_IMPEDANCE	Elektrodenkanal – Impedanzmessungen
_VALUE	Elektrodenkanal – Impedanzwert
_POLARITY	Elektrodenkanal – Impedanzpolarität
_LEADHVCHNL	Hochspannung-Elektrodenkanal – Messungen
DTM[STRTEND]	Hochspannung-Elektrodenkanal – Datum/Uhrzeit
_IMPEDANCE	Hochspannung-Elektrodenkanal – Impedanz
_MEASUREMENT_TYPE	Hochspannung-Elektrodenkanal – Messungstyp
_STATUS	Hochspannung-Elektrodenkanal – Status
SET	Einstellungen

_CRT	CRT-Einstellungen
_LVRV_DELAY	CRT LV-RV-Verzögerung
_PACED_CHAMBERS	Ventrikuläre Kammern, die während der CRT-Stimulation stimuliert werden
LEADCHNL[CHAMBER]	Elektrodenkanal-Einstellungen
_SENSING	Elektrodenkanal-Einstellungen – Detektion
_SENSITIVITY	Elektrodenkanal-Einstellung Detektion – Empfindlichkeit
_POLARITY	Elektrodenkanal-Einstellung Detektion – Polarität
_ANODE_LOCATION_[1..3]	Elektrodenkanal-Einstellung Detektion – Anodenposition
_ANODE_ELECTRODE_[1..3]	Elektrodenkanal-Einstellung Detektion – Anodenterminal
_CATHODE_LOCATION_[1..3]	Elektrodenkanal-Einstellung Detektion – Kathodenposition
_CATHODE_ELECTRODE_[1..3]	Elektrodenkanal-Einstellung Detektion – Kathodenterminal
ADAPTATION_MODE	Elektrodenkanal-Einstellung Detektion – Adaptionsmodus
_PACING	Elektrodenkanaleinstellungen – Stimulation
_AMPLITUDE	Elektrodenkanaleinstellung Stimulation – Amplitude
_PULSEWIDTH	Elektrodenkanaleinstellung Stimulation – Impulsdauer
_POLARITY	Elektrodenkanaleinstellung Stimulation – Polarität
_ANODE_LOCATION_[1..3]	Elektrodenkanaleinstellung Stimulation – Anodenposition
_ANODE_ELECTRODE_[1..3]	Elektrodenkanaleinstellung Stimulation – Anodenterminal
_CATHODE_LOCATION_[1..3]	Elektrodenkanaleinstellung Stimulation – Kathodenposition
_CATHODE_ELECTRODE_[1..3]	Elektrodenkanaleinstellung Stimulation – Kathodenterminal
_CAPTURE_MODE	Elektrodenkanaleinstellung Stimulation – Erfassungsmodus
_BRADY	Brady-Einstellungen
_MODE	Brady-Einstellungsmodus (NBG-Code)
_LOWRATE	Brady-Einstellung – Untere Grenzfrequenz
_SENSOR_TYPE	Brady-Einstellung – Sensortyp
_MAX_TRACKING_RATE	Brady-Einstellung – Maximale Trackingfrequenz
_MAX_SENSOR_RATE	Brady-Einstellung – Maximale Sensorfrequenz

_SAV_DELAY_[HIGHLOW]	Brady-Einstellung – SAV-Verzögerung
_PAV_DELAY_[HIGHLOW]	Brady-Einstellung – PAV-Verzögerung
_AT_MODE_SWITCH_MODE	Brady-Einstellung – Umschaltmodus AT-Modus
_AT_MODE_SWITCH_RATE	Brady-Einstellung – Umschaltfrequenz AT-Modus
_TACHYTHERAPY	Tachy-Therapie-Einstellungen
_VSTAT	Tachy-Therapie-Einstellungen – Ventrikulärer Status
_ZONE	Zoneneinstellungen
_TYPE	Zoneneinstellung – Typkategorie
_VENDOR_TYPE	Zoneneinstellung – Händlertyp-Kategorie
_STATUS	Zoneneinstellung – Status
_DETECTION_INTERVAL	Zoneneinstellung – Detektionsintervall
_DETECTION_DETAILS	Detektionsdetails
_TYPE_ATP_[1..10]	Zoneneinstellung – ATP-Typ
_NUM_ATP_SEQS_[1..10]	Zoneneinstellung – Anzahl von ATP-Sequenzen
_SHOCK_ENERGY_[1..10]	Zoneneinstellung – Schockenergie
_NUM_SHOCKS_[1..10]	Zoneneinstellung – Anzahl von Schocks
STAT	Statistiken
DTM[STRTEEND]	Statistik – Datum/Uhrzeit
_BRADY	Brady-Statistiken
DTM[STRTEEND]	Brady-Statistik – Datum/Uhrzeit
_RA_PERCENT_PACED	Brady Statistik – RA-Prozent stimuliert
_RV_PERCENT_PACED	Brady Statistik – RV-Prozent stimuliert
_AT	Statistik zu atrialer Tachykardie
DTM[STRTEEND]	Statistik zu atrialer Tachykardie – Datum/Uhrzeit
_BURDEN_PERCENT	Statistik zu atrialer Tachykardie – AT/AF Burden in Prozent
_CRT	CRT-Statistiken
DTM[STRTEEND]	CRT-Statistik – Datum/Uhrzeit
_LV_PERCENT_PACED	CRT-Statistik – LV-Prozent stimuliert
_TACHYTHERAPY	Tachy-Therapie-Statistiken
_SHOCKS_DELIVERED_RECENT	Letzte abgegebene Schocks
_RECENT_DTM_[STRTEEND]	Letztes Datum/letzte Uhrzeit
_SHOCKS_DELIVERED_TOTAL	Insgesamt abgegebene Schocks
_TOTAL_DTM_[STRTEEND]	Datum/Uhrzeit gesamt

_SHOCKS_ABORTED_RECENT	Letzte abgebrochene Schocks
_SHOCKS_ABORTED_TOTAL	Abgebrochene Schocks gesamt
_ATP_DELIVERED_RECENT	Letzte abgegebene ATP
_ATP_DELIVERED_TOTAL	Abgegebene ATP gesamt
_EPISODE	Episodenstatistiken
_TYPE	Episodenstatistik – Kategorietyt
_TYPE_INDUCED	Episodenstatistik – Typ induziert
_VENDOR_TYPE	Episodenstatistik – Händlertyp-Kategorie
_RECENT_COUNT	Episodenstatistik – Letzte Zählung
_RECENT_COUNT_DTM_[STR END]	Episodenstatistik – Letztes Datum/letzte Uhrzeit
_TOTAL COUNT	Gesamtzahl
_TOTAL_COUNT_DTM_[STR END]	Datum/Uhrzeit gesamt
EPISODE	Episode
_ID	Episode – Kennung
_DTM	Episode – Datum/Uhrzeit
_TYPE	Episodentyp – Kategorie
_TYPE_INDUCED	Episodentyp – Induziert-Markierung
_VENDOR_TYPE	Episode – Händlertyp-Kategorie
_ATRIAL_INTERVAL_AT_DETECTION	Episode – Detektionsintervall Atrial
_VENTRICULAR_INTERVAL_AT_DETECTION	Episode – Detektionsintervall Ventrikulär
_DETECTION_THERAPY_DETAILS	Episode – Details zu Detektion und Therapie
_DURATION	Episode – Dauer

Outdated version. Do not use.
Version überholt. Nicht verwenden.
Version obsolète. Ne pas utiliser.
Versión obsoleta. No utilizar.
Versione obsoleta. Non utilizzare.
Verouderde versie. Niet gebruiken.
Föråldrad version. Använd ej.
Παλιά έκδοση. Μην την χρησιμοποιείτε.
Versão obsoleta. Não utilize.
Forældet version. Må ikke anvendes.
Zastaralá verze. Nepoužívat.
Utdatert versjon. Skal ikke brukes.
Zastaraná verzia. Nepoužívať.
Elavult verzió. Ne használja!
Wersja nieaktualna. Nie używać.

KONVERTIERUNG DER DATEN VON IMPLANTIERTEN GERÄTEN ZU IDCO-NACHRICHTEN

KAPITEL 3

Dieses Kapitel enthält die folgenden Themen:

- “Batteriestatus” auf Seite 3-2
- “SET_BRADY_SENSOR_TYPE” auf Seite 3-2
- “Episoden-Mapping” auf Seite 3-2
- “Zähler-Mapping” auf Seite 3-4
- “Elektrodenkonfiguration-Mapping” auf Seite 3-4
- “Systemeinschränkungen” auf Seite 3-5
- “Definitionen für Alarme und Warnungen” auf Seite 3-6
- “Berichte” auf Seite 3-6

Outdated version. Do not use.
Version überholt. Nicht verwenden.
Version obsolete. Ne pas utiliser.
Versión obsoleta. No utilizar.
Versione obsoleta. Non utilizzare.
Verouderde versie. Niet gebruiken.
Föråldrad version. Använd ej.
Παλιά έκδοση. Μην την χρησιμοποιείτε.
Versão obsoleta. Não utilize.
Forældet version. Skal ikke anvendes.
Zastaralá verze. Nepoužívat.
Utdatert versjon. Må ikke anvendes.
Zastaraná verzia. Nepoužívať.
Elavult verzió. Ne használja!
Wersja nieaktualna. Nie używać.

BATTERIESTATUS

Die aufgeführten Batterieparameter werden folgendermaßen dem BSC-Batteriestatus zugeordnet:

BSC-BATTERIESTATUS (S-ICD-Geräte)	BSC-BATTERIESTATUS (Alle weiteren Geräte)	IDCO-BATTERIESTATUS
>10 % verbleibend für ERI	BOL	BOS
<= 10 % verbleibend für ERI	OY	MOS
ERI	ERI	RRT
EOL	EOL	EOS

Wenn ein implantiertes Gerät eingeschränkte Telemetrie erreicht, könnte der Batteriestatus entweder ERI oder EOL lauten. Beide Batteriestatus führen zu folgender Nachricht: ENUM_BATTERY_STATUS_RRT (ERI) in MSMT_BATTERY_STATUS mit dem ERI-Zeitstempel in MSMT_BATTERY_DTM. Dieser Zustand gilt nur für eingeschränkte Telemetrie und gilt nicht für S-ICD-Geräte.

SET_BRADY_SENSOR_TYPE

Der Sensortyp wird gesendet, wie in der nachfolgenden Tabelle dargestellt.

GESENDER WERT FÜR SET_BRADY_SENSOR_TYPE VARIABLE BASIERT AUF DER EINSTELLUNG DES IMPLANTIERTEN GERÄTS	EINSTELLUNG IMPLANTIERTES GERÄT
„Akzelerometer“	Nur Akzelerometer
„Atem-Minuten-Volumen“	Nur AMV
„Akzelerometer + AMV“	Akzelerometer und AMV

Die obigen Werte werden nur gesendet, wenn die Frequenz vom Sensor gesteuert werden kann (d. h. sie werden nicht gesendet, wenn sich der Sensor in einem reinen Überwachungsstatus befindet).

Die obigen Werte werden nur gesendet, wenn die Frequenz im normalen Brady-Modus oder in ATR gesteuert werden kann (d. h. der Wert gibt nicht einfach nur den normalen Brady-Modus wieder).

Beachten Sie, dass „Nur ATR“ in Berichten angezeigt werden kann, wenn der ATR-Modus ein Modus mit Frequenzanpassung ist; der normale Brady-Modus bietet keine Frequenzanpassung. In diesem Fall wird der Text (z. B. „Akzelerometer“) weiterhin für den ATR-Modus gesendet. Der Benutzer kann den Brady-Modus und den ATR-Modus prüfen und festlegen, dass die Frequenzanpassung nur für ATR gilt.

EPISODEN-MAPPING

Episoden, Zähler usw. werden relativ zu den Informationen gesendet, die in der Abfrage enthalten sind. Dieselben Informationen werden zu Anfang und in einer nachfolgenden erneuten Sendung gesendet, auch wenn eine Abfrage dazwischen liegt. Beachten Sie, dass die EMR-Ausgabe nicht immer mit der Anzeige im Bericht „Quick Notes“ übereinstimmt, da in den „Quick Notes“ die Episoden, Alarme und Zähler seit dem letzten Reset angezeigt werden. Episoden werden in einer Kombination von normativen und händlerspezifischen Typen dargestellt. Einige Episodentypen bei Boston Scientific können nicht eindeutig in der aktuellen IDCO-Nomenklatur dargestellt werden.

BSC-EPIODEN-ID	BSC-EPIODENTYP	NORMATIVER IDCO-EPIODENTYP	HÄNDLERSPEZIFISCHER IDCO-EPIODENTYP
V-x	VF	VF	BSX-Zone_VF
V-x	VT	VT	BSX-Epis_VT
V-x	VT (V>A)	VT	BSX-Epis_VT
V-x	Tachy	Für SSI-Geräte, wenn sich die Elektrode im folgenden Status befindet: <ul style="list-style-type: none"> V – VT A – AT/AF Unspezifiziert – VT 	Siehe Hinweis a
V-x	NonSust	Für SSI-Geräte, wenn sich die Elektrode im folgenden Status befindet: <ul style="list-style-type: none"> V_c – VT A – AT/AF Unspezifiziert – VT 	Wenn A, leer sonst BSX-Epis_NSVT
V-x	SVT (V≤A)	SVT	BSX-Zone_SVT
V-x	VT-1	VT	BSX-Epis_VT-1
RMS-x	RMS	Andere	BSX-Epis_RMS
RYTHMIQ™-x	RYTHMIQ™	Andere	BSX-Epis_RMS
ATR-x	ATR	ATAF	BSX-Epis_ATR
PMT-x	PMT	Andere	BSX-Epis_PMT
SBR-x	SBR	Andere	Siehe Hinweis a
PTM-x	PTM	Patient aktiviert	BSX-Epis_PTM
V-x	Bef. V	Andere	Siehe Hinweis a
V-x	NonSustV	VT	BSX-Epis_NSVT
APMRT-x	APM RT	Periodisches EGM	BSX-Epis_APMRT
RVAT-x	RV Autom.	Andere	Siehe Hinweis a
RAAT-x	RA Auto	Andere	Siehe Hinweis a
LVAT-x	LV Auto	Andere	Siehe Hinweis a
MRI-x	MRT	Andere	Siehe Hinweis a
<Episodennummer>	Behandelt	VF	BSX-Zone_VF
<Episodennummer>	Unbehandelt	Andere	Siehe Hinweis a
<Episodennummer>	AF	ATAF	Siehe Hinweis a

a. Der händlerspezifische Episodentyp OBX ist in der Nachricht mit einem leeren Untersuchungswert enthalten.

ZÄHLER-MAPPING

Einige Zähler werden zusammengefasst, bevor die Nachricht gesendet wird. Dies liegt daran, dass die Boston Scientific-Zähler derzeit nicht eindeutig in der aktuellen IDCO-Nomenklatur dargestellt werden können: Die gesendeten Zählerwerte sind die seit dem letztem Reset.

BSC-EPISODENZÄHLER	STATISTISCHER NORMATIVER IDCO-EPISODENTYP	STATISTISCHER HÄNDLERSPEZIFISCHER IDCO-EPISODENTYP
Behandelt	VF	BSX-Epis_VF
Unbehandelt	Andere	Siehe Hinweis a
VT (V>A)	VT	BSX-Epis_VT
Tachy	VT	BSX-Epis_VT
NonSust	VT	BSX-Epis_NSVT
NonSustV	VT	BSX-Epis_NSVT
SVT (V ≤ A)	SVT	BSX-Epis_SVT
ATR	AT/AF	BSX-Epis_ATR
MRT	Andere	Siehe Hinweis a
VF	VF	BSX-Epis_VF
VT	VT	BSX-Epis_VT
VT-1	VT	BSX-Epis_VT-1
Bef	Andere	Siehe Hinweis a
Keine Therapie programmiert	Überwachungsgerät	Siehe Hinweis a
Andere nicht behandelte	Andere	Siehe Hinweis a
RMS	Andere	BSX-Epis_RMS
RYTHMIQ™	Andere	BSX-Epis_RMS
PMT	Andere	BSX-Epis_PMT
SBR	Andere	Siehe Hinweis a
PTM	Patient aktiviert	BSX-Epis_PTM
APM RT	Periodisches EGM	BSX-Epis_APMRT
RA Auto	Andere	Siehe Hinweis a
RV Autom	Andere	Siehe Hinweis a
LV Auto	Andere	Siehe Hinweis a

a. Der händlerspezifische Zählerstat. OBX ist in der Nachricht mit einem leeren Untersuchungswert enthalten.

ELEKTRODENKONFIGURATION-MAPPING

In der nachfolgenden Tabelle wird dargestellt, wie mehrere Elektrodenpole bei IDCO und BSC definiert werden. Diese Tabelle soll nicht vollständig sein, sondern enthält nur Aufzählungen, die möglicherweise nicht allgemein bekannt sind.

Die von BSC verwendeten Definitionen wurden so gewählt, dass sie mit dem Programmer Recorder Monitor (PRM) und der LATITUDE-Website konsistent sind.

BSC-ELECTRODENNAME	POSITION IDCO-ELEKTRODE	IDCO-ELECTRODENNAME
Gehäuse	Andere	Gehäuse
LVTip1	LV	Spitze
LVRing2	LV	Ring1
LVRing3	LV	Ring2
LVRing4	LV	Ring3

MDC_IDC_ENUM_ELECTRODE_LOCATION(Stimulation/Detektionsanode/Kathodenposition) enthält derzeit keine Aufzählung für die Tasche (d. h. Gehäuse). Die Position wird als „Sonstige“ und die Elektrode als „Gehäuse“ gesendet.

Der Status „Elektrode überprüfen“ gibt ein mögliches Problem mit der Elektrode an; wenn kein Status „Elektrode überprüfen“ angezeigt wird, bedeutet das nicht, dass die Elektrode ordnungsgemäß arbeitet. Der Status „Elektrode prüfen“ wird gesendet, wenn eine der folgenden Statusanzeigen vorhanden ist:

- S-ICD-Geräte
 - Hohe Elektroden-Impedanz
- Alle anderen Geräte
 - Sicherheitsumschaltung
 - Impedanz außerhalb der Grenzwerte
 - Amplitude außerhalb der Grenzwerte
 - Niedrige Schock-Impedanz
 - Hohe Schock-Impedanz
 - Hochspannung während des Ladens

Für MSMT_LEADCHNL_[CHAMBER] (d. h. Elektrodenkanalmessungen wie intrinsische Amplitude, Elektrodenimpedanz, Stimulationsreizschwelle) ist nur ein Zeitstempelbereich für alle Messungen in der aktuellen IDCO-Nomenklatur möglich (d. h. nicht ein Bereich pro Messung). Wenn die Messzeiten unterschiedlich sind, wird ein Zeitstempelbereich gesendet (d. h. MIN, MAX), der die Uhrzeit aller drei Messungen einschließt. Weiterhin sind die gesendeten Werte ein IDCO MEAN-Wert für die IDCO-Nomenklatur. Die Werte sind jedoch einzelne Messungen und keine Mittelwerte des Zeitstempelbereichs.

SYSTEMEINSCHRÄNKUNGEN

- Die Tachy-spezifische und kammer-spezifische Ausgabe ist so spezifisch wie möglich. In einigen Fällen wird durch die Wichtigkeit der Daten und die Tatsache, dass IDCO bestimmte Parameter nicht darstellen kann, sichergestellt, dass die Daten gesendet werden. So werden beispielsweise Informationen zur VT-Zone gesendet, als ob Brady-Geräte über eine VT-Zone verfügen.
- Bei Geräten, die über keine automatische Stimulations-Reizschwelle verfügen (Automatische Reizschwellenfunktion) wird die letzte Stimulationsreizschwellenmessung gesendet.
- Die korrekte Weitergabe von Daten und Alarm-Meldungen implantierter Geräte durch das LATITUDE NXT-System hängt davon ab, ob der Zeitgeber des implantierten Geräts richtig mit einem PRM (Programmier-/Aufzeichnungs-/Überwachungsgerät) programmiert wurde.

Die korrekte Weitergabe kann auch noch einige Zeit gestört sein, nachdem der implantierte Zeitgeber des Geräts richtig programmiert wurde. Dies hängt davon ab, welche Menge an Daten mit falscher Zeitangabe empfangen wurden und wie groß die Zeitdifferenz durch den Fehler ist.

- Die Zeichenfolgen werden in der Sprache gesendet, die für die Klinik in LATITUDE konfiguriert wurde.

DEFINITIONEN FÜR ALARME UND WARNUNGEN

Warnungen und Alarm-Meldungen werden als Hinweise in die Nachrichten aufgenommen, die möglicherweise in einem EMR angezeigt werden. Eine Warnung oder ein Alarm wird in die Nachricht aufgenommen, wenn die Daten, die vom PG hochgeladen wurden, die Warnung oder den Alarm gesteuert haben.

BERICHTE

Eingangs-EGM-Bericht

Wenn der Eingangs-EGM-Bericht in den vom PG erhaltenen Nutzdaten enthalten ist, wird dieser Bericht als PDF-Datei an die Nachricht angehängt und mithilfe der Gruppen-ID (OBX-4) für die APMRT-Episode mit der entsprechenden APMRT-Episode verknüpft.

Kombinierter Nachsorgebericht

Ein „Kombinierter Nachkontrollbericht“ ist als PDF-Datei an die Nachricht angehängt.

Bericht Arrhythmie-Logbuch

Ein Arrhythmie-Logbuch-Bericht wird als PDF-Datei in einem separaten OBX an die Nachricht angehängt.

Bericht Herzinsuffi. Management

Ein Bericht zum Herzinsuffizienz-Management wird als PDF-Datei in einem separaten OBX an die Nachricht angehängt.

IDCO-BEISPIELDATEIEN

KAPITEL 4

Dieses Kapitel enthält die folgenden Themen:

- “IDCO-Beispieldateien” auf Seite 4-2
- “Beispiel-Nachricht 1 — S-ICD-Gerät” auf Seite 4-2
- “Beispiel-Nachricht 2 — Andere Geräte (Nicht S-ICD)” auf Seite 4-4

Outdated version. Do not use.
Version überholt. Nicht verwenden.
Version obsolete. Ne pas utiliser.
Versión obsoleta. No utilizar.
Versione obsoleta. Non utilizzate.
Verouderde versie. Niet gebruiken.
Föråldrad version. Använd ej.
Παλιά έκδοση. Μην την χρησιμοποιείτε.
Versão obsoleta. Não utilize.
Förældet versjon. Må ikke anvendes.
Zastaralá verze. Nepoužívat.
Utdatert versjon. Skal ikke brukes.
Zastaraná verzia. Nepoužívať.
Elavult verzió. Ne használja!
Wersja nieaktualna. Nie używać.

IDCO-BEISPIELDATEIEN

Die folgenden IDCO-Beispieldateien zeigen, wie die LATITUDE-IDCO-Nachricht aussehen kann. Diese sind nur zwei Beispiele von vielen möglichen Formen. Die Daten in den Beispielnachrichten sind hypothetisch, und es sind nicht alle LATITUDE-IDCO-Begriffe dargestellt.

BEISPIEL-NACHRICHT 1 — S-ICD-GERÄT

```
MSH|^~\&|LATITUDE|BOSTON SCIENTIFIC||TestClinic|201502111522+0000||ORU^R01^ORU_R01
|O|P|2.6|||||UNICODE UTF-8|de^German||IHE_PCD_009^IHE_PCD
^1.3.6.1.4.1.19376.1.6.1.9.1^ISO
PID|1||model:A209/serial:668155243^^^BSX^U~testPatientId^^^TestClinic^U||
testLastName^testName^^^^^I~testAuxLName^testAuxFName^^^^^P||19680215|UPV1
|1|RPV2|||||||||||||||||||||TestDeviceGroup^^1
OBR|1||1000000017|754054^MDC_IDC_ENUM_SESS_TYPE_RemotePatientInitiated^MDC|||
201501260412-0600|||||||||FNTE|1||Wahrnehmungskonfiguration:
Alternativ\br\Verstärkungseinstellung: Ix\br\Post-Schock-Stimulation:
ONNTE|2||Jan 26, 2015 11:07 EST - Alarmstufe Gelb - Unbehandelte Episode.
NTE|3||Jan 26, 2015 11:04 EST - Alarmstufe Gelb - Schocktherapie abgegeben,
um Arrhythmie zu beenden (behandelte Episode).
OBX|1|CWE|720897^MDC_IDC_DEV_TYPE^MDC||753666^MDC_IDC_ENUM_DEV_TYPE_
ICD^MDC|||||F
OBX|2|ST|720898^MDC_IDC_DEV_MODEL^MDC||A209|||||F
OBX|3|ST|720899^MDC_IDC_DEV_SERIAL^MDC||668155243|||||F
OBX|4|CWE|720900^MDC_IDC_DEV_MFG^MDC||753732^MDC_IDC_ENUM_MFG_
BSX^MDC|||||F
OBX|5|DTM|720901^MDC_IDC_DEV_IMPLANT_DT^MDC||20150126|||||F
OBX|6|DTM|721025^MDC_IDC_SESS_DTM^MDC||201501260412-0600|||||F
OBX|7|CWE|721026^MDC_IDC_SESS_TYPE^MDC||754054^MDC_IDC_ENUM_SESS_
TYPE_RemotePatientInitiated^MDC|||||F
OBX|8|ST|721033^MDC_IDC_SESS_CLINIC_NAME^MDC||TestClinic|||||F
OBX|9|DTM|721216^MDC_IDC_MSMT_BATTERY_DTM^MDC||201501260412-0600|||||F
OBX|10|CWE|721280^MDC_IDC_MSMT_BATTERY_STATUS^MDC||754113^MDC_IDC_ENUM_
BATTERY_STATUS_BOS^MDC|||||F
OBX|11|NM|721536^MDC_IDC_MSMT_BATTERY_REMAINING_PERCENTAGE^MDC||98|||||F
OBX|12|ST|739536^MDC_IDC_EPISODE_ID^MDC||1002|||||F
OBX|13|DTM|739552^MDC_IDC_EPISODE_DTM^MDC||1|201501261107-0500|||||F
OBX|14|CWE|739568^MDC_IDC_EPISODE_TYPE^MDC||754888^MDC_IDC_ENUM_EPISODE_
TYPE_Epis_Other^MDC|||||F
OBX|15|CWE|739600^MDC_IDC_EPISODE_VENDOR_TYPE^MDC||1|||||F
OBX|16|CWE|739584^MDC_IDC_EPISODE_TYPE_INDUCED^MDC||755330^MDC_IDC_ENUM_
EPISODE_TYPE_INDUCED_NO^MDC|||||F
OBX|17|NM|739712^MDC_IDC_EPISODE_DURATION^MDC||1|39|s|||||F
OBX|18|ST|739680^MDC_IDC_EPISODE_DETECTION_THERAPY_DETAILS^MDC||1|
Unbehandelt Episode|||||F
OBX|19|ST|739536^MDC_IDC_EPISODE_ID^MDC||2|001|||||F
OBX|20|DTM|739552^MDC_IDC_EPISODE_DTM^MDC||2|201501261104-0500|||||F
OBX|21|CWE|739568^MDC_IDC_EPISODE_TYPE^MDC||2|754881^MDC_IDC_ENUM_EPISODE_
TYPE_Epis_VF^MDC|||||F
OBX|22|CWE|739600^MDC_IDC_EPISODE_VENDOR_TYPE^MDC||2|771073^MDC_IDC_ENUM_
EPISODE_VENDOR_TYPE_BSX-Epis_VF^MDC|||||F
OBX|23|CWE|739584^MDC_IDC_EPISODE_TYPE_INDUCED^MDC||2|755330^MDC_IDC_ENUM_
EPISODE_TYPE_INDUCED_NO^MDC|||||F
OBX|24|NM|739712^MDC_IDC_EPISODE_DURATION^MDC||2|43|s|||||F
OBX|25|ST|739680^MDC_IDC_EPISODE_DETECTION_THERAPY_DETAILS^MDC||2|Behandelt
Episode: Schock-Impedanz=77 Ohms, Letzte Schockpolarität=REV|||||F
OBX|26|CWE|731520^MDC_IDC_SET_TACHYTHERAPY_VSTAT^MDC||754817^MDC_IDC_ENUM_
THERAPY_STATUS_On^MDC|||||F
```

OBX|27|CWE|731648^MDC_IDC_SET_ZONE_TYPE^MDC|1|754945^MDC_IDC_ENUM_ZONE_TYPE_Zone_VF^MDC|||||F
OBX|28|CWE|731712^MDC_IDC_SET_ZONE_VENDOR_TYPE^MDC|1|771139^MDC_IDC_ENUM_ZONE_VENDOR_TYPE_BS-X-Zone_VF^MDC|||||F
OBX|29|CWE|731776^MDC_IDC_SET_ZONE_STATUS^MDC|1|755009^MDC_IDC_ENUM_ZONE_STATUS_Active^MDC|||||F
OBX|30|NM|731840^MDC_IDC_SET_ZONE_DETECTION_INTERVAL^MDC|1|273|ms|||||F
OBX|31|NM|732225^MDC_IDC_SET_ZONE_SHOCK_ENERGY_1^MDC|1|80|J|||||F
OBX|32|CWE|731648^MDC_IDC_SET_ZONE_TYPE^MDC|1|754946^MDC_IDC_ENUM_ZONE_TYPE_Zone_VT^MDC|||||F
OBX|33|CWE|731712^MDC_IDC_SET_ZONE_VENDOR_TYPE^MDC|2|771137^MDC_IDC_ENUM_ZONE_VENDOR_TYPE_BS-X-Zone_VT^MDC|||||F
OBX|34|CWE|731776^MDC_IDC_SET_ZONE_STATUS^MDC|2|755009^MDC_IDC_ENUM_ZONE_STATUS_Active^MDC|||||F
OBX|35|NM|731840^MDC_IDC_SET_ZONE_DETECTION_INTERVAL^MDC|2|300|ms|||||F
OBX|36|ST|732032^MDC_IDC_SET_ZONE_DETECTION_DETAILS^MDC|2|SMART-Charge: 204,69 s (133 Intervalle)|||||F
OBX|37|NM|732225^MDC_IDC_SET_ZONE_SHOCK_ENERGY_1^MDC|2|80|J|||||F
OBX|38|CWE|737952^MDC_IDC_STAT_EPISODE_TYPE^MDC|1|754888^MDC_IDC_ENUM_EPISODE_TYPE_Epis_Other^MDC|||||F
OBX|39|CWE|737984^MDC_IDC_STAT_EPISODE_VENDOR_TYPE^MDC|1|||||F
OBX|40|NM|738000^MDC_IDC_STAT_EPISODE_RECENT_COUNT^MDC|1|1|||||F
OBX|41|DTM|738017^MDC_IDC_STAT_EPISODE_RECENT_COUNT_DTM_START^MDC|1|20150126|||||F
OBX|42|DTM|738018^MDC_IDC_STAT_EPISODE_RECENT_COUNT_DTM_END^MDC|1|20150126|||||F
OBX|43|NM|738032^MDC_IDC_STAT_EPISODE_TOTAL_COUNT^MDC|1|1|||||F
OBX|44|DTM|738049^MDC_IDC_STAT_EPISODE_TOTAL_COUNT_DTM_START^MDC|1|20150126|||||F
OBX|45|DTM|738050^MDC_IDC_STAT_EPISODE_TOTAL_COUNT_DTM_END^MDC|1|20150126|||||F
OBX|46|CWE|737952^MDC_IDC_STAT_EPISODE_TYPE^MDC|2|754881^MDC_IDC_ENUM_EPISODE_TYPE_Epis_VF^MDC|||||F
OBX|47|CWE|737984^MDC_IDC_STAT_EPISODE_VENDOR_TYPE^MDC|2|771073^MDC_IDC_ENUM_EPISODE_VENDOR_TYPE_BS-X-Epis_VF^MDC|||||F
OBX|48|NM|738000^MDC_IDC_STAT_EPISODE_RECENT_COUNT^MDC|2|1|||||F
OBX|49|DTM|738017^MDC_IDC_STAT_EPISODE_RECENT_COUNT_DTM_START^MDC|2|20150126|||||F
OBX|50|DTM|738018^MDC_IDC_STAT_EPISODE_RECENT_COUNT_DTM_END^MDC|2|20150126|||||F
OBX|51|NM|738032^MDC_IDC_STAT_EPISODE_TOTAL_COUNT^MDC|2|1|||||F
OBX|52|DTM|738049^MDC_IDC_STAT_EPISODE_TOTAL_COUNT_DTM_START^MDC|2|20150126|||||F
OBX|53|DTM|738050^MDC_IDC_STAT_EPISODE_TOTAL_COUNT_DTM_END^MDC|2|20150126|||||F
OBX|54|DTM|737937^MDC_IDC_STAT_TACHYTHERAPY_RECENT_DTM_START^MDC||20150126|||||F
OBX|55|DTM|737938^MDC_IDC_STAT_TACHYTHERAPY_RECENT_DTM_END^MDC||20150126|||||F
OBX|56|NM|737824^MDC_IDC_STAT_TACHYTHERAPY_SHOCKS_DELIVERED_RECENT^MDC||1|||||F
OBX|57|DTM|737921^MDC_IDC_STAT_TACHYTHERAPY_TOTAL_DTM_START^MDC||20150126|||||F
OBX|58|DTM|737922^MDC_IDC_STAT_TACHYTHERAPY_TOTAL_DTM_END^MDC||20150126|||||F
OBX|59|NM|737840^MDC_IDC_STAT_TACHYTHERAPY_SHOCKS_DELIVERED_TOTAL^MDC||1|||||F
OBX|60|ST|720961^MDC_IDC_LEAD_MODEL^MDC|1|1030|||||F
OBX|61|ST|720962^MDC_IDC_LEAD_SERIAL^MDC|1|A123456|||||F
OBX|62|CWE|720963^MDC_IDC_LEAD_MFG^MDC|1|753732^MDC_IDC_ENUM_MFG_BS-X^MDC|||||F
OBX|63|CWE|720966^MDC_IDC_LEAD_LOCATION^MDC|1|753861^MDC_IDC_ENUM_LEAD_LOCATION_CHAMBER_OTHER^MDC|||||F
OBX|64|CWE|720967^MDC_IDC_LEAD_LOCATION_DETAIL_1^MDC|1|753944^MDC_IDC_ENUM_LEAD_LOCATION_DETAIL_Subcutaneous^MDC|||||F
OBX|65|ED|18750-0^Cardiac Electrophysiology Report^LN^^Gesamtbericht||Application^PDF^^Base64^{kodierte PDF hier}|||||F
||201501260412-0600OBX|66|ED|18750-0^Cardiac Electrophysiology Report^LN^^Bericht Arrhythmie-Logbuch||Application^PDF^^Base64^{kodierte PDF hier}|||||F
||201501260412-0600OBX|67|ED|18750-0^Cardiac Electrophysiology Report^LN^^Eingangs-S-EKG-Bericht||Application^PDF^^Base64^{kodierte PDF hier}|||||F
||201501260412-0600

BEISPIEL-NACHRICHT 2 — ANDERE GERÄTE (NICHT S-ICD)

```
MSH|^~\&|LATITUDE|BOSTON SCIENTIFIC||TestClinic|201305092136+0000||ORU^R01^ORU_R01
|O|P|2.6| |||UNICODE UTF-8|de^German||IHE_PCD_009^IHE_PCD
^1.3.6.1.4.1.19376.1.6.1.9.1^ISO
PID|1||model:N119/serial:900141^^^BSX^U||testLastName^testName^^^^^I
~testAuxLName^testAuxFName^^^^^P||19680215|U
PV1||R
PV2|||||TestDeviceGroup^^1
OBR|1||1000000916|754054^MDC_IDC_ENUM_SESS_TYPE_RemotePatientInitiated
^MDC||201001151330-0500|||||F
NTE|1||02 Feb 2012 00:00 - Alarmstufe Gelb - AF Burden von mindestens 3,0 Stunden
in einem 24-Stunden-Zeitraum.
NTE|2||02 Feb 2012 00:00 - Alarmstufe Gelb - AF Burden von mindestens 3,0 Stunden
in einem 24-Stunden-Zeitraum zwischen 11 Jan 2010 23:00 und 12 Jan 2010 00:00.
NTE|3||02 Feb 2012 00:00 - Alarmstufe Gelb - Cardiale Resynchronisationstherapie
Stimulation von < 1%. Stimulation war 2% zwischen 11 Jan 2010 23:00
und 12 Jan 2010 00:00.
NTE|4||02 Feb 2012 00:00 - Alarmstufe Gelb - Rechtsventrikuläre Stimulation von > 1%.
Die Stimulation betrug 2% zwischen 11 Jan 2010 23:00 und 12 Jan 2010 00:00.
NTE|5||02 Feb 2012 00:00 - Alarmstufe Gelb - Vom Patienten ausgelöstes Ereignis
gespeichert. Episoden-Details im Arrhythmie-Logbuch im Register „Ereignisse“ ansehen.
NTE|6||02 Feb 2012 00:00 - Alarmstufe Gelb - Gewichtszunahme von mindestens 2,27 kg in
einer Woche oder durchschnittlich mindestens 0,91 kg innerhalb von zwei oder
mehr Tagen.
NTE|7||02 Feb 2012 00:00 - Alarmstufe Gelb - Gewichtsverlust von mindestens 2,27 kg in
einer Woche oder durchschnittlich mindestens 0,91 kg innerhalb von zwei oder
mehr Tagen.
NTE|8||02 Feb 2012 00:00 - Alarmstufe Gelb - Explantations-Indikator erreicht
am 12 Jan 2010 00:00. Termin zum Austausch dieses Geräts ansetzen.
NTE|9||02 Feb 2012 00:00 - Alarmstufe Gelb - Spannung war zu niedrig für vorhergesagte
verbleibende Kapazität.
NTE|10||02 Feb 2012 00:00 - Alarmstufe Rot - Fernüberwachung deaktiviert am 12 Jan 2010
00:00 wegen begrenzter Batteriekapazität (Explantationsindikator erreicht am
12 Feb 2010 00:00).
NTE|11||02 Feb 2012 00:00 - Alarmstufe Gelb - Beschädigung der Therapie Speicher-Daten
festgestellt. Bisher gespeicherte Therapie Speicher-Daten wurden gelöscht.
NTE|12||02 Feb 2012 00:00 - Alarmstufe Rot - Mögliche Gerätefunktionsstörung
(Fehler-Code 1011).
NTE|13||02 Feb 2012 00:00 - Alarmstufe Rot - Mögliche Fehlfunktion des Geräts
(Fehlercode 1007).
NTE|14||02 Feb 2012 00:00 - Alarmstufe Rot - Mögliche Fehlfunktion des Geräts
(Fehlercode 1009).
NTE|15||02 Feb 2012 00:00 - Alarmstufe Rot - Das Gerät befindet sich im Sicherheitsmodus.
Zum Schutz des Patienten hat das Gerät in den Sicherheitsmodus umgeschaltet.
NTE|16||02 Feb 2012 00:00 - Alarmstufe Gelb - Rechtsventrikuläre automatische
Reizschwelle erkannt als > programmierte Amplitude oder ausgesetzt.
NTE|17||02 Feb 2012 00:00 - Alarmstufe Gelb - Atriale automatische Reizschwelle erkannt
als > programmierte Amplitude oder ausgesetzt.
NTE|18||02 Feb 2012 00:00 - Alarmstufe Rot - Schockelektrodenimpedanz außerhalb des
zulässigen Bereichs.
NTE|19||02 Feb 2012 00:00 - Alarmstufe Rot - Niedrige Schockelektrodenimpedanz bei
dem Versuch erkannt, einen Schock abzugeben
NTE|20||02 Feb 2012 00:00 - Alarmstufe Rot - Hohe Schockelektrodenimpedanz bei dem
Versuch erkannt, einen Schock abzugeben
NTE|21||02 Feb 2012 00:00 - Alarmstufe Rot - Hochspannung an Schockelektrode erkannt
während des Ladens
NTE|22||02 Feb 2012 00:00 - Alarmstufe Rot - Elektrokauter-Schutz ist aktiv.
NTE|23||02 Feb 2012 00:00 - Alarmstufe Gelb - VT-Episode aufgetreten (V>A).
```

NTE|24||02 Feb 2012 00:00 - Alarmstufe Gelb - Brady-Modus des Geräts ist AUS.
Brady-Therapie wird nicht abgegeben.

NTE|25||02 Feb 2012 00:00 - Alarmstufe Gelb - Linksventrikuläre
Stimulationselektrodenimpedanz außerhalb des Bereichs.

NTE|26||02 Feb 2012 00:00 - Alarmstufe Gelb - Atriale Stimulationselektrodenimpedanz
außerhalb des Bereichs.

NTE|27||02 Feb 2012 00:00 - Alarmstufe Gelb - Rechtsventrikuläre intrinsische Amplitude
außerhalb des Bereichs.

NTE|28||02 Feb 2012 00:00 - Alarmstufe Gelb - Intrinsische Amplitude außerhalb des
Bereichs.

NTE|29||02 Feb 2012 00:00 - Alarmstufe Gelb - Linksventrikuläre intrinsische Amplitude
außerhalb des Bereichs.

NTE|30||02 Feb 2012 00:00 - Alarmstufe Gelb - Atriale intrinsische Amplitude außerhalb
des Bereichs.

NTE|31||02 Feb 2012 00:00 - Alarmstufe Rot - Rechtsventrikuläre
Stimulationselektrodenimpedanz außerhalb des Bereichs.

NTE|32||02 Feb 2012 00:00 - Alarmstufe Rot - Stimulationselektrodenimpedanz außerhalb
des Bereichs.

NTE|33||02 Feb 2012 00:00 - Alarmstufe Gelb - Ventrikuläre Schocktherapie abgegeben,
um Arrhythmie zu beenden.

NTE|34||02 Feb 2012 00:00 - Alarmstufe Gelb - Episode beschleunigter ventrikulärer
Arrhythmie.

NTE|35||02 Feb 2012 00:00 - Alarmstufe Rot - V-Tachy-Modus auf anderen Wert als
Überwachung + Therapie gesetzt

NTE|36||02 Feb 2012 00:00 - Alarmstufe Rot - Benachrichtigung zur Elektrodenüberprüfung
aufgrund einer abrupten Änderung der rechtsventrikulären
Stimulationselektrodenimpedanz in den letzten 7 Tagen.

NTE|37||02 Feb 2012 00:00 - Alarmstufe Rot - Benachrichtigung zur Elektrodenüberprüfung
aufgrund einer Episode mit möglichem rechtsventrikulärem nicht-physiologischem
Signal.

NTE|38||02 Feb 2012 00:00 - Alarmstufe Gelb - Linksventrikulärer automatischer
Reizschwellenwert > programmierte Amplitude oder ausgesetzt.

OBX|1|ST|739536^MDC_IDC_EPISODE_ID^MDC|1|MRT-16|||||F

OBX|2|DTM|739552^MDC_IDC_EPISODE_DTM^MDC|1|200101020304|||||F

OBX|3|CWE|739568^MDC_IDC_EPISODE_TYPE^MDC|1|754888
^MDC_IDC_ENUM_EPISODE_TYPE_Epis_Other^MDC|||||F

OBX|4|CWE|739600^MDC_IDC_EPISODE_VENDOR_TYPE^MDC|1|||||F

OBX|5|NM|739712^MDC_IDC_EPISODE_DURATION^MDC|1|100|s|||||F

OBX|6|ST|739680^MDC_IDC_EPISODE_DETECTION_THERAPY_DETAILS
^MDC|1|MRT-Schutz-Modus|||||F

OBX|7|ST|739536^MDC_IDC_EPISODE_ID^MDC|2|LVAT-15|||||F

OBX|8|DTM|739552^MDC_IDC_EPISODE_DTM^MDC|2|200101020304|||||F

OBX|9|CWE|739568^MDC_IDC_EPISODE_TYPE^MDC|2|754888
^MDC_IDC_ENUM_EPISODE_TYPE_Epis_Other^MDC|||||F

OBX|10|CWE|739600^MDC_IDC_EPISODE_VENDOR_TYPE^MDC|2|||||F

OBX|11|NM|739712^MDC_IDC_EPISODE_DURATION^MDC|2|100|s|||||F

OBX|12|ST|739680^MDC_IDC_EPISODE_DETECTION_THERAPY_DETAILS^MDC|2|LV Auto|||||F

OBX|13|ST|739536^MDC_IDC_EPISODE_ID^MDC|3|RVAT-14|||||F

OBX|14|DTM|739552^MDC_IDC_EPISODE_DTM^MDC|3|200101020304|||||F

OBX|15|CWE|739568^MDC_IDC_EPISODE_TYPE^MDC|3|754888
^MDC_IDC_ENUM_EPISODE_TYPE_Epis_Other^MDC|||||F

OBX|16|CWE|739600^MDC_IDC_EPISODE_VENDOR_TYPE^MDC|3|||||F

OBX|17|NM|739712^MDC_IDC_EPISODE_DURATION^MDC|3|100|s|||||F

OBX|18|ST|739680^MDC_IDC_EPISODE_DETECTION_THERAPY_DETAILS^MDC|3|RV Autom.|||||F

OBX|19|ST|739536^MDC_IDC_EPISODE_ID^MDC|4|APM-13|||||F

OBX|20|DTM|739552^MDC_IDC_EPISODE_DTM^MDC|4|200101020304|||||F

OBX|21|CWE|739568^MDC_IDC_EPISODE_TYPE^MDC|4|754886
^MDC_IDC_ENUM_EPISODE_TYPE_Epis_PeriodicEGM^MDC|||||F

OBX|22|CWE|739600^MDC_IDC_EPISODE_VENDOR_TYPE^MDC|4|771085

```
^MDC_IDC_ENUM_EPISODE_VENDOR_TYPE_BSX-Epis_APMRT^MDC|||||F
OBX|23|ST|739680^MDC_IDC_EPISODE_DETECTION_THERAPY_DETAILS^MDC|4|Eingangs-EGM|||||F
OBX|24|ST|739536^MDC_IDC_EPISODE_ID^MDC|5|PTM-12|||||F
OBX|25|DTM|739552^MDC_IDC_EPISODE_DTM^MDC|5|200101020304|||||F
OBX|26|CWE|739568^MDC_IDC_EPISODE_TYPE^MDC|5|754887
^MDC_IDC_ENUM_EPISODE_TYPE_Epis_PatientActivated^MDC|||||F
OBX|27|CWE|739600^MDC_IDC_EPISODE_VENDOR_TYPE^MDC|5|771080
^MDC_IDC_ENUM_EPISODE_VENDOR_TYPE_BSX-Epis_PTM^MDC|||||F
OBX|28|NM|739648^MDC_IDC_EPISODE_VENTRICULAR_INTERVAL_AT_DETECTION
^MDC|5|30000|ms|||||F
OBX|29|NM|739712^MDC_IDC_EPISODE_DURATION^MDC|5|100|s|||||F
OBX|30|ST|739680^MDC_IDC_EPISODE_DETECTION_THERAPY_DETAILS^MDC|5|PTM|||||F
OBX|31|ST|739536^MDC_IDC_EPISODE_ID^MDC|6|RAAT-11|||||F
OBX|32|DTM|739552^MDC_IDC_EPISODE_DTM^MDC|6|200101020304|||||F
OBX|33|CWE|739568^MDC_IDC_EPISODE_TYPE^MDC|6|754888
^MDC_IDC_ENUM_EPISODE_TYPE_Epis_Other^MDC|||||F
OBX|34|CWE|739600^MDC_IDC_EPISODE_VENDOR_TYPE^MDC|6|||||F
OBX|35|NM|739712^MDC_IDC_EPISODE_DURATION^MDC|6|100|s|||||F
OBX|36|ST|739680^MDC_IDC_EPISODE_DETECTION_THERAPY_DETAILS^MDC|6|RA Auto|||||F
OBX|37|ST|739536^MDC_IDC_EPISODE_ID^MDC|7|RYTHMIQ-10|||||F
OBX|38|DTM|739552^MDC_IDC_EPISODE_DTM^MDC|7|200101020304|||||F
OBX|39|CWE|739568^MDC_IDC_EPISODE_TYPE^MDC|7|754888
^MDC_IDC_ENUM_EPISODE_TYPE_Epis_Other^MDC|||||F
OBX|40|CWE|739600^MDC_IDC_EPISODE_VENDOR_TYPE^MDC|7|771084
^MDC_IDC_ENUM_EPISODE_VENDOR_TYPE_BSX-Epis_RMS^MDC|||||F
OBX|41|NM|739648
^MDC_IDC_EPISODE_VENTRICULAR_INTERVAL_AT_DETECTION^MDC|7|30000|ms|||||F
OBX|42|NM|739712^MDC_IDC_EPISODE_DURATION^MDC|7|100|s|||||F
OBX|43|ST|739680^MDC_IDC_EPISODE_DETECTION_THERAPY_DETAILS^MDC|7|RYTHMIQ|||||F
OBX|44|ST|739536^MDC_IDC_EPISODE_ID^MDC|8|RMS-9|||||F
OBX|45|DTM|739552^MDC_IDC_EPISODE_DTM^MDC|8|200101020304|||||F
OBX|46|CWE|739568^MDC_IDC_EPISODE_TYPE^MDC|8|754888
^MDC_IDC_ENUM_EPISODE_TYPE_Epis_Other^MDC|||||F
OBX|47|CWE|739600^MDC_IDC_EPISODE_VENDOR_TYPE^MDC|8|771084
^MDC_IDC_ENUM_EPISODE_VENDOR_TYPE_BSX-Epis_RMS^MDC|||||F
OBX|48|NM|739648
^MDC_IDC_EPISODE_VENTRICULAR_INTERVAL_AT_DETECTION^MDC|8|30000|ms|||||F
OBX|49|NM|739712^MDC_IDC_EPISODE_DURATION^MDC|8|100|s|||||F
OBX|50|ST|739680^MDC_IDC_EPISODE_DETECTION_THERAPY_DETAILS^MDC|8|RMS|||||F
OBX|51|ST|739536^MDC_IDC_EPISODE_ID^MDC|9|V-8|||||F
OBX|52|DTM|739552^MDC_IDC_EPISODE_DTM^MDC|9|200101020304|||||F
OBX|53|CWE|739568^MDC_IDC_EPISODE_TYPE
^MDC|9|754881^MDC_IDC_ENUM_EPISODE_TYPE_Epis_VF^MDC|||||F
OBX|54|CWE|739600^MDC_IDC_EPISODE_VENDOR_TYPE
^MDC|9|771073^MDC_IDC_ENUM_EPISODE_VENDOR_TYPE_BSX-Epis_VF^MDC|||||F
OBX|55|CWE|739584^MDC_IDC_EPISODE_TYPE_INDUCED^MDC|9|755329
^MDC_IDC_ENUM_EPISODE_TYPE_INDUCED_YES^MDC|||||F
OBX|56|NM|739648
^MDC_IDC_EPISODE_VENTRICULAR_INTERVAL_AT_DETECTION^MDC|9|30000|ms|||||F
OBX|57|NM|739712^MDC_IDC_EPISODE_DURATION^MDC|9|100|s|||||F
OBX|58|ST|739680
^MDC_IDC_EPISODE_DETECTION_THERAPY_DETAILS^MDC|9|VF ATPx1, 0,1J, 0,2J, 31Jx2|||||F
OBX|59|ST|739536^MDC_IDC_EPISODE_ID^MDC|10|PMT-7|||||F
OBX|60|DTM|739552^MDC_IDC_EPISODE_DTM^MDC|10|200101020304|||||F
OBX|61|CWE|739568^MDC_IDC_EPISODE_TYPE^MDC|10|754888
^MDC_IDC_ENUM_EPISODE_TYPE_Epis_Other^MDC|||||F
OBX|62|CWE|739600^MDC_IDC_EPISODE_VENDOR_TYPE^MDC|10|771079
^MDC_IDC_ENUM_EPISODE_VENDOR_TYPE_BSX-Epis_PMT^MDC|||||F
OBX|63|NM|739648^MDC_IDC_EPISODE_VENTRICULAR_INTERVAL_AT_DETECTION
```

^MDC|10|30000|ms|||||F
OBX|64|NM|739712^MDC_IDC_EPISODE_DURATION^MDC|10|100|s|||||F
OBX|65|ST|739680^MDC_IDC_EPISODE_DETECTION_THERAPY_DETAILS^MDC|10|PMT|||||F
OBX|66|ST|739536^MDC_IDC_EPISODE_ID^MDC|11|V-6|||||F
OBX|67|DTM|739552^MDC_IDC_EPISODE_DTM^MDC|11|200101020304|||||F
OBX|68|CWE|739568^MDC_IDC_EPISODE_TYPE^MDC|11|754882
^MDC_IDC_ENUM_EPISODE_TYPE_Epis_VT^MDC|11|1|F
OBX|69|CWE|739600^MDC_IDC_EPISODE_VENDOR_TYPE^MDC|11|771075
^MDC_IDC_ENUM_EPISODE_VENDOR_TYPE_BSX-Epis_VT-1^MDC|11|1|F
OBX|70|CWE|739584^MDC_IDC_EPISODE_TYPE_INDUCED^MDC|11|755329
^MDC_IDC_ENUM_EPISODE_TYPE_INDUCED_YES^MDC|11|1|F
OBX|71|NM|739648^MDC_IDC_EPISODE_VENTRICULAR_INTERVAL_AT_DETECTION
^MDC|11|30000|ms|||||F
OBX|72|NM|739712^MDC_IDC_EPISODE_DURATION^MDC|11|100|s|||||F
OBX|73|ST|739680^MDC_IDC_EPISODE_DETECTION_THERAPY_DETAILS
^MDC|11|VT-1 ATPx1, 0,1J, 0,2J, 31Jx2|||||F
OBX|74|ST|739536^MDC_IDC_EPISODE_ID^MDC|12|ATR-5|||||F
OBX|75|DTM|739552^MDC_IDC_EPISODE_DTM^MDC|12|200101020304|||||F
OBX|76|CWE|739568^MDC_IDC_EPISODE_TYPE^MDC|12|754883
^MDC_IDC_ENUM_EPISODE_TYPE_Epis_ATAF^MDC|12|1|F
OBX|77|CWE|739600^MDC_IDC_EPISODE_VENDOR_TYPE^MDC|12|771078
^MDC_IDC_ENUM_EPISODE_VENDOR_TYPE_BSX-Epis_ATR^MDC|12|1|F
OBX|78|NM|739616^MDC_IDC_EPISODE_ATRIAL_INTERVAL_AT_DETECTION^MDC|12|20000|ms|||||F
OBX|79|NM|739712^MDC_IDC_EPISODE_DURATION^MDC|12|100|s|||||F
OBX|80|ST|739680^MDC_IDC_EPISODE_DETECTION_THERAPY_DETAILS^MDC|12|ATR|||||F
OBX|81|ST|739536^MDC_IDC_EPISODE_ID^MDC|13|V-4|||||F
OBX|82|DTM|739552^MDC_IDC_EPISODE_DTM^MDC|13|200101020304|||||F
OBX|83|CWE|739568^MDC_IDC_EPISODE_TYPE^MDC|13|754882
^MDC_IDC_ENUM_EPISODE_TYPE_Epis_VT^MDC|13|1|F
OBX|84|CWE|739600^MDC_IDC_EPISODE_VENDOR_TYPE^MDC|13|771077
^MDC_IDC_ENUM_EPISODE_VENDOR_TYPE_BSX-Epis_NSVT^MDC|13|1|F
OBX|85|CWE|739584^MDC_IDC_EPISODE_TYPE_INDUCED^MDC|13|755329
^MDC_IDC_ENUM_EPISODE_TYPE_INDUCED_YES^MDC|13|1|F
OBX|86|NM|739648^MDC_IDC_EPISODE_VENTRICULAR_INTERVAL_AT_DETECTION
^MDC|13|30000|ms|||||F
OBX|87|NM|739712^MDC_IDC_EPISODE_DURATION^MDC|13|100|s|||||F
OBX|88|ST|739680^MDC_IDC_EPISODE_DETECTION_THERAPY_DETAILS^MDC|13|NonSustV|||||F
OBX|89|ST|739536^MDC_IDC_EPISODE_ID^MDC|14|V-3|||||F
OBX|90|DTM|739552^MDC_IDC_EPISODE_DTM^MDC|14|200101020304|||||F
OBX|91|CWE|739568^MDC_IDC_EPISODE_TYPE^MDC|14|754882
^MDC_IDC_ENUM_EPISODE_TYPE_Epis_VT^MDC|14|1|F
OBX|92|CWE|739600^MDC_IDC_EPISODE_VENDOR_TYPE^MDC|14|771074
^MDC_IDC_ENUM_EPISODE_VENDOR_TYPE_BSX-Epis_VT^MDC|14|1|F
OBX|93|CWE|739584^MDC_IDC_EPISODE_TYPE_INDUCED^MDC|14|755329
^MDC_IDC_ENUM_EPISODE_TYPE_INDUCED_YES^MDC|14|1|F
OBX|94|NM|739648^MDC_IDC_EPISODE_VENTRICULAR_INTERVAL_AT_DETECTION
^MDC|14|30000|ms|||||F
OBX|95|NM|739712^MDC_IDC_EPISODE_DURATION^MDC|14|100|s|||||F
OBX|96|ST|739680^MDC_IDC_EPISODE_DETECTION_THERAPY_DETAILS
^MDC|14|VT ATPx1, 0,1J, 0,2J, 31Jx2|||||F
OBX|97|ST|739536^MDC_IDC_EPISODE_ID^MDC|15|SBR-2|||||F
OBX|98|DTM|739552^MDC_IDC_EPISODE_DTM^MDC|15|200101020304|||||F
OBX|99|CWE|739568^MDC_IDC_EPISODE_TYPE^MDC|15|754888
^MDC_IDC_ENUM_EPISODE_TYPE_Epis_Other^MDC|15|1|F
OBX|100|CWE|739600^MDC_IDC_EPISODE_VENDOR_TYPE^MDC|15|771075
OBX|101|NM|739616^MDC_IDC_EPISODE_ATRIAL_INTERVAL_AT_DETECTION^MDC|15|20000|ms|||||F
OBX|102|NM|739712^MDC_IDC_EPISODE_DURATION^MDC|15|100|s|||||F
OBX|103|ST|739680^MDC_IDC_EPISODE_DETECTION_THERAPY_DETAILS^MDC|15|SBR|||||F
OBX|104|ST|739536^MDC_IDC_EPISODE_ID^MDC|16|V-1|||||F

OBX|105|DTM|739552^MDC_IDC_EPISODE_DTM^MDC|16|200101020304|||||F
OBX|106|CWE|739568^MDC_IDC_EPISODE_TYPE^MDC|16|754888
^MDC_IDC_ENUM_EPISODE_TYPE_Epis_Other^MDC|||||F
OBX|107|CWE|739600^MDC_IDC_EPISODE_VENDOR_TYPE^MDC|16|||||F
OBX|108|CWE|739584^MDC_IDC_EPISODE_TYPE_INDUCED^MDC|16|755329
^MDC_IDC_ENUM_EPISODE_TYPE_INDUCED_YES^MDC|||||F
OBX|109|NM|739648^MDC_IDC_EPISODE_VENTRICULAR_INTERVAL_AT_DETECTION
^MDC|16|30000|ms|||||F
OBX|110|NM|739712^MDC_IDC_EPISODE_DURATION^MDC|16|100|s|||||F
OBX|111|ST|739680^MDC_IDC_EPISODE_DETECTION_THERAPY_DETAILS
^MDC|16|Bef. v Therapie abgegeben|||||F
OBX|112|ED|18750-0^Cardiac Electrophysiology Report^LN||Application^PDF^
^Base64^{encoded PDF included here}|||||F||201001151330-0500
OBX|113|ED|18750-0^Cardiac Electrophysiology Report^LN|4|Application^PDF^
^Base64^{encoded PDF included here}|||||F||201001151330-0500
OBX|114|CWE|720897^MDC_IDC_DEV_TYPE^MDC||753665^MDC_IDC_ENUM_DEV_TYPE_IPG^MDC|||||F
OBX|115|ST|720898^MDC_IDC_DEV_MODEL^MDC||N119|||||F
OBX|116|ST|720899^MDC_IDC_DEV_SERIAL^MDC||900141|||||F
OBX|117|CWE|720900^MDC_IDC_DEV_MFG^MDC||753732^MDC_IDC_ENUM_MFG_BS^MDC|||||F
OBX|118|DTM|720901^MDC_IDC_DEV_IMPLANT_DT^MDC||20120513|||||F
OBX|119|ST|720961^MDC_IDC_LEAD_MODEL^MDC|1|12345|||||F
OBX|120|ST|720962^MDC_IDC_LEAD_SERIAL^MDC|1|6789|||||F
OBX|121|CWE|720963^MDC_IDC_LEAD_MFG^MDC|1|753731^MDC_IDC_ENUM_MFG_BIO^MDC|||||F
OBX|122|CWE|720965^MDC_IDC_LEAD_POLARITY_TYPE^MDC|1|753793
^MDC_IDC_ENUM_LEAD_POLARITY_TYPE_UNI^MDC|||||F
OBX|123|DTM|720964^MDC_IDC_LEAD_IMPLANT_DT^MDC|1|201205|||||F
OBX|124|CWE|720966^MDC_IDC_LEAD_LOCATION^MDC|1|753858
^MDC_IDC_ENUM_LEAD_LOCATION_CHAMBER_LV^MDC|||||F
OBX|125|CWE|720967^MDC_IDC_LEAD_LOCATION_DETAIL_1^MDC|1|753922
^MDC_IDC_ENUM_LEAD_LOCATION_DETAIL_Apex^MDC|||||F
OBX|126|CWE|720968^MDC_IDC_LEAD_LOCATION_DETAIL_2^MDC|1|753925
^MDC_IDC_ENUM_LEAD_LOCATION_DETAIL_VenaCava^MDC|||||F
OBX|127|ST|720961^MDC_IDC_LEAD_MODEL^MDC|2|12345|||||F
OBX|128|ST|720962^MDC_IDC_LEAD_SERIAL^MDC|2|6789|||||F
OBX|129|CWE|720963^MDC_IDC_LEAD_MFG^MDC|2|753731^MDC_IDC_ENUM_MFG_BIO^MDC|||||F
OBX|130|CWE|720965^MDC_IDC_LEAD_POLARITY_TYPE^MDC|2|753793
^MDC_IDC_ENUM_LEAD_POLARITY_TYPE_UNI^MDC|||||F
OBX|131|DTM|720964^MDC_IDC_LEAD_IMPLANT_DT^MDC|2|201205|||||F
OBX|132|CWE|720966^MDC_IDC_LEAD_LOCATION^MDC|2|753858
^MDC_IDC_ENUM_LEAD_LOCATION_CHAMBER_LV^MDC|||||F
OBX|133|CWE|720967^MDC_IDC_LEAD_LOCATION_DETAIL_1^MDC|2|753922
^MDC_IDC_ENUM_LEAD_LOCATION_DETAIL_Apex^MDC|||||F
OBX|134|CWE|720968^MDC_IDC_LEAD_LOCATION_DETAIL_2^MDC|2|753925
^MDC_IDC_ENUM_LEAD_LOCATION_DETAIL_VenaCava^MDC|||||F
OBX|135|ST|720961^MDC_IDC_LEAD_MODEL^MDC|3|12345|||||F
OBX|136|ST|720962^MDC_IDC_LEAD_SERIAL^MDC|3|6789|||||F
OBX|137|CWE|720963^MDC_IDC_LEAD_MFG^MDC|3|753731^MDC_IDC_ENUM_MFG_BIO^MDC|||||F
OBX|138|CWE|720965^MDC_IDC_LEAD_POLARITY_TYPE^MDC|3|753793
^MDC_IDC_ENUM_LEAD_POLARITY_TYPE_UNI^MDC|||||F
OBX|139|DTM|720964^MDC_IDC_LEAD_IMPLANT_DT^MDC|3|201205|||||F
OBX|140|CWE|720966^MDC_IDC_LEAD_LOCATION^MDC|3|753858
^MDC_IDC_ENUM_LEAD_LOCATION_CHAMBER_LV^MDC|||||F
OBX|141|CWE|720967^MDC_IDC_LEAD_LOCATION_DETAIL_1
^MDC|3|753922^MDC_IDC_ENUM_LEAD_LOCATION_DETAIL_Apex^MDC|||||F
OBX|142|CWE|720968^MDC_IDC_LEAD_LOCATION_DETAIL_2^MDC|3|753925
^MDC_IDC_ENUM_LEAD_LOCATION_DETAIL_VenaCava^MDC|||||F
OBX|143|ST|720961^MDC_IDC_LEAD_MODEL^MDC|4|12345|||||F
OBX|144|ST|720962^MDC_IDC_LEAD_SERIAL^MDC|4|6789|||||F
OBX|145|CWE|720963^MDC_IDC_LEAD_MFG^MDC|4|753731^MDC_IDC_ENUM_MFG_BIO^MDC|||||F

OBX|146|CWE|720965^MDC_IDC_LEAD_POLARITY_TYPE^MDC|4|753793
^MDC_IDC_ENUM_LEAD_POLARITY_TYPE_UNI^MDC|||||F
OBX|147|DTM|720964^MDC_IDC_LEAD_IMPLANT_DT^MDC|4|201205|||||F
OBX|148|CWE|720966^MDC_IDC_LEAD_LOCATION^MDC|4|753858
^MDC_IDC_ENUM_LEAD_LOCATION_CHAMBER_LV^MDC|||||F
OBX|149|CWE|720967^MDC_IDC_LEAD_LOCATION_DETAIL_1
^MDC|4|753922^MDC_IDC_ENUM_LEAD_LOCATION_DETAIL_Apex^MDC|||||F
OBX|150|CWE|720968^MDC_IDC_LEAD_LOCATION_DETAIL_2^MDC|4|753925
^MDC_IDC_ENUM_LEAD_LOCATION_DETAIL_VenaCava^MDC|||||F
OBX|151|ST|720961^MDC_IDC_LEAD_MODEL^MDC|5|12345|||||F
OBX|152|ST|720962^MDC_IDC_LEAD_SERIAL^MDC|5|6789|||||F
OBX|153|CWE|720963^MDC_IDC_LEAD_MFG^MDC|5|753731
^MDC_IDC_ENUM_MFG_BIO^MDC|||||F
OBX|154|CWE|720965^MDC_IDC_LEAD_POLARITY_TYPE^MDC|5|753793
^MDC_IDC_ENUM_LEAD_POLARITY_TYPE_UNI^MDC|||||F
OBX|155|DTM|720964^MDC_IDC_LEAD_IMPLANT_DT^MDC|5|201205|||||F
OBX|156|CWE|720966^MDC_IDC_LEAD_LOCATION^MDC|5|753858
^MDC_IDC_ENUM_LEAD_LOCATION_CHAMBER_LV^MDC|||||F
OBX|157|CWE|720967^MDC_IDC_LEAD_LOCATION_DETAIL_1^MDC|5|753922
^MDC_IDC_ENUM_LEAD_LOCATION_DETAIL_Apex^MDC|||||F
OBX|158|CWE|720968^MDC_IDC_LEAD_LOCATION_DETAIL_2^MDC|5|753925
^MDC_IDC_ENUM_LEAD_LOCATION_DETAIL_VenaCava^MDC|||||F
OBX|159|ST|720961^MDC_IDC_LEAD_MODEL^MDC|6|12345|||||F
OBX|160|ST|720962^MDC_IDC_LEAD_SERIAL^MDC|6|6789|||||F
OBX|161|CWE|720963^MDC_IDC_LEAD_MFG^MDC|6|753731^MDC_IDC_ENUM_MFG_BIO^MDC|||||F
OBX|162|CWE|720965^MDC_IDC_LEAD_POLARITY_TYPE^MDC|6|753793
^MDC_IDC_ENUM_LEAD_POLARITY_TYPE_UNI^MDC|||||F
OBX|163|DTM|720964^MDC_IDC_LEAD_IMPLANT_DT^MDC|6|201205|||||F
OBX|164|CWE|720966^MDC_IDC_LEAD_LOCATION^MDC|6|753858
^MDC_IDC_ENUM_LEAD_LOCATION_CHAMBER_LV^MDC|||||F
OBX|165|CWE|720967^MDC_IDC_LEAD_LOCATION_DETAIL_1^MDC|6|753922
^MDC_IDC_ENUM_LEAD_LOCATION_DETAIL_Apex^MDC|||||F
OBX|166|CWE|720968^MDC_IDC_LEAD_LOCATION_DETAIL_2^MDC|6|753925
^MDC_IDC_ENUM_LEAD_LOCATION_DETAIL_VenaCava^MDC|||||F
OBX|167|DTM|721025^MDC_IDC_SESS_DTM^MDC||201001021310-0600|||||F
OBX|168|CWE|721026^MDC_IDC_SESS_TYPE^MDC||754052
^MDC_IDC_ENUM_SESS_TYPE_RemoteDeviceInitiated^MDC|||||F
OBX|169|ST|721033^MDC_IDC_SESS_CLINIC_NAME
^MDC||abcdefghijklmnopqrstuvwxyzabcdefghijklmnopqrstuwx|||||F
OBX|170|DTM|721216^MDC_IDC_MSMT_BATTERY_DTM^MDC||201205221755+0000|||||F
OBX|171|CWE|721280^MDC_IDC_MSMT_BATTERY_STATUS^MDC||754113
^MDC_IDC_ENUM_BATTERY_STATUS_BOS^MDC|||||F
OBX|172|NM|721472^MDC_IDC_MSMT_BATTERY_REMAINING_LONGEVITY^MDC||132|mo||>||||F
OBX|173|NM|721536^MDC_IDC_MSMT_BATTERY_REMAINING_PERCENTAGE^MDC||100|%|||||F
OBX|174|DTM|721664^MDC_IDC_MSMT_CAP_CHARGE_DTM^MDC||201205221755|||||F
OBX|175|NM|721728^MDC_IDC_MSMT_CAP_CHARGE_TIME^MDC||3.0|s|||||F
OBX|176|CWE|721856^MDC_IDC_MSMT_CAP_CHARGE_TYPE^MDC||754178
^MDC_IDC_ENUM_CHARGE_TYPE_Reformation^MDC|||||F
OBX|177|DTM|721921^MDC_IDC_MSMT_LEADCHNL_RA_DTM_START^MDC||20121211|||||F
OBX|178|DTM|721922^MDC_IDC_MSMT_LEADCHNL_RA_DTM_END^MDC||20121211|||||F
OBX|179|CWE|721984^MDC_IDC_MSMT_LEADCHNL_RA_LEAD_CHANNEL_STATUS^MDC||754241
^MDC_IDC_ENUM_CHANNEL_STATUS_CheckLead^MDC|||||F
OBX|180|NM|722051
^MDC_IDC_MSMT_LEADCHNL_RA_SENSING_INTR_AMPL_MEAN^MDC||mV||NAV|||F||20121211
OBX|181|DTM|721925^MDC_IDC_MSMT_LEADCHNL_RV_DTM_START^MDC||19990102|||||F
OBX|182|DTM|721926^MDC_IDC_MSMT_LEADCHNL_RV_DTM_END^MDC||20121211|||||F
OBX|183|CWE|721985^MDC_IDC_MSMT_LEADCHNL_RV_LEAD_CHANNEL_STATUS^MDC||754241
^MDC_IDC_ENUM_CHANNEL_STATUS_CheckLead^MDC|||||F
OBX|184|NM|722055

```

^MDC_IDC_MSMT_LEADCHNL_RV_SENSING_INTR_AMPL_MEAN^MDC|0.1|mV|<|||F||20121211
OBX|185|DTM|721933^MDC_IDC_MSMT_LEADCHNL_LV_DTM_START^MDC||19990102|||||F
OBX|186|DTM|721934^MDC_IDC_MSMT_LEADCHNL_LV_DTM_END^MDC||20121211|||||F
OBX|187|CWE|721987^MDC_IDC_MSMT_LEADCHNL_LV_LEAD_CHANNEL_STATUS^MDC||754241
^MDC_IDC_ENUM_CHANNEL_STATUS_CheckLead^MDC|||||F
OBX|188|NM|722063^MDC_IDC_MSMT_LEADCHNL_LV_SENSING_INTR_AMPL_MEAN
^MDC||25.0|mV||>|||F||20121211
OBX|189|CWE|722112^MDC_IDC_MSMT_LEADCHNL_RA_SENSING_POLARITY^MDC||754305
^MDC_IDC_ENUM_POLARITY_UNI^MDC|||||F
OBX|190|CWE|722113^MDC_IDC_MSMT_LEADCHNL_RV_SENSING_POLARITY^MDC||754306
^MDC_IDC_ENUM_POLARITY_BI^MDC|||||F
OBX|191|CWE|722115^MDC_IDC_MSMT_LEADCHNL_LV_SENSING_POLARITY^MDC|||||OFF|||F
OBX|192|NM|722176^MDC_IDC_MSMT_LEADCHNL_RA_PACING_THRESHOLD_AMPLITUDE
^MDC||V|NAV|||F||20121211
OBX|193|NM|722177^MDC_IDC_MSMT_LEADCHNL_RV_PACING_THRESHOLD_AMPLITUDE
^MDC||3.0|V||>|||F||20121211
OBX|194|NM|722179^MDC_IDC_MSMT_LEADCHNL_LV_PACING_THRESHOLD_AMPLITUDE
^MDC||0.0|V|||||F||20121210
OBX|195|NM|722240^MDC_IDC_MSMT_LEADCHNL_RA_PACING_THRESHOLD_PULSEWIDTH
^MDC||ms|NAV|||F||19990102
OBX|196|NM|722241^MDC_IDC_MSMT_LEADCHNL_RV_PACING_THRESHOLD_PULSEWIDTH
^MDC||0.4|ms|||F||19990102
OBX|197|NM|722243^MDC_IDC_MSMT_LEADCHNL_LV_PACING_THRESHOLD_PULSEWIDTH
^MDC||0.4|ms|||F||19990102
OBX|198|CWE|722304^MDC_IDC_MSMT_LEADCHNL_RA_PACING_THRESHOLD_MEASUREMENT_METHOD
^MDC||754369^MDC_IDC_ENUM_MEASUREMENT_METHOD_ProgrammerManual^MDC|||||F
OBX|199|CWE|722305^MDC_IDC_MSMT_LEADCHNL_RV_PACING_THRESHOLD_MEASUREMENT_METHOD
^MDC||754369^MDC_IDC_ENUM_MEASUREMENT_METHOD_ProgrammerManual^MDC|||||F
OBX|200|CWE|722307^MDC_IDC_MSMT_LEADCHNL_LV_PACING_THRESHOLD_MEASUREMENT_METHOD
^MDC||754369^MDC_IDC_ENUM_MEASUREMENT_METHOD_ProgrammerManual^MDC|||||F
OBX|201|CWE|722368^MDC_IDC_MSMT_LEADCHNL_RA_PACING_THRESHOLD_POLARITY^MDC||754305
^MDC_IDC_ENUM_POLARITY_UNI^MDC|||F
OBX|202|CWE|722369^MDC_IDC_MSMT_LEADCHNL_RV_PACING_THRESHOLD_POLARITY^MDC||754306
^MDC_IDC_ENUM_POLARITY_BI^MDC|||||F
OBX|203|CWE|722371^MDC_IDC_MSMT_LEADCHNL_LV_PACING_THRESHOLD_POLARITY^MDC||754306
^MDC_IDC_ENUM_POLARITY_BI^MDC|||||F
OBX|204|NM|722432^MDC_IDC_MSMT_LEADCHNL_RA_IMPEDANCE_VALUE
^MDC||200|ohms||<|||F||20121211
OBX|205|NM|722433^MDC_IDC_MSMT_LEADCHNL_RV_IMPEDANCE_VALUE
^MDC||2000|ohms||>|||F||20121211
OBX|206|NM|722435^MDC_IDC_MSMT_LEADCHNL_LV_IMPEDANCE_VALUE
^MDC||201|ohms|||||F||20121209
OBX|207|CWE|722496^MDC_IDC_MSMT_LEADCHNL_RA_IMPEDANCE_POLARITY
^MDC||754305^MDC_IDC_ENUM_POLARITY_UNI^MDC|||||F
OBX|208|CWE|722497^MDC_IDC_MSMT_LEADCHNL_RV_IMPEDANCE_POLARITY
^MDC||754305^MDC_IDC_ENUM_POLARITY_UNI^MDC|||||F
OBX|209|CWE|722499^MDC_IDC_MSMT_LEADCHNL_LV_IMPEDANCE_POLARITY
^MDC||754306^MDC_IDC_ENUM_POLARITY_BI^MDC|||||F
OBX|210|DTM|722560^MDC_IDC_MSMT_LEADHVCHNL_DTM_START^MDC||20121109|||||F
OBX|211|NM|722624^MDC_IDC_MSMT_LEADHVCHNL_IMPEDANCE^MDC|||ohms|NAV|||F
OBX|212|CWE|722688^MDC_IDC_MSMT_LEADHVCHNL_MEASUREMENT_TYPE^MDC||754433
^MDC_IDC_ENUM_HVCHNL_MEASUREMENT_TYPE_LowVoltage^MDC|||||F
OBX|213|CWE|722752^MDC_IDC_MSMT_LEADHVCHNL_STATUS^MDC||754241
^MDC_IDC_ENUM_CHANNEL_STATUS_CheckLead^MDC|||||F
OBX|214|NM|729344^MDC_IDC_SET_CRT_LVRV_DELAY^MDC||-100|ms|||||F
OBX|215|CWE|729408^MDC_IDC_SET_CRT_PACED_CHAMBERS^MDC||755265
^MDC_IDC_ENUM_CRT_PACED_CHAMBERS_RV_Only^MDC|||||F
OBX|216|NM|729536^MDC_IDC_SET_LEADCHNL_RA_SENSING_SENSITIVITY^MDC||0.5|mV|||||F
OBX|217|NM|729537^MDC_IDC_SET_LEADCHNL_RV_SENSING_SENSITIVITY^MDC||0.9|mV|||||F

```

OBX|218|NM|729539^MDC_IDC_SET_LEADCHNL_LV_SENSING_SENSITIVITY^MDC||1.0|mv||||F
OBX|219|CWE|729600^MDC_IDC_SET_LEADCHNL_RA_SENSING_POLARITY^MDC||||OFF||F
OBX|220|CWE|729601^MDC_IDC_SET_LEADCHNL_RV_SENSING_POLARITY^MDC||754305
^MDC_IDC_ENUM_POLARITY_UNI^MDC|||||F
OBX|221|CWE|729676^MDC_IDC_SET_LEADCHNL_LV_SENSING_ANODE_LOCATION^MDC||754498
^MDC_IDC_ENUM_ELECTRODE_LOCATION_RV^MDC|||||F
OBX|222|CWE|729740^MDC_IDC_SET_LEADCHNL_LV_SENSING_ANODE_ELECTRODE^MDC||||OFF||F
OBX|223|CWE|729804^MDC_IDC_SET_LEADCHNL_LV_SENSING_CATHODE_LOCATION^MDC||||OFF||F
OBX|224|CWE|729868^MDC_IDC_SET_LEADCHNL_LV_SENSING_CATHODE_ELECTRODE^MDC||754561
^MDC_IDC_ENUM_ELECTRODE_NAME_Tip^MDC|||||F
OBX|225|CWE|729920^MDC_IDC_SET_LEADCHNL_RA_SENSING_ADAPTATION_MODE^MDC||754625
^MDC_IDC_ENUM_SENSING_ADAPTATION_MODE_AdaptiveSensing^MDC|||||F
OBX|226|CWE|729921^MDC_IDC_SET_LEADCHNL_RV_SENSING_ADAPTATION_MODE^MDC||754625
^MDC_IDC_ENUM_SENSING_ADAPTATION_MODE_AdaptiveSensing^MDC|||||F
OBX|227|CWE|729923^MDC_IDC_SET_LEADCHNL_LV_SENSING_ADAPTATION_MODE^MDC||754626
^MDC_IDC_ENUM_SENSING_ADAPTATION_MODE_FixedSensing^MDC|||||F
OBX|228|NM|729984^MDC_IDC_SET_LEADCHNL_RA_PACING_AMPLITUDE^MDC||5.1|V||||F
OBX|229|NM|729985^MDC_IDC_SET_LEADCHNL_RV_PACING_AMPLITUDE^MDC||5.0|V||||F
OBX|230|NM|729987^MDC_IDC_SET_LEADCHNL_LV_PACING_AMPLITUDE^MDC||2.8|V||||F
OBX|231|NM|730048^MDC_IDC_SET_LEADCHNL_RA_PACING_PULSEWIDTH^MDC||100.0|ms||||F
OBX|232|NM|730049^MDC_IDC_SET_LEADCHNL_RV_PACING_PULSEWIDTH^MDC||200.0|ms||||F
OBX|233|NM|730051^MDC_IDC_SET_LEADCHNL_LV_PACING_PULSEWIDTH^MDC||300.0|ms||||F
OBX|234|CWE|730112^MDC_IDC_SET_LEADCHNL_RA_PACING_POLARITY^MDC||754305
^MDC_IDC_ENUM_POLARITY_UNI^MDC|||||F
OBX|235|CWE|730113^MDC_IDC_SET_LEADCHNL_RV_PACING_POLARITY^MDC||754305
^MDC_IDC_ENUM_POLARITY_UNI^MDC|||||F
OBX|236|CWE|730188^MDC_IDC_SET_LEADCHNL_LV_PACING_ANODE_LOCATION^MDC||754498
^MDC_IDC_ENUM_ELECTRODE_LOCATION_RV^MDC|||||F
OBX|237|CWE|730252^MDC_IDC_SET_LEADCHNL_LV_PACING_ANODE_ELECTRODE^MDC||754564
^MDC_IDC_ENUM_ELECTRODE_NAME_Ring2^MDC|||||F
OBX|238|CWE|730316^MDC_IDC_SET_LEADCHNL_LV_PACING_CATHODE_LOCATION^MDC||754500
^MDC_IDC_ENUM_ELECTRODE_LOCATION_LV^MDC|||||F
OBX|239|CWE|730380^MDC_IDC_SET_LEADCHNL_LV_PACING_CATHODE_ELECTRODE^MDC||754566
^MDC_IDC_ENUM_ELECTRODE_NAME_Ring4^MDC|||||F
OBX|240|CWE|730432^MDC_IDC_SET_LEADCHNL_RA_PACING_CAPTURE_MODE^MDC||754690
^MDC_IDC_ENUM_PACING_CAPTURE_MODE_FixedPacing^MDC|||||F
OBX|241|CWE|730433^MDC_IDC_SET_LEADCHNL_RV_PACING_CAPTURE_MODE^MDC||754691
^MDC_IDC_ENUM_PACING_CAPTURE_MODE_MonitorCapture^MDC|||||F
OBX|242|CWE|730435^MDC_IDC_SET_LEADCHNL_LV_PACING_CAPTURE_MODE^MDC||754690
^MDC_IDC_ENUM_PACING_CAPTURE_MODE_FixedPacing^MDC|||||F
OBX|243|CWE|730752^MDC_IDC_SET_BRADY_MODE^MDC||754760^MDC_IDC_ENUM_BRADY_MODE_DDD
^MDC|||||F
OBX|244|NM|730880^MDC_IDC_SET_BRADY_LOWRATE^MDC||100|{beats}/min||||F
OBX|245|ST|731072^MDC_IDC_SET_BRADY_SENSOR_TYPE^MDC||Akzelerometer + AMV|||||F
OBX|246|NM|731136^MDC_IDC_SET_BRADY_MAX_TRACKING_RATE^MDC||130|{beats}/min||||F
OBX|247|NM|731200^MDC_IDC_SET_BRADY_MAX_SENSOR_RATE^MDC||180|{beats}/min||||F
OBX|248|NM|731265^MDC_IDC_SET_BRADY_SAV_DELAY_HIGH^MDC||102|ms||||F
OBX|249|NM|731266^MDC_IDC_SET_BRADY_SAV_DELAY_LOW^MDC||101|ms||||F
OBX|250|NM|731329^MDC_IDC_SET_BRADY_PAV_DELAY_HIGH^MDC||104|ms||||F
OBX|251|NM|731330^MDC_IDC_SET_BRADY_PAV_DELAY_LOW^MDC||103|ms||||F
OBX|252|CWE|731392^MDC_IDC_SET_BRADY_AT_MODE_SWITCH_MODE^MDC||754763
^MDC_IDC_ENUM_BRADY_MODE_DDIR^MDC|||||F
OBX|253|NM|731456^MDC_IDC_SET_BRADY_AT_MODE_SWITCH_RATE^MDC||130|{beats}/min||||F
OBX|254|CWE|731520^MDC_IDC_SET_TACHYTHERAPY_VSTAT^MDC||754817
^MDC_IDC_ENUM_THERAPY_STATUS_On^MDC|||||F
OBX|255|CWE|731648^MDC_IDC_SET_ZONE_TYPE^MDC|1|754945^MDC_IDC_ENUM_ZONE_TYPE_Zone_VF
^MDC|||||F
OBX|256|CWE|731712^MDC_IDC_SET_ZONE_VENDOR_TYPE^MDC|1|771139
^MDC_IDC_ENUM_ZONE_VENDOR_TYPE_BSX-Zone_VF^MDC|||||F

```
OBX|257|CWE|731776^MDC_IDC_SET_ZONE_STATUS^MDC|1|755009
^MDC_IDC_ENUM_ZONE_STATUS_Active^MDC|||||F
OBX|258|NM|731840^MDC_IDC_SET_ZONE_DETECTION_INTERVAL^MDC|1|462|ms|||||F
OBX|259|CWE|732097^MDC_IDC_SET_ZONE_TYPE_ATP_1^MDC|1|755073
^MDC_IDC_ENUM_ATP_TYPE_Burst^MDC|||||F
OBX|260|NM|732161^MDC_IDC_SET_ZONE_NUM_ATP_SEQS_1^MDC|1|1|||||F
OBX|261|NM|732225^MDC_IDC_SET_ZONE_SHOCK_ENERGY_1^MDC|1|21.1|J|||||F
OBX|262|NM|732289^MDC_IDC_SET_ZONE_NUM_SHOCKS_1^MDC|1|1|||||F
OBX|263|NM|732226^MDC_IDC_SET_ZONE_SHOCK_ENERGY_2^MDC|1|31.1|J|||||F
OBX|264|NM|732290^MDC_IDC_SET_ZONE_NUM_SHOCKS_2^MDC|1|1|||||F
OBX|265|NM|732227^MDC_IDC_SET_ZONE_SHOCK_ENERGY_3^MDC|1|41.1|J|||||F
OBX|266|NM|732291^MDC_IDC_SET_ZONE_NUM_SHOCKS_3^MDC|1|6|||||F
OBX|267|CWE|731648^MDC_IDC_SET_ZONE_TYPE^MDC|2|754946^MDC_IDC_ENUM_ZONE_TYPE_Zone_VT
^MDC|||||F
OBX|268|CWE|731712^MDC_IDC_SET_ZONE_VENDOR_TYPE^MDC|2|771137
^MDC_IDC_ENUM_ZONE_VENDOR_TYPE_BSX-Zone_VT^MDC|||||F
OBX|269|CWE|731776^MDC_IDC_SET_ZONE_STATUS^MDC|2|755009
^MDC_IDC_ENUM_ZONE_STATUS_Active^MDC|||||F
OBX|270|NM|731840^MDC_IDC_SET_ZONE_DETECTION_INTERVAL^MDC|2|463|ms|||||F
OBX|271|CWE|732097^MDC_IDC_SET_ZONE_TYPE_ATP_1^MDC|2|755073
^MDC_IDC_ENUM_ATP_TYPE_Burst^MDC|||||F
OBX|272|NM|732161^MDC_IDC_SET_ZONE_NUM_ATP_SEQS_1^MDC|2|2|||||F
OBX|273|CWE|732098^MDC_IDC_SET_ZONE_TYPE_ATP_2^MDC|2|755074
^MDC_IDC_ENUM_ATP_TYPE_Ramp^MDC|||||F
OBX|274|NM|732162^MDC_IDC_SET_ZONE_NUM_ATP_SEQS_2^MDC|2|3|||||F
OBX|275|NM|732225^MDC_IDC_SET_ZONE_SHOCK_ENERGY_1^MDC|2|22.2|J|||||F
OBX|276|NM|732289^MDC_IDC_SET_ZONE_NUM_SHOCKS_1^MDC|2|1|||||F
OBX|277|NM|732226^MDC_IDC_SET_ZONE_SHOCK_ENERGY_2^MDC|2|32.2|J|||||F
OBX|278|NM|732290^MDC_IDC_SET_ZONE_NUM_SHOCKS_2^MDC|2|1|||||F
OBX|279|NM|732227^MDC_IDC_SET_ZONE_SHOCK_ENERGY_3^MDC|2|42.2|J|||||F
OBX|280|NM|732291^MDC_IDC_SET_ZONE_NUM_SHOCKS_3^MDC|2|3|||||F
OBX|281|CWE|731648^MDC_IDC_SET_ZONE_TYPE^MDC|3|754946^MDC_IDC_ENUM_ZONE_TYPE_Zone_VT
^MDC|||||F
OBX|282|CWE|731712^MDC_IDC_SET_ZONE_VENDOR_TYPE^MDC|3|771138
^MDC_IDC_ENUM_ZONE_VENDOR_TYPE_BSX-Zone_VT-1^MDC|||||F
OBX|283|CWE|731776^MDC_IDC_SET_ZONE_STATUS^MDC|3|755009
^MDC_IDC_ENUM_ZONE_STATUS_Active^MDC|||||F
OBX|284|NM|731840^MDC_IDC_SET_ZONE_DETECTION_INTERVAL^MDC|3|465|ms|||||F
OBX|285|CWE|732097^MDC_IDC_SET_ZONE_TYPE_ATP_1^MDC|3|755074
^MDC_IDC_ENUM_ATP_TYPE_Ramp^MDC|||||F
OBX|286|NM|732161^MDC_IDC_SET_ZONE_NUM_ATP_SEQS_1^MDC|3|4|||||F
OBX|287|CWE|732098^MDC_IDC_SET_ZONE_TYPE_ATP_2^MDC|3|755076
^MDC_IDC_ENUM_ATP_TYPE_RampScan^MDC|||||F
OBX|288|NM|732162^MDC_IDC_SET_ZONE_NUM_ATP_SEQS_2^MDC|3|5|||||F
OBX|289|NM|732225^MDC_IDC_SET_ZONE_SHOCK_ENERGY_1^MDC|3|23.2|J|||||F
OBX|290|NM|732289^MDC_IDC_SET_ZONE_NUM_SHOCKS_1^MDC|3|1|||||F
OBX|291|NM|732226^MDC_IDC_SET_ZONE_SHOCK_ENERGY_2^MDC|3|33.2|J|||||F
OBX|292|NM|732290^MDC_IDC_SET_ZONE_NUM_SHOCKS_2^MDC|3|1|||||F
OBX|293|NM|732227^MDC_IDC_SET_ZONE_SHOCK_ENERGY_3^MDC|3|43.2|J|||||F
OBX|294|NM|732291^MDC_IDC_SET_ZONE_NUM_SHOCKS_3^MDC|3|2|||||F
OBX|295|DTM|737489^MDC_IDC_STAT_DTM_START^MDC||20120522|||||F
OBX|296|DTM|737490^MDC_IDC_STAT_DTM_END^MDC||20120522|||||F
OBX|297|DTM|737505^MDC_IDC_STAT_BRADY_DTM_START^MDC||20120522|||||F
OBX|298|DTM|737506^MDC_IDC_STAT_BRADY_DTM_END^MDC||20120522|||||F
OBX|299|NM|737520^MDC_IDC_STAT_BRADY_RA_PERCENT_PACED^MDC||0%|||||F
OBX|300|NM|737536^MDC_IDC_STAT_BRADY_RV_PERCENT_PACED^MDC||0%|||||F
OBX|301|DTM|737777^MDC_IDC_STAT_CRT_DTM_START^MDC||20120522|||||F
OBX|302|DTM|737778^MDC_IDC_STAT_CRT_DTM_END^MDC||20120522|||||F
OBX|303|NM|737792^MDC_IDC_STAT_CRT_LV_PERCENT_PACED^MDC||0%|||||F
```

OBX|304|CWE|737952^MDC_IDC_STAT_EPISODE_TYPE^MDC|1|754882
^MDC_IDC_ENUM_EPISODE_TYPE_Epis_VT^MDC|||||F
OBX|305|CWE|737984^MDC_IDC_STAT_EPISODE_VENDOR_TYPE^MDC|1|771077
^MDC_IDC_ENUM_EPISODE_VENDOR_TYPE_BSX-Epis_NSVT^MDC|||||F
OBX|306|NM|738000^MDC_IDC_STAT_EPISODE_RECENT_COUNT^MDC|1|0|||||F
OBX|307|DTM|738017^MDC_IDC_STAT_EPISODE_RECENT_COUNT_DTM_START^MDC|1|20120522|||||F
OBX|308|DTM|738018^MDC_IDC_STAT_EPISODE_RECENT_COUNT_DTM_END^MDC|1|20120522|||||F
OBX|309|CWE|737952^MDC_IDC_STAT_EPISODE_TYPE^MDC|1|754882
^MDC_IDC_ENUM_EPISODE_TYPE_Epis_VT^MDC|||||F
OBX|310|CWE|737984^MDC_IDC_STAT_EPISODE_VENDOR_TYPE^MDC|1|||||F
OBX|311|NM|738000^MDC_IDC_STAT_EPISODE_RECENT_COUNT^MDC|1|0|||||F
OBX|312|DTM|738017^MDC_IDC_STAT_EPISODE_RECENT_COUNT_DTM_START^MDC|1|20120522|||||F
OBX|313|DTM|738018^MDC_IDC_STAT_EPISODE_RECENT_COUNT_DTM_END^MDC|1|20120522|||||F
OBX|314|CWE|737952^MDC_IDC_STAT_EPISODE_TYPE^MDC|2|754884
^MDC_IDC_ENUM_EPISODE_TYPE_Epis_SVT^MDC|||||F
OBX|315|CWE|737984^MDC_IDC_STAT_EPISODE_VENDOR_TYPE^MDC|2|771076
^MDC_IDC_ENUM_EPISODE_VENDOR_TYPE_BSX-Epis_SVT^MDC|||||F
OBX|316|NM|738000^MDC_IDC_STAT_EPISODE_RECENT_COUNT^MDC|2|0|||||F
OBX|317|DTM|738017^MDC_IDC_STAT_EPISODE_RECENT_COUNT_DTM_START^MDC|2|20120522|||||F
OBX|318|DTM|738018^MDC_IDC_STAT_EPISODE_RECENT_COUNT_DTM_END^MDC|2|20120522|||||F
OBX|319|CWE|737952^MDC_IDC_STAT_EPISODE_TYPE^MDC|4|754883
^MDC_IDC_ENUM_EPISODE_TYPE_Epis_ATAF^MDC|||||F
OBX|320|CWE|737984^MDC_IDC_STAT_EPISODE_VENDOR_TYPE^MDC|4|771078
^MDC_IDC_ENUM_EPISODE_VENDOR_TYPE_BSX-Epis_ATR^MDC|||||F
OBX|321|NM|738000^MDC_IDC_STAT_EPISODE_RECENT_COUNT^MDC|4|0|||||F
OBX|322|DTM|738017^MDC_IDC_STAT_EPISODE_RECENT_COUNT_DTM_START^MDC|4|20120522|||||F
OBX|323|DTM|738018^MDC_IDC_STAT_EPISODE_RECENT_COUNT_DTM_END^MDC|4|20120522|||||F
OBX|324|CWE|737952^MDC_IDC_STAT_EPISODE_TYPE^MDC|5|754888
^MDC_IDC_ENUM_EPISODE_TYPE_Epis_Other^MDC|||||F
OBX|325|CWE|737984^MDC_IDC_STAT_EPISODE_VENDOR_TYPE^MDC|5||||||F
OBX|326|NM|738000^MDC_IDC_STAT_EPISODE_RECENT_COUNT^MDC|5|0|||||F
OBX|327|DTM|738017^MDC_IDC_STAT_EPISODE_RECENT_COUNT_DTM_START^MDC|5|20120522|||||F
OBX|328|DTM|738018^MDC_IDC_STAT_EPISODE_RECENT_COUNT_DTM_END^MDC|5|20120522|||||F
OBX|329|CWE|737952^MDC_IDC_STAT_EPISODE_TYPE^MDC|6|754881
^MDC_IDC_ENUM_EPISODE_TYPE_Epis_VF^MDC|||||F
OBX|330|CWE|737984^MDC_IDC_STAT_EPISODE_VENDOR_TYPE^MDC|6|771073
^MDC_IDC_ENUM_EPISODE_VENDOR_TYPE_BSX-Epis_VF^MDC|||||F
OBX|331|NM|738000^MDC_IDC_STAT_EPISODE_RECENT_COUNT^MDC|6|1|||||F
OBX|332|DTM|738017^MDC_IDC_STAT_EPISODE_RECENT_COUNT_DTM_START^MDC|6|20120522|||||F
OBX|333|DTM|738018^MDC_IDC_STAT_EPISODE_RECENT_COUNT_DTM_END^MDC|6|20120522|||||F
OBX|334|CWE|737952^MDC_IDC_STAT_EPISODE_TYPE^MDC|7|754882
^MDC_IDC_ENUM_EPISODE_TYPE_Epis_VT^MDC|||||F
OBX|335|CWE|737984^MDC_IDC_STAT_EPISODE_VENDOR_TYPE^MDC|7|771074
^MDC_IDC_ENUM_EPISODE_VENDOR_TYPE_BSX-Epis_VT^MDC|||||F
OBX|336|NM|738000^MDC_IDC_STAT_EPISODE_RECENT_COUNT^MDC|7|2|||||F
OBX|337|DTM|738017^MDC_IDC_STAT_EPISODE_RECENT_COUNT_DTM_START^MDC|7|20120522|||||F
OBX|338|DTM|738018^MDC_IDC_STAT_EPISODE_RECENT_COUNT_DTM_END^MDC|7|20120522|||||F
OBX|339|CWE|737952^MDC_IDC_STAT_EPISODE_TYPE^MDC|8|754882
^MDC_IDC_ENUM_EPISODE_TYPE_Epis_VT^MDC|||||F
OBX|340|CWE|737984^MDC_IDC_STAT_EPISODE_VENDOR_TYPE^MDC|8|771075
^MDC_IDC_ENUM_EPISODE_VENDOR_TYPE_BSX-Epis_VT-1^MDC|||||F
OBX|341|NM|738000^MDC_IDC_STAT_EPISODE_RECENT_COUNT^MDC|8|3|||||F
OBX|342|DTM|738017^MDC_IDC_STAT_EPISODE_RECENT_COUNT_DTM_START^MDC|8|20120522|||||F
OBX|343|DTM|738018^MDC_IDC_STAT_EPISODE_RECENT_COUNT_DTM_END^MDC|8|20120522|||||F
OBX|344|CWE|737952^MDC_IDC_STAT_EPISODE_TYPE^MDC|9|754884
^MDC_IDC_ENUM_EPISODE_TYPE_Epis_Monitor^MDC|||||F
OBX|345|CWE|737984^MDC_IDC_STAT_EPISODE_VENDOR_TYPE^MDC|9||||||F
OBX|346|NM|738000^MDC_IDC_STAT_EPISODE_RECENT_COUNT^MDC|9|4|||||F
OBX|347|DTM|738017^MDC_IDC_STAT_EPISODE_RECENT_COUNT_DTM_START^MDC|9|20120522|||||F

OBX|348|DTM|738018^MDC_IDC_STAT_EPISODE_RECENT_COUNT_DTM_END^MDC|9|20120522|||||F

Outdated version. Do not use.
Version überholt. Nicht verwenden.
Version obsolète. Ne pas utiliser.
Versión obsoleta. No utilizar.
Versione obsoleta. Non utilizzare.
Verouderde versie. Niet gebruiken.
Föråldrad version. Använd ej.
Παλιά έκδοση. Μην την χρησιμοποιείτε.
Versão obsoleta. Não utilize.
Forældet version. Må ikke anvendes.
Zastaralá verzia. Nepoužívať.
Utdatert versjon. Skal ikke brukes.
Zastaraná verzia. Nepoužívať.
Elavult verzió. Ne használja!
Wersja nieaktualna. Nie używać.

ÜBERBLICK

KAPITEL 5

Dieses Kapitel enthält die folgenden Themen:

- "HL7-Überblick" auf Seite 5-2

Outdated version. Do not use.
Version überholt. Nicht verwenden.
Version obsolète. Ne pas utiliser.
Versión obsoleta. No utilizar.
Versione obsoleta. Non utilizzare.
Verouderde versie. Niet gebruiken.
Föråldrad version. Använd ej.
Παλιά έκδοση. Μην την χρησιμοποιείτε.
Versão obsoleta. Não utilize.
Förældet version. Må ikke anvendes.
Zastaralá verze. Nepoužívat.
Utdatert versjon. Skal ikke brukes.
Zastaraná verzia. Nepoužívať.
Elavult verzió. Ne használja!
Wersja nieaktualna. Nie używać.

HL7-ÜBERBLICK

Das Boston Scientific LATITUDE-Patientenfernüberwachungssystem erstellt HL7-ORU-Nachrichten (ORU = Observation Result Unsolicited = Unangeforderte Übermittlung eines Befundes) gemäß den in diesem Dokument dargelegten Spezifikationen und Definitionen. Diese Nachrichten dienen zur Übermittlung von Patientendaten an ein elektronisches Krankenaktensystem (EMR = Electronic Medical Record).

Das vorliegende Dokument ist für LATITUDE-Kunden von Boston Scientific bestimmt, die EMR-Systeme zur Nachverfolgung und Verwaltung von Patientendaten verwenden.

HINWEIS: Es wird davon ausgegangen, dass die Leser dieses Abschnitts mit der HL7 2.x-Terminologie, Spezifikationssyntax, den Datentypen, Nachrichtenstrukturen und der Semantik für ORU-Nachrichten vertraut sind. Weitere Informationen über die HL7-Nachrichtenübermittlung finden Sie unter www.hl7.org.

Outdated version. Do not use.
Version überholt. Nicht verwenden.
Version obsolete. Ne pas utiliser.
Versión obsoleta. No utilizar.
Verouderde versie. Niet gebruiken.
Föråldrad version. Använd ej.
Παλιά έκδοση. Μην την χρησιμοποιείτε.
Versão obsoleta. Não utilize.
Forældet version. Må ikke anvendes.
Zastaralá verzia. Nepoužívať.
Utdatert versjon. Skal ikke brukes.
Zastaraná verzia. Nepoužívať.
Elavult verzió. Ne használja!
Wersja nieaktualna. Nie używać.

LATITUDE HL7-NACHRICHTENSPEZIFIKATION

KAPITEL 6

Dieses Kapitel enthält die folgenden Themen:

- “Latitude HL7-Nachrichtenspezifikation” auf Seite 6-2
- “MSH-Segmentstruktur” auf Seite 6-2
- “PID-Segmentstruktur” auf Seite 6-4
- “NTE-Segmentstruktur” auf Seite 6-5
- “PV1-Segmentstruktur” auf Seite 6-6
- “PV2-Segmentstruktur” auf Seite 6-7
- “OBR-Segmentstruktur” auf Seite 6-7
- “OBX-Segmentstruktur” auf Seite 6-9
- “ZUX-Segmentstruktur” auf Seite 6-10

Outdated version. Do not use.
Version überholt. Nicht verwenden.
Version obsolete. Ne pas utiliser.
Versión obsoleta. No utilizar.
Versione obsoleta. Non utilizzare.
Verouderde versie. Niet gebruiken.
Föråldrad version. Använd ej.
Παλιά έκδοση. Μην την χρησιμοποιείτε.
Versão obsoleta. Não utilize.
Forældet version. Må ikke anvendes.
Zastaralá verzia. Nepoužívať.
Utdatert versjon. Skal ikke brukes.
Zastaraná verzia. Nepoužívať.
Elavult verzió. Ne használja!
Wersja nieaktualna. Nie używać.

LATITUDE HL7-NACHRICHTENSPEZIFIKATION

Die LATITUDE-HL7-Datei basiert auf dem Nachrichtenstandard HL7 2.3.1 Observation Result Unsolicited (ORU). Dieser internationale Standard beschreibt ein universelles Modell für die Kompatibilität elektronischer medizinischer Daten.

Grundkonzepte der LATITUDE-HL7-Nachrichten: (Die in diesem Dokument verwendeten ASCII-Zeichen haben Beispielcharakter und Änderungen sind vorbehalten.)

1. Eine LATITUDE-Nachricht besteht aus Segmenten
2. Die ersten drei Buchstaben eines Segments stellen die Segmenttypkennung dar
3. Eine LATITUDE-Nachricht enthält immer folgende Segmenttypen: MSH; PID; NTE1; PV1; OBR1; OBX (mehrere); ZU1; ZU2
4. Segmente sind ASCII-Zeichenfolgen und bestehen aus mehreren getrennten Sequenzen
5. Die Sequenzen sind durch einen senkrechten Strich (| , d. h. ASCII 0x7C) an ihrem Ende getrennt
6. Sequenzen sind innerhalb des Segments in numerischen Positionen angelegt und werden anhand dieser referenziert
7. Die Segmenttypkennung wird bei der Sequenznummerierung nicht mitgezählt
8. Mit Ausnahme des Segmenttyps „MSH“ ist die erste Sequenz immer eine Zahl. Anhand dieser Zahl und der dreistelligen Segment-ID direkt davor werden die Segmente identifiziert, z. B. NTE.1, OBR.3 und OBX.75
9. Einige Sequenzen können Teilsequenzen enthalten:
 - Elemente in Teilsequenzen sind durch das Caret-Zeichen (^, d. h. ASCII 0x5E) voneinander getrennt
 - Die Anzahl und maximale Länge von Teilsequenzen sind in der Sequenzdefinition festgelegt
 - In leeren Teilsequenzen dient das Caret-Zeichen als Platzhalter
 - Die Teilsequenz endet mit einem Sequenztrennzeichen (|)
10. Nachrichtensegmente enden entweder mit einem LF- oder CR-Zeichen

Patientendaten in einer LATITUDE-Nachricht sind in vier Untersuchungsberichte unterteilt: Letzte Abfrage, Implantation, Elektrodentest in der Praxis und Elektrodeninformationen. Untersuchungsberichte bestehen aus einem einzelnen OBR-Segment gefolgt von mehreren OBX-Segmenten.

Die Nachricht enthält außerdem einen Überblick über nützliche Follow-up-Daten, einschließlich zusätzlicher Informationen aus dem Quick Notes-Bericht von LATITUDE.

Weitere Informationen können Sie der Abbildung links entnehmen.

MSH-SEGMENTSTRUKTUR

Das MSH-Segment enthält Informationen über den Sender und Empfänger der Nachricht, den Nachrichtentyp, einen Zeitstempel usw. und ist das erste Segment der ORU-Nachricht.

NAME DES ELE- MENTS	SEQ	SUB SEQ	DT	LEN	GE- BRAU- CH	CARD	TBL #	ITEM #	FEST	BEI- SPIEL- WERT
Feld- Separa- tor	1		ST	1	R	[1..1]		00001	J	
Codier- zeichen	2		ST	4	R	[1..1]		00002	J	^~\&
Sende- nde Anwen- dung	3		HD	180	R	[1..1]		00003	J	LATI- TUDE
Sende- nde Einrich- tung	4		HD	180	R	[1..1]		00004	J	BOS- TON SCIEN- TIFIC
Emp- fangen- de Einrich- tung	6		HD	180	RE	[0..1]		00006		Kran- ken- hausna- me
Datum/ Uhrzeit der Nach- richt	7		TS	26	R	[1..1]		00007		20060- 51015 0057 +0000
Nach- richten- typ	9		MSG	15	R	[1..1]		00009		
Nach- richt- encode		1	ID	3	R	[1..1]	0076		J	ORU
Auslö- sendes Ereignis		2	ID	3	R	[1..1]	0003		J	R01
Nach- richten- kontroll- ID	10		ST	20	R	[1..1]		00010		25001- 44
Verar- bei- tungs- ID	11		ID	1	R	[1..1]	0103	00011		P
Versi- ons-ID	12		ID	5	R	[1..1]	0104	00012	J	2.3.1
Bestäti- gungs- typ akzep- tieren	15		ID	2	R	[1..1]	0155	00015	J	NE
Zeich- ensatz	18		ID	6	R	[1..1]	0211	00692		8859/1 UNI- CODE Siehe Hinweis a.
Haupt- sprache	19		CE	60	R	[0..1]		00693		Siehe Hinweis b.
Sprach- ID		1	ID	2	R	[0..1]				EN

Name der Sprache		2	ST	50	R	[0..1]				Englisch
Codiersystem		3	ST	6	R	[0..1]				ISO639

- a. Die Zeichensatzkennung ist entweder 8859/1 oder UNICODE, jedoch nicht beides. Boston Scientific behält sich das Recht vor, den in der HL7-Nachricht verwendeten Zeichensatz zu ändern. Das System, das diese HL7-Nachricht empfängt, sollte MSH.18 prüfen, um den in dieser HL7-Nachricht verwendeten Zeichensatz zu identifizieren.
- b. Wenn die Hauptsprache nicht angegeben ist, wird EN^English^ISO639 vorausgesetzt. Anderenfalls wird die Nachrichtensprache genannt.

PID-SEGMENTSTRUKTUR

Das PID-Segment enthält Daten zur Patientenidentifizierung wie Name, ID-Code, Postleitzahl usw. Diese Informationen werden zum Patientenabgleich verwendet.

NAME DES ELEMENTS	SEQ	SUB SEQ	DT	LEN	GE- BRAU- CH	CARD	TBL #	ITEM #	FEST	BEI- SPIEL- WERT
Set-ID — PID	1		SI	1	R	[1..1]		00104	J	1
Patienten-ID	2		CX	20	R	[1..1]		00105		
ID		1	ST	20	R	[1..1]				42347-93618 Siehe Hinweis a.
Patientenken- nungs- liste	3		CX	20	R	[1..1]		00106		
ID-Liste		1	ST	20	R	[1..2]				42347-93618- ~ab- c1234- 56 Siehe Hinwei- se a, b und c.
Name des Patien- ten	5		XPN	140	R	[0..1]		00108		Siehe Hinweis d.
Nach- name +Präfix des Nach- namens		1	CM	40	RE	[0..1]				Doe
Vorna- me		2	ST	40	RE	[0..1]				John
Mittlere Initialen oder zweiter Vorna- me		3	ST	40	RE	[0..1]				Jimmy
Na- mens- zusatz		4	ST	20	RE	[0..1]				Jr.
Name-		8	ID	1	O	[0..1]	0465			

Darstellungsc-ode										
Weiterer Name des Patienten	5		XPN	140	R	[0..1]		00108		Siehe Hinweis d.
Zweiter Nachname +Präfix		1	CM	40	RE	[0..1]				Schmidt
Zweiter Vorname		2	ST	40	RE	[0..1]				Hans
Zweite mittlere Initialen oder zweiter Vorname		3	ST	40	RE	[0..1]				Marianne
Weiterer Namenszusatz		4	ST	20	RE	[0..1]				Sr.
Name-Darstellungsc-ode		8	ID	1	O	[0..1]	0465			P
Geburtsdatum	7		TS	26	RE	[0..1]		00110		19271-209
Geschlecht	8		IS	1	RE	[0..1]	0001	00111		M Siehe Hinweis e.
Postleitzahl	11	5	ST	10	RE	[0..1]				55408

- Sowohl Patienten-ID (Sequenz 2) als auch Patientenkenntnisliste (Sequenz 3) enthalten eine eindeutige Patientennummer, die von LATITUDE generiert und verwaltet wird.
- LATITUDE ermöglicht es Krankenhäusern, (optional) ihre eigenen Patienten-IDs in das LATITUDE-System einzugeben. Optionale Patienten-IDs werden in die exportierte HL7-Nachricht integriert. Bei Verwendung erscheinen diese krankenhausdefinierten Patienten-IDs in der Patientenkenntnisliste (Sequenz 3) als Text nach dem Tildezeichen (~).
- Diese Tabelle definiert alle im PID-Segment verwendeten Elemente der Patienten-ID. Da jede Patientenakte einzigartig ist, enthalten Nachrichten möglicherweise nicht alle oben aufgelisteten Elemente einer Patienten-ID.
- Wo verfügbar, enthält die Nachricht zusätzliche Informationen zum Patientennamen, wie sie in der Tabelle angegeben sind. Die ideografischen und phonetischen Namen sind als HL7-Liste in der PID.5-Sequenz enthalten. Die in der Tabelle angegebenen Elemente stehen für die maximalen Informationen, die gesendet werden können.
- Der Wert „U“ wird angezeigt, wenn das Geschlecht des Patienten unbekannt ist.

NTE-SEGMENTSTRUKTUR

Das NTE-Segment enthält Alarme und Ereignisse, die auf einen bestimmten Patienten zutreffen. Es können bis zu vier NTE-Segmente in einer LATITUDE-HL7-Nachricht enthalten sein.

NAME DES ELEMENTS	SEQ	SUB SEQ	DT	LEN	GE- BRAUCH	CARD	TBL #	ITEM #	FEST	BEI- SPIEL- WERT
Set-ID — NTE	1		SI	1	R	[1..1]		00096		1

Quelle des Kommentars	2		ID	8	R	[1..1]		00097	J	LATI- TUDE
Kommentar	3		FT	65536	R	[1..*]		00098		Siehe Inhalts- be- schrei- bung in Hinweis a.

- a. In jeder Geräte-Follow-up-Nachricht sind potenziell 4 NTE-Segmente vorhanden. Die Set-ID und Beschreibung für diese Segmente lauten wie folgt:
- Set ID 1 – Dieses NTE-Segment enthält einen Bericht, der aus einer Reihe von Alarmen besteht, die bei einem bestimmten Patienten aufgetreten sind. Für ein gegebenes Patienten/Arzt-Paar kann es mehr als einen Alarm geben. Die Alarme sind derart sortiert, dass zuerst alle roten Alarme und danach die gelben Alarme angezeigt werden. Die sekundäre Sortierung innerhalb jedes Alarmtyps ist vom neuesten zum ältesten. Maximal 255 Alarme können angezeigt werden.
 - Set ID 2 – Dieses NTE-Segment enthält Informationen in Bezug auf die Entfernung der Patientenakte aus LATITUDE. Es enthält Informationen darüber, wer die Entfernung vorgenommen hat und wann diese vorgenommen wurde.
 - Set ID 3 – Dieses NTE-Segment enthält einen Bericht, der aus einer Reihe von Ereignissen (gespeicherten Episoden) besteht, die für einen bestimmten Patienten mit hochgeladen werden. Für ein gegebenes Patienten/Arzt-Paar kann es mehr als ein Ereignis geben. Die Ereignisse sind vom neuesten zum ältesten sortiert, wobei maximal 255 Ereignisse angegeben werden. Die letzte Zeile dieses Segments enthält die Gesamtanzahl jedes Episodentyps.
 - Set ID 4 – Dieses NTE-Segment enthält Informationen über das Gerät, wenn es sich in einem Zustand befindet, der eine Meldung erforderlich macht. Es enthält eine Warnmeldung und Informationen über den Zustand. Sollte dieses NTE-Segment vorhanden sein, sollte es als Nachricht von höchster Priorität behandelt und dem Benutzer als solche angezeigt werden.
- b. Nicht jede LATITUDE-HL7-Nachricht enthält alle vier NTE-Segmente.

PV1-SEGMENTSTRUKTUR

Das PV1-Segment (Patientenbesuch-Segment) enthält Informationen zum behandelnden Arzt des Patienten.

NAME DES ELEMENTS	SEQ	SUB SEQ	DT	LEN	GE- BRAU- CH	CARD	TBL #	ITEM #	FEST	BEI- SPIEL- WERT
Set-ID — PV1	1		SI	4	R	[1..1]		00131	J	1
Patientenklasse	2		IS	1	R	[0..1]		00132	J	R
Behandelnder Arzt	7		XCN	60	RE	[1..1]		00137		
ID-Nummer (ST)		1	ST	10	RE	[1..1]				JHop- kins Siehe Hinweis a.
Nachname + Präfix des Nachnamens		2	CM	40	RE	[1..1]				Hop- kins
Vorname		3	ST	40	RE	[0..1]				John

Mittlere Initialen oder zweiter Vorname		4	ST	1	RE	[0..1]				L
Namenszusatz		5	ST	20	RE	[0..1]				Sr.

- a. Die ID-Nummer des behandelnden Arztes ist der LATITUDE-Login-Name des Arztes.
b. Die Nachricht enthält möglicherweise nicht alle oben genannten Elemente zum Namen des Arztes.

PV2-SEGMENTSTRUKTUR

Das PV2-Segment (Patientenbesuch 2-Segment) enthält Informationen zur LATITUDE-Gruppe des Patienten.

NAME DES ELEMENTS	SEQ	SUB SEQ	DT	LEN	GE-BRAUCH	CARD	TBL #	ITEM #	FEST	BEISPIELWERT
Name der Krankenhausorganisation	23		XON	90	O	[0..1]		00724	N	
Name der Organisation (Gruppe)		1	ST	87	RE	[0..1]			N	Kardiologie
ID-Nummer (primäre oder sekundäre Patientengruppe)		3	NM	1	RE	[0..1]			N	1 Siehe Hinweis b.

- a. Das Segment PV2 ist optional und möglicherweise in der HL7-Datei nicht enthalten.
b. Dieser Wert ist „1“, wenn die HL7-Datei mit der primären LATITUDE-Gruppe verknüpft ist, und „2“, wenn sie mit der sekundären LATITUDE-Gruppe verknüpft ist.

OBR-SEGMENTSTRUKTUR

OBR-Segmente sind die Abschnittsüberschriften für einzelne OBX-Abfrageinformationssegmente. Sie enthalten Daten wie Zeitstempel, Berichtkennung und eine einzigartige systemgenerierte Kennung.

NAME DES ELEMENTS	SEQ	SUB SEQ	DT	LEN	GE-BRAUCH	CARD	TBL #	ITEM #	FEST	BEISPIELWERT
Set-ID — OBR	1		SI	4	R	[1:1]		00237	J	1 bis 4 Siehe Hinweis a
Bearbeitungsnummer	3		EI	22	R	[1:1]		00217		

der Leistungsstelle										
Entitätskennung		1	ST	15	R	[1:1]				Eindeutige Kennung Siehe Hinweis b
Universelle Service-ID	4		CE	200	R	[1:1]		00238		
Kennung		1	ST	50	R	[1:1]				BostonScientific-Letzte Abfrage Siehe Hinweis a
Text		2	ST	50	R	[1:1]				Letzte Abfrage Siehe Hinweis a
Datum/Uhrzeit der Untersuchung Nr.	7		TS	26	R	[1:1]		00241		20060-42908-000 5 +0000
Datum/Uhrzeit, an dem die Untersuchung endet Nr.	8		TS	26	RE	[0:1]		00242		20060-42908-000 5 +0000
Verantwortlicher Auftraggeber	16		XCN	120	RE	[0:1]		00226		
ID-Nummer		1	ST	50	RE	[0:1]				z. B. JHopkins, Kardiologie usw. Siehe Hinweis c
Freitext 1 für Auftraggeber	18		ST	2	R	[1:1]		00253	J	DR Siehe Hinweis d

Ergebnisbereich/ Statusänderung – Datum/ Uhrzeit +	22		TS	26	RE	[0:1]		00255		20060-42908-000 5 +0000
Ergebnisstatus +	25		ID	1	R	[1:1]	0123	00258	J	S

- Die LATITUDE-ORU-Nachricht enthält vier OBR-(Untersuchungsbericht-)Segmente mit jeweils einer anderen Set-ID und universellen Service-ID (siehe Tabelle oben). Jeder OBR enthält mehrere OBX-Aufzeichnungen mit kontextspezifischen Untersuchungen. Einzelheiten zu den spezifischen OBX-Untersuchungen sind im Abschnitt „OBX-Segmentstruktur“ des vorliegenden Dokuments aufgeführt.
- LATITUDE erstellt eine einzigartige Kennung und trägt diesen unter Bearbeitungsnummer der Leistungsstelle (OBR.3) in allen vier OBRs ein. Die Kennung ändert sich für erneut gesendete Untersuchungen nicht.
- Verantwortlicher Auftraggeber (OBR.16) ist entweder der LATITUDE-Login-Name des zuständigen Arztes oder der Patientengruppenname.
- Freitext 1 für Auftraggeber (OBR.18) ist ein Wert, der zur Identifizierung des gesendeten Untersuchungstyps verwendet wird. Er steht immer auf DR, was für Diagnosebericht steht.

Untersuchungsbericht-Gruppen-IDs

Set-ID	Name	Beschreibung	Kennung der universellen Service-ID	Text der universellen Service-ID
1	Letzte Abfrage	Dieser OBR enthält Untersuchungen aus der letzten Fernüberwachungssitzung.	BostonScientific-Letzte Abfrage	Letzte Abfrage
2	Implantation	Dieser OBR enthält Untersuchungen, die zum Zeitpunkt der Implantation des PG generiert wurden.	BostonScientific-Implantation	Implantation
3	Letzter Elektrodentest in der Praxis	Dieser OBR enthält Untersuchungen aus dem letzten Elektrodentest in der Praxis.	BostonScientific-Zuletzt in Ambulanz	Elektrodentest: In der Praxis
4	Elektrodeninformationen	Dieser OBR enthält Informationen über implantierte Elektroden.	BostonScientific-Elektroden	Elektrodeninformationen

OBX-SEGMENTSTRUKTUR

OBX-Segmente enthalten Daten, die während der letzten Geräteabfrage gesammelt wurden.

NAME DES ELEMENTS	SEQ	SUB SEQ	DT	LEN	GE- BRAU- CH	CARD	TBL #	ITEM #	FEST	BEI- SPIEL- WERT
Set-ID – OBX	1		SI	4	R	[1..1]		00569		Sequenzieller, ganzzahliger Wert, beginnend mit 1
Werttyp	2		ID	2	R	[1..1]	0125	00570		ST oder NM oder DT oder ED Siehe Hinweis a

Untersuchungs-kennung	3		CE	590	R	[1..1]		00571		
Kennung		1	ST	80	R	[1..1]				Siehe Hinweis b
Text		2	ST	256	R	[1..1]				Siehe Hinweis b
Name des Codierungs-systems		3	ST	20	R	[1..1]			J	GDT-LATI-TUDE
Untersuchungs-wert	5		--	4000	RE	[0..1]				Siehe Hinweis c
Einheiten	6		CE	60	RE	[0..1]				
Kennung		1	ST	20	RE	[0..1]				Siehe Hinweis d
Status des Untersuchungsergebnisses	11		ID	1	R	[1..1]	0085	00579	J	S
Datum/Uhrzeit der Untersuchung	14		TS	26	C	[0..1]		00582		20060-31717-000 0 +0000 Siehe Hinweis e

- Werttyp (OBX.2) ist das Format der im Bericht enthaltenen Daten: ST – Zeichenfolge; NM – Nummer; DT – Datum; ED – Gekapselte Daten.
- Alle Untersuchungen sind mittels spezifischer LATITUDE-Begriffe codiert. Diese Begriffe sind im Abschnitt „LATITUDE-HL7-Begriffsdefinitionen“ des vorliegenden Dokuments definiert.
- Untersuchungswert (OBX.5) entspricht den übermittelten Daten, ausgedrückt in dem in OBX.2 festgelegten Format. Die maximale Länge der Zeichenfolge ist 4000 Zeichen, bei einem PDF-formatierten Eingangs-EGM-Bericht kann die Zeichenfolge jedoch länger sein.
- OBX.6 enthält die Maßeinheit der in OBX.5 übermittelten Daten, falls zutreffend. Maßeinheiten und Dezimalschreibweise sind lokalisiert.
- Datum/Uhrzeit der Untersuchung (OBX.14) enthält nur dann eine Angabe, wenn der Zeitstempel der betreffenden Untersuchung sich vom Zeitstempel in OBR.7 unterscheidet. Dieser Wert ist ein erforderlicher Wert bei den Untersuchungsgruppen OBR-1 und OBR-3. Bei den Gruppen OBR-2 und OBR-4 ist er nicht vorhanden.

ZUX-SEGMENTSTRUKTUR

Die Z-Segmente sind benutzerdefinierte Segmente, die zur Übermittlung von LATITUDE-spezifischen Informationen verwendet werden.

NAME DES ELE- MENTS	SEQ	SUB SEQ	DT	LEN	GE- BRAU- CH	CARD	TBL #	ITEM #	FEST	BEI- SPIEL- WERT
Seg- menttyp	1		ST	3	R	[1..1]			J	ZU1 oder ZU2 Siehe Hinweis a
Wert	2		ST	200	R	[1..1]				URL oder Be- richt- styp Siehe Hinweis a

a. Die folgenden zwei Z-Segmente werden verwendet:

- ZU1 – Wert enthält die URL-Zeichenfolge, die es einem Systembenutzer ermöglicht, sich in LATITUDE mit Patienten zu verbinden. Bsp. <https://www.test.bostonscientific.com/access/physician/patientDetails?id=987654321>
- ZU2 – Wert enthält die LATITUDE-Nachrichtenbeschreibung und -Version. Bsp. Zusammenfassender Aggregatbericht Version 6

Outdated version. Do not use.
Version überholt. Nicht verwenden.
Version obsolete. Ne pas utiliser.
Versión obsoleta. No utilizar.
Versione obsoleta. Non utilizzare.
Verouderde versie. Niet gebruiken.
Föråldrad version. Använd ej.
Παλιά έκδοση. Μην την χρησιμοποιείτε.
Versão obsoleta. Não utilize.
Forældet version. Må ikke anvendes.
Zastaralá verze. Nepoužívat.
Utdatert versjon. Skal ikke brukes.
Zastaraná verzia. Nepoužívať.
Elavult verzió. Ne használja!
Wersja nieaktualna. Nie używać.

Outdated version. Do not use.
Version überholt. Nicht verwenden.
Version obsolète. Ne pas utiliser.
Versión obsoleta. No utilizar.
Versione obsoleta. Non utilizzare.
Verouderde versie. Niet gebruiken.
Föråldrad version. Använd ej.
Παλιά έκδοση. Μην την χρησιμοποιείτε.
Versão obsoleta. Não utilize.
Forældet version. Må ikke anvendes.
Zastaralá verze. Nepoužívat.
Utdatert versjon. Skal ikke brukes.
Zastaraná verzia. Nepoužívať.
Elavult verzió. Ne használja!
Wersja nieaktualna. Nie używać.

LATITUDE-HL7-BEGRIFFSDEFINITIONEN

KAPITEL 7

Dieses Kapitel enthält die folgenden Themen:

- “LATITUDE-HL7-Begriffsdefinitionen” auf Seite 7-2
- “In der Gruppe OBR–1 verwendete OBX-Begriffe (Letzte Abfragedaten)” auf Seite 7-2
- “In der Gruppe OBR–2 verwendete OBX-Begriffe (Implantationsdaten)” auf Seite 7-10
- “In der Gruppe OBR–3 verwendete OBX-Begriffe (Letzter Elektrodentest in der Praxis)” auf Seite 7-11
- “In der Gruppe OBR–4 verwendete OBX-Begriffe (Elektrodeninformationen)” auf Seite 7-12

Outdated version. Do not use.
Version überholt. Nicht verwenden.
Version obsolete. Ne pas utiliser.
Versión obsoleta. No utilizar.
Versione obsolete. Non utilizzare.
Verouderde versie. Niet gebruiken.
Föråldrad version. Använd ej.
Παλιά έκδοση. Μην την χρησιμοποιείτε.
Versão obsoleta. Não utilize.
Forældet version. Må ikke anvendes.
Zastaralá verzia. Nepoužívať.
Utdatert versjon. Skal ikke brukes.
Zastaraná verzia. Nepoužívať.
Elavult verzió. Ne használja!
Wersja nieaktualna. Nie używać.

LATITUDE-HL7-BEGRIFFSDEFINITIONEN

Alle in den OBX-Segmenten enthaltenen Untersuchungen sind mittels LATITUDE-spezifischer Begriffe codiert. Die folgenden Tabellen enthalten eine komplette Auflistung der OBX-Begriffe, wie sie in den vier OBR-Gruppen verwendet werden. Nicht alle Begriffe sind für alle Geräte relevant, daher enthält nicht jede Nachricht alle Begriffe.

IN DER GRUPPE OBR-1 VERWENDETE OBX-BEGRIFFE (LETZTE ABFRAGEDATEN)

Nicht jeder Begriff erscheint in allen Nachrichten

GDT-Code	Bezeichnung des Begriffs	Beschreibung	Datentyp	Einheit
GDT-00001	Ergebnisquelle	Die Ergebnisquelle identifiziert die Quelle der Daten (z. B. Fernabfrage)	ST	
GDT-00002	Gerätehersteller	Firmenname des Geräteherstellers	ST	
GDT-00003	Gerätetyp	Der Typ des Geräts	ST	
GDT-00004	Aggregatname	Der Name, der einem Gerät vom Hersteller gegeben wird	ST	
GDT-00005	Gerätmodellname	Der Modellname des Geräts	ST	
GDT-00006	Gerätmodellnummer	Die Modellnummer des Geräts	ST	
GDT-00007	Aggregat Seriennummer	Die Seriennummer des Geräts	ST	
GDT-00008	Batterieanzeige	Der Prozentanteil, der die Batterienutzungsdauer angibt.	NM	%
GDT-00009	Batteriestatus	Ein Alarm oder eine Mitteilung über den gegenwärtigen Status der Batterie	ST	
GDT-00010	Batterieüberwachungsspannung	Die Batteriespannungsmessung, die von dem implantierten Gerät vorgenommen wird.	ST	V
GDT-00011	Ladezeit	Die Ladezeit der letzten Kondensator-Reformierung.	NM	s
GDT-00012	Letzte Reformierung	Das Datum der letzten Kondensator-Reformierung in dem implantierten Gerät.	DT	
GDT-00013	VF-Episoden	Gesamtanzahl der Kammerflimmer-Episoden: Die Anzahl der Episoden in der höchsten Tachy-Zone, die seit dem „Zähler seit“-Datum ermittelt wurde.	ST	
GDT-00014	<ul style="list-style-type: none"> • VT Episoden • Tachyepisoden • VT Episoden (V>A) 	VT Episoden: Arrhythmien der VT-Zone, die seit dem „Zähler seit“-Datum ermittelt wurden	ST	
GDT-00015	VT-1-Episoden	VT-1-Episoden: Arrhythmien der VT-1 Zone, die seit dem „Zähler seit“-Datum ermittelt wurden. Der Begriffsname wird je nach implantiertem Gerät entweder als „VT Episoden“ oder „Tachyepisoden“ angezeigt.	ST	
GDT-00016	<ul style="list-style-type: none"> • Nicht-Anhaltende ventrikuläre Episoden • Nichtanhaltende Episoden 	Gesamtanzahl der Tachykardie-NSVT-Episoden: Die Anzahl von NSVT-Episoden, die seit dem „Zähler seit“-Datum ermittelt wurden	ST	

GDT-00017	<ul style="list-style-type: none"> • ATR Betriebsartumschaltung • ATR-Episoden 	ATR Betriebsartumschaltung: Die Anzahl von Betriebsartumschaltungen, die seit dem „Zähler seit“-Datum ermittelt wurden.	NM	
GDT-00018	AFib-Episoden	Vorhofflimmer-Episoden: Vorhofflimmer-Episoden, die seit dem letzten „Zähler seit“-Datum ermittelt wurden.	NM	
GDT-00019	<ul style="list-style-type: none"> • SVT-Episoden • SVT Episoden (V≤A) 	Supraventrikuläre (Atriale) Tachykardie-Episoden: SVT (AT)-Episoden, die seit dem letzten „Zähler seit“-Datum ermittelt wurden.	NM	
GDT-00020	Atrial Prozent stimuliert	Prozentanteil der rechtsatrialen Stimulation: Der Prozentanteil aller rechtsatrialen stimulierten Ereignisse, die seit dem „Zähler seit“-Datum ermittelt wurden.	NM	%
GDT-00021	RV Prozent stimuliert	Prozentanteil der rechtsventrikulären Stimulation: Der Prozentanteil aller rechtsventrikulären stimulierten Ereignisse, die seit dem „Zähler seit“-Datum ermittelt wurden.	NM	%
GDT-00022	LV Prozent stimuliert	Prozentanteil der linksventrikulären Stimulation: Der Prozentanteil aller linksventrikulären stimulierten Ereignisse, die seit dem „Zähler seit“-Datum ermittelt wurden.	NM	%
GDT-00023	Status Rechts-Atriale Elektrode	Der gegenwärtige Status der rechtsatrialen Elektrode, der von dem Gerät basierend auf der Analyse der Elektrodenamplitude und -impedanz bestimmt wird.	ST	
GDT-00024	RA-Intrinsische Amplitude	Rechtsatriale intrinsische Amplitude (P-Welle), die während eines intrinsischen Amplitudentests gemessen wird.	ST	mV
GDT-00025	RA-Stimulationsimpedanz	Rechtsatriale Elektrodenimpedanz, die während eines Elektrodenimpedanztests gemessen wird.	ST	Ohm
GDT-00026	Status Rechts-Ventrikuläre Elektrode	Der gegenwärtige Status der rechtsventrikulären Elektrode, der von dem Gerät basierend auf der Analyse der Elektrodenamplitude und -impedanz bestimmt wird.	ST	
GDT-00027	RV-Intrinsische Amplitude	Rechtsventrikuläre intrinsische Amplitude (R-Welle), die während eines intrinsischen Amplitudentests gemessen wird.	ST	mV
GDT-00028	RV-Stim. Impedanz	Rechtsventrikuläre Elektrodenimpedanz, die während eines Elektrodenimpedanztests gemessen wird.	ST	Ohm
GDT-00029	<ul style="list-style-type: none"> • LV-Elektrodenstatus • Status Links-Ventrikuläre Elektrode 	Der gegenwärtige Status der linksventrikulären Elektrode, der von dem Gerät basierend auf der Analyse der Elektrodenamplitude und -impedanz bestimmt wird.	ST	
GDT-00030	LV-intrinsische Amplitude	Linksventrikuläre intrinsische Amplitude (R-Welle), die während eines intrinsischen Amplitudentests gemessen wird.	ST	mV
GDT-00031	LV-Stim. Impedanz	Linksventrikuläre Elektrodenimpedanz, die während eines Elektrodenimpedanztests gemessen wird.	ST	Ohm
GDT-00032	<ul style="list-style-type: none"> • Schockvektorstatus • Status Elektrodenimpedanz 	Der gegenwärtige Status des Schockvektors, der von dem Gerät basierend auf der Analyse der Impedanz bestimmt wird.	ST	
GDT-00033	Schock-Impedanz	Der täglich gemessene Wert für Schock-Impedanz.	ST	Ohm

GDT-00034	<ul style="list-style-type: none"> V-Tachymodus Therapie 	Ventrikulärer Therapiemodus	ST	
GDT-00035	A-Tachy-Modus	Atrialer Tachy-Therapie-Modus.	ST	
GDT-00036	Brady-Modus	Brady-Modus (d. h. Stimulations-Modus): Die Art und Weise, auf welche ein Gerät Frequenz- und Rhythmusunterstützung bereitstellt.	ST	
GDT-00037	Untere Grenzfrequenz	Die untere Grenzfrequenz (LRL) ist die Frequenz, bei der das implantierte Gerät das Atrium und/oder den Ventrikel stimuliert, wenn intrinsische Aktivität fehlt.	NM	min ⁻¹
GDT-00038	Maximale Tracking-Frequenz	Maximale Trackingfrequenz: In den Modi DDI und I(R) ist die maximale Trackingfrequenz (MTR) die maximale Frequenz, bei der die ventrikuläre Stimulation nichtrefraktären, detektierten, atrialen Ereignissen 1:1 folgt.	NM	min ⁻¹
GDT-00039	Maximale Sensorfrequenz	Die schnellste sensorgesteuerte Stimulationsfrequenz, die in einem frequenzadaptiven Stimulationssystem erreicht werden kann.	NM	min ⁻¹
GDT-00040	Empfindlichkeit RA	Rechtsatriale Empfindlichkeit: Der Parameter atriale Empfindlichkeit gibt das kleinste Signal an, das im rechten Atrium detektiert wird. Der Wert kann ein numerischer Wert sein, der in mV ausgedrückt wird, eine Textzeichenfolge (Nominell, Kleiner, Kleinst) oder eine Kombination von beidem.	ST	mV
GDT-00041	Empfindlichkeit RV	Rechtsventrikuläre Empfindlichkeit: Der Parameter rechtsventrikuläre Empfindlichkeit gibt das kleinste Signal an, das im rechten Ventrikel detektiert wird. Der Wert kann ein numerischer Wert sein, der in mV ausgedrückt wird, eine Textzeichenfolge (Nominell, Kleiner, Kleinst) oder eine Kombination von beidem.	ST	mV
GDT-00042	Empfindlichkeit LV	Linksventrikuläre Empfindlichkeit: Der Parameter linksventrikuläre Empfindlichkeit gibt das kleinste Signal an, das im linken Ventrikel detektiert wird. Der Wert kann ein numerischer Wert sein, der in mV ausgedrückt wird, eine Textzeichenfolge (Nominell, Kleiner, Kleinst) oder eine Kombination von beidem.	ST	mV
GDT-00043	AV-Verzögerung bei Stimulation	Der Wert der Einstellung der AV-Verzögerung.	ST	ms
GDT-00044	Korrektur detekt. AV	AV-Korrektur nach Detektion: Die AV-Verzögerung wird durch die programmierte AV-Korrektur nach Detektion nach einem detektierten atrialen Ereignis verkürzt. Für COGNIS-, TELIGEN- und neuere Geräte kann ein Wert angezeigt werden, selbst wenn er nicht auf den gegenwärtigen programmierten Modus anwendbar ist.	ST	ms
GDT-00045	AV-Suchhysterese Suchintervall	Anzahl der stimulierten AV-Zyklen zwischen A-V-Frequenzsuchen	ST	Zyklen
GDT-00046	AV-Suchhysterese AV-Anstieg	Der prozentuale Anstieg der AV-Verzögerung, die auf den nächsten Herzzyklus angewendet werden soll, wenn die AV-Suche aktiv ist. Beachten Sie, dass dieser Wert für ältere Geräte als gültig ausgegeben wird. GDT-00218 wird für COGNIS-, TELIGEN-, PROGENY- und INGENIO-Geräte als gültig ausgegeben.	NM	%
GDT-00047	<ul style="list-style-type: none"> A-Refraktärzeit (PVARP) A-Refraktärzeit 	Die Post-Ventrikuläre atriale Refraktärzeit (PVARP) ist die Zeit nach einem stimulierten oder detektierten ventrikulären Ereignis, wenn die Aktivität im Atrium den Herzzyklus nicht zurücksetzt und keinen ventrikulären Stimulus auslöst.	ST	ms

GDT-00048	RV Refraktärzeit (RVRP)	Die rechtsventrikuläre Refraktärzeit ist die Zeit nach einem stimulierten oder detektierten rechtsventrikulären Ereignis, wenn die detektierte elektrische Aktivität im rechten Ventrikel die Zeitzyklen nicht zurücksetzt.	ST	ms
GDT-00049	LV Refraktärzeit (LVRP)	Die linksventrikuläre Refraktärzeit (LVRP) ist definiert als die Zeit nach einem stimulierten oder detektierten linksventrikulären Ereignis, wenn keine intrinsischen LV-Ereignisse verwendet werden, um die Zeitzyklen zurückzusetzen.	NM	ms
GDT-00050	LV Schutzintervall	Linksventrikuläres Schutzintervall (LVPP): LVPP ist das Intervall, das einem stimulierten oder detektierten linksventrikulären Ereignis folgt und in dem das Aggregat keine linksventrikuläre Stimulation abgibt.	NM	ms
GDT-00051	Ventr. Stimulations-Kammer	Stimulierte Kammer: Dieser Parameter bestimmt die ventrikuläre Stimulationskonfiguration – links-, rechts- oder biventrikuläre Stimulation.	ST	
GDT-00052	Ventr. Stimulations-Kammer LV-Korrektur	Korrektur zwischen Abgabe von RV- und LV-Stimulationsimpulsen. Die Korrektur wird basierend auf der Zeiteinstellung des RV-Stimulationsimpulses auf den LV-Stimulationsimpuls angewendet. Die Korrektur kann einen negativen oder positiven Wert haben.	NM	ms
GDT-00053	Stimulations-Energie – RA	Die Kombination der rechtsatrialen Amplitude und der rechtsatrialen Impulsdauer.	ST	
GDT-00054	Stimulations-Energie – RV	Die Kombination der rechtsventrikulären Amplitude und der rechtsventrikulären Impulsdauer.	ST	
GDT-00055	Stimulations-Energie – LV	Die Kombination der linksventrikulären Amplitude und der linksventrikulären Impulsdauer.	ST	
GDT-00056	ATR Mode Switch-Modus	ATR Betriebsartumschaltungsmodus; Stimulations-Modus-Umschaltung ohne Tracking, wenn der Patient eine atriale Tachyarrhythmie hat.	ST	
GDT-00057	ATR Mode Switch-Frequenz	Die atriale Tachy-Reaktionsfrequenz ist die Stimulationsfrequenz, auf die der Modus in einer neuen Therapieeinstellung umschaltet.	ST	min ⁻¹
GDT-00058	AFib-Zone	AFib Frequenzgrenze: Die Frequenz, über der ein A-A-Intervall in der AFib-Zone klassifiziert wird.	ST	min ⁻¹
GDT-00059	AFib-Zone ATP1 Typ	ATP-Therapie für die erste eingestellte Therapie	ST	
GDT-00060	AFib-Zone ATP1 Anzahl der Bursts	Die programmierte Anzahl atrialer Antitachy-Stimulationsbursts, die in der AFib-Zone von einem implantierten Gerät für die erste programmierte atriale Therapie abgegeben werden.	ST	
GDT-00061	AFib-Zone ATP2 Typ	ATP-Therapie für die zweite programmierte Therapieeinstellung.	ST	
GDT-00062	AFib-Zone ATP2 Anzahl der Bursts	Die programmierte Anzahl atrialer Antitachy-Stimulationsbursts, die in der AFib-Zone von einem implantierten Gerät für die zweite programmierte atriale Therapie abgegeben werden.	ST	
GDT-00063	AFib-Zone Schock 1 Energie	AFib-Schock 1 Energie: Die Energiemenge, die in dem ersten Schock der AFib-Zone abgegeben wird.	ST	J
GDT-00064	AFib-Zone Schock 2 Energie	AFib-Schock 2 Energie: Die Energiemenge, die in dem zweiten Schock der AFib-Zone abgegeben wird.	ST	J

GDT-00065	AFib-Zone Schock 3 Energie	AFib-Schock 3 Energie: Die Energiemenge, die in dem dritten Schock der AFib-Zone abgegeben wird.	ST	J
GDT-00066	SVT-Zone	SVT (AT)-Frequenzschwelle: Die Frequenz, über der ein A-A-Intervall in der SVT-Zone (d. h. AT-Zone) klassifiziert wird.	NM	min ⁻¹
GDT-00067	SVT-Zone ATP1 Typ	Der Typ atrialer Antitachy-Stimulationsbursts, die in der SVT-Zone (d. h. AT-Zone) von einem implantierten Gerät für die erste programmierte atriale Therapieeinstellung abgegeben werden.	ST	
GDT-00068	SVT-Zone ATP1 Anzahl der Bursts	Die Anzahl atrialer Antitachy-Stimulationsbursts, die in der SVT-Zone (d. h. AT-Zone) von einem implantierten Gerät für die erste programmierte atriale Therapieeinstellung abgegeben werden.	ST	
GDT-00069	SVT-Zone ATP2 Typ	Der Typ atrialer Antitachy-Stimulationsbursts, die in der SVT-Zone (d. h. AT-Zone) von einem implantierten Gerät für die zweite programmierte atriale Therapieeinstellung abgegeben werden.	ST	
GDT-00070	SVT-Zone ATP2 Anzahl der Bursts	Die Anzahl atrialer Antitachy-Stimulationsbursts, die in der SVT-Zone (d. h. AT-Zone) von einem implantierten Gerät für die zweite programmierte atriale Therapieeinstellung abgegeben werden.	ST	
GDT-00071	SVT-Zone Schock 1 Energie	SVT (AT)-Schock 1 Energie: Die Energiemenge, die in dem ersten Schock der SVT-Zone (d. h. AT-Zone) abgegeben wird.	ST	J
GDT-00072	SVT-Zone Schock 2 Energie	SVT (AT)-Schock 2 Energie: Die Energiemenge, die in dem zweiten Schock der SVT-Zone (d. h. AT-Zone) abgegeben wird.	ST	J
GDT-00073	SVT-Zone Schock 3 Energie	SVT (AT)-Schock 3 Energie: Die Energiemenge, die in dem dritten Schock der SVT-Zone (d. h. AT-Zone) abgegeben wird.	ST	J
GDT-00074	<ul style="list-style-type: none"> • VF-Zone • Schockzone 	VF-Frequenzschwelle: Die Frequenz, über der ein R-R-Intervall in der VF-Zone klassifiziert wird.	NM	min ⁻¹
GDT-00075	<ul style="list-style-type: none"> • VF Schock 1 Energie • Schockzone Schock Energie 	VF Schock 1 Energie: Die Energiemenge, die in dem ersten Schock der VF-Zone abgegeben wird.	NM	J
GDT-00076	VF Schock 2 Energie	VF Schock 2 Energie: Die Energiemenge, die in dem zweiten Schock der VF-Zone abgegeben wird.	NM	J
GDT-00077	VF Max. Schockenergie	VF Maximale Schockenergie: Die Energiemenge, die in jedem verbleibenden Schock nach dem zweiten Schock der VF-Zone abgegeben wird.	NM	J
GDT-00078	VF Anzahl der zusätzlichen Schocks	VF Anzahl der zusätzlichen Schocks: Die Anzahl zusätzlicher Schocks mit maximaler Energie in der VF-Zone, die zur Abgabe programmiert sind.	NM	
GDT-00079	<ul style="list-style-type: none"> • VT-Zone • Tachy-Detektionsfrequenz • Bedingte Schockzone 	VT-Frequenzschwelle: Die Frequenz, über der ein R-R-Intervall in der VT-Zone klassifiziert wird.	NM	min ⁻¹
GDT-00080	VT-Zone ATP1 Typ	Der Typ ventrikulärer Antitachy-Stimulationsbursts, die in der VT-Zone von einem implantierten Gerät für die erste programmierte ventrikuläre Therapieeinstellung abgegeben werden.	ST	
GDT-00081	VT-Zone ATP1 Anzahl der Bursts	Die Anzahl ventrikulärer Antitachy-Stimulationsbursts, die in der VT-Zone von einem implantierten Gerät für die erste	ST	

In der Gruppe OBR-1 verwendete OBX-Begriffe (Letzte Abfragedaten)

		programmierte ventrikuläre Therapieeinstellung abgegeben werden.		
GDT-00082	VT-Zone ATP2 Typ	Der Typ ventrikulärer Antitachy-Stimulationsbursts, die in der VT-Zone von einem implantierten Gerät für die zweite programmierte ventrikuläre Therapieeinstellung abgegeben werden.	ST	
GDT-00083	VT-Zone ATP2 Anzahl der Bursts	Die Anzahl ventrikulärer Antitachy-Stimulationsbursts, die in der VT-Zone von einem implantierten Gerät für die zweite programmierte ventrikuläre Therapieeinstellung abgegeben werden.	ST	
GDT-00084	<ul style="list-style-type: none"> • VT Schock 1 Energie • Bedingte Schockzone Schock Energie 	VT Schock 1 Energie: Die Energiemenge, die in dem ersten Schock der VT-Zone abgegeben wird.	ST	J
GDT-00085	VT Schock 2 Energie	VT Schock 2 Energie: Die Energiemenge, die in dem zweiten Schock der VT-Zone abgegeben wird.	ST	J
GDT-00086	VT Max. Schockenergie	VT Maximale Schockenergie: Die Energiemenge, die in jedem verbleibenden Schock nach dem zweiten Schock der VT-Zone abgegeben wird.	ST	J
GDT-00087	VT Anzahl der zusätzlichen Schocks mit maximaler Energie	VT Anzahl der zusätzlichen Schocks: Die Anzahl zusätzlicher Schocks mit maximaler Energie in der VT-Zone, die zur Abgabe programmiert sind.	NM	
GDT-00088	VT-1 Zone	VT-1-Frequenzschwelle: Die Frequenz, über der ein R-R-Intervall in der VT-1 Zone klassifiziert wird.	NM	min ⁻¹
GDT-00089	VT-1 ATP1 Typ	Der Typ ventrikulärer Antitachy-Stimulationsbursts, die in der VT-1 Zone von einem implantierten Gerät für die erste programmierte ventrikuläre Therapieeinstellung abgegeben werden.	ST	
GDT-00090	VT-1 ATP1 Anzahl der Bursts	Die Anzahl ventrikulärer Antitachy-Stimulationsbursts, die in der VT-1 Zone von einem implantierten Gerät für die erste programmierte ventrikuläre Therapieeinstellung abgegeben werden.	ST	
GDT-00091	VT-1 ATP2 Typ	Der Typ ventrikulärer Antitachy-Stimulationsbursts, die in der VT-1 Zone von einem implantierten Gerät für die zweite programmierte ventrikuläre Therapieeinstellung abgegeben werden.	ST	
GDT-00092	VT-1 ATP2 Anzahl der Bursts	Die Anzahl ventrikulärer Antitachy-Stimulationsbursts, die in der VT-1 Zone von einem implantierten Gerät für die zweite programmierte ventrikuläre Therapieeinstellung abgegeben werden.	ST	
GDT-00093	VT-1 Schock 1 Energie	VT-1 Schock 1 Energie: Die Energiemenge, die in dem ersten Schock der VT-1 Zone abgegeben wird.	ST	J
GDT-00094	VT-1 Schock 2 Energie	VT-1 Schock 2 Energie: Die Energiemenge, die in dem zweiten Schock der VT-1 Zone abgegeben wird.	ST	J
GDT-00095	VT-1 Max. Schock-Energie	VT-1 Maximale Schockenergie: Die Energiemenge, die in jedem verbleibenden Schock nach dem zweiten Schock der VT-1 Zone abgegeben wird.	ST	J
GDT-00096	VT-1 Anzahl der zusätzlichen Schocks	VT-1 Anzahl der zusätzlichen Schocks: Die Anzahl von Schocks in der VT-1 Zone, die zur Abgabe programmiert ist.	NM	

	mit maximaler Energie			
GDT-00097	Zähler seit	Das Anfangsdatum, ab dem die Zählerwerte berechnet werden.	ST	
GDT-00108	Geräteimplantationsdatum	Implantationsdatum des Geräts <i>HINWEIS: Der Untersuchungswert ist entweder mit dem DT-Format konform oder es wird „K.A.“ angezeigt</i>	DT	
GDT-00119	RV-Stimulationsschwelle	Die minimale elektrische Stimulation (Schrittmacherleistungsimpuls), die erforderlich ist, um die rechtsventrikuläre (RV-) Depolarisierung fortlaufend hervorzurufen.	ST	
GDT-00190	<ul style="list-style-type: none"> Reverse Mode Switch RYTHMIQ™ 	Die alternative Art und Weise, auf die das Gerät Frequenz- und Rhythmusunterstützung bereitstellt.	ST	
GDT-00191	<ul style="list-style-type: none"> RA-Elektrodenkonfiguration Elektrodenkonfiguration (Stimulation/ Detektion) – RA 	Die Konfiguration der RA-Elektrode für Stimulation und Detektion.	ST	
GDT-00192	<ul style="list-style-type: none"> RV-Elektrodenkonfiguration Elektrodenkonfiguration (Stimulation/ Detektion) – RV 	Die Konfiguration der RV-Elektrode für Stimulation und Detektion.	ST	
GDT-00193	<ul style="list-style-type: none"> LV-Elektrodenkonfiguration Elektrodenkonfiguration (Stimulation/ Detektion) – LV 	Die Konfiguration der LV-Elektrode für Stimulation und Detektion.	ST	
GDT-00196	Minimale ATR-Dauer	Minimale Dauer der Vorhofftachykardie-Reaktion: Die kürzeste Dauer von Episoden einer Vorhofftachykardie-Reaktion seit dem „Zähler seit“-Datum.	ST	
GDT-00197	Maximale ATR-Dauer	Maximale Dauer der Vorhofftachykardie-Reaktion: Die längste Dauer von Episoden einer Vorhofftachykardie-Reaktion seit dem „Zähler seit“-Datum.	ST	
GDT-00200	Magnetfrequenz	Die erwartete Frequenz, wenn ein Magnet über dem Gerät platziert wird: ein Indikator für die verbleibende Batterienutzungsdauer.	NM	min ⁻¹
GDT-00201	Atemminutenvolumen	Dieser Parameter legt den AMV-Sensormodus für die frequenzadaptive Stimulation fest. Zulässige Werte sind „Ein“, „Aus“, „Passiv“ oder „Nur ATR“.	ST	
GDT-00207	Akzelerometer	Dieser Parameter legt den XL-Sensormodus für die frequenzadaptive Stimulation fest. Zulässige Werte sind „Ein“, „Aus“, „Passiv“ oder „Nur ATR“.	ST	
GDT-00212	MRT-Schutz-Modus	Zählt, wie oft der MRT-Schutz seit dem letzten Zurücksetzen des implantierten Geräts gestartet wurde.	NM	
GDT-00213	RA-Stimulationsschwelle	Die minimale elektrische Stimulation (Schrittmacherleistungsimpuls), die erforderlich ist, um die rechtsatriale (RA-)Depolarisierung fortlaufend hervorzurufen.	ST	

In der Gruppe OBR-1 verwendete OBX-Begriffe (Letzte Abfragedaten)

GDT-00216	<ul style="list-style-type: none"> Vent. Tachy-EGM-Speicherung Tachy-EGM-Speicherung 	Parameter zur Bestimmung, ob Tachy-EGM-Speicherung ein- oder ausgeschaltet ist. Nur Brady-Geräte.	ST	
GDT-00217	VF-Zone ATP	Gibt an, ob ATP-Therapie in der VF-Zone aktiviert ist.	ST	
GDT-00218	AV-Suchhysterese AV-Verzögerung	Die AV-Verzögerung, die angewendet werden soll, wenn sich das Gerät in einer AV-Suche befindet. Beachten Sie, dass dieser Wert für COGNIS-, TELIGEN-, PROGENY- und ab INGENIO-Geräten als gültig ausgegeben wird. GDT-00046 wird für ältere Geräte als gültig ausgegeben.	NM	ms
GDT-00219	LV-Stimulationsschwelle	Die minimale elektrische Stimulation (Schrittmacherleistungsimpuls), die erforderlich ist, um die linksventrikuläre (LV-)Depolarisierung fortlaufend hervorzurufen.	ST	
GDT-00220	Behandelte Episoden-Zähler seit Implantation	S-ICD-Gesamtanzahl der seit der Implantation des aktuellen Gerätes behandelten Episoden.	NM	
GDT-00221	Behandelte Episoden-Zähler seit letztem Reset	S-ICD-Gesamtanzahl der behandelten Episoden, die seit dem letzten „Zähler seit“-Datum ermittelt wurden.	NM	
GDT-00222	Unbehandelte Episoden-Zähler seit Implantation	S-ICD-Gesamtanzahl der seit der Implantation des aktuellen Gerätes unbehandelten Episoden.	NM	
GDT-00223	Unbehandelte Episoden-Zähler seit letztem Reset	S-ICD-Gesamtanzahl der unbehandelten Episoden, die seit dem letzten „Zähler seit“-Datum ermittelt wurden.	NM	
GDT-00224	Anzahl der abgegebenen Schocks seit Implantation	S-ICD-Gesamtanzahl der seit der Implantation des aktuellen Gerätes abgegebenen Schocks.	NM	
GDT-00225	Anzahl der abgegebenen Schocks seit letztem Reset	S-ICD-Gesamtanzahl der abgegebenen Schocks, die seit dem letzten „Zähler seit“-Datum ermittelt wurden.	NM	
GDT-00226	Verstärkungseinstellung	S-ICD S-EKG Verstärkungseinstellung.	ST	
GDT-00227	Detektionskonfiguration	S-ICD Detektionskonfigurationseinstellung.	ST	
GDT-00228	Post-Schock-Stimulation	S-ICD-Einstellung, ob Stimulation nach der Abgabe eines Schocks ein- oder ausgeschaltet sein soll.	ST	
GDT-00229	Schockpolarität	S-ICD Schockpolaritätswert.	ST	
GDT-00230	SMART-Charge-Dauer	S-ICD SMART-Charge-Dauer Wert.	NM	s
GDT-00231	SMART-Charge-Intervalle	S-ICD SMART-Charge-Intervallwert.	NM	
GDT-01000	Eingangs-EGM-Bericht	Der Eingangs-EGM-Bericht zur aktuellen Abfrage im PDF-Format.	ED	

IN DER GRUPPE OBR-2 VERWENDETE OBX-BEGRIFFE (IMPLANTATIONSDATEN)

Nicht jeder Begriff erscheint in allen Nachrichten

GDT-Code	Bezeichnung des Begriffs	Beschreibung	Datentyp	Einheit
GDT-00001	Ergebnisquelle	Die Ergebnisquelle identifiziert die Quelle der Daten (z. B. Implantation).	ST	
GDT-00002	Gerätehersteller	Firmenname des Geräteherstellers.	ST	
GDT-00003	Gerätetyp	Der Typ des Geräts.	ST	
GDT-00004	Aggregatname	Der Name, der einem Gerät vom Hersteller gegeben wird.	ST	
GDT-00005	Gerätemodellname	Der Modellname des Geräts.	ST	
GDT-00006	Gerätemodellnummer	Die Modellnummer des Geräts.	ST	
GDT-00007	Aggregat Seriennummer	Die Seriennummer des Geräts	ST	
GDT-00098	RA-Intrinsische Amplitude	Rechtsatriale intrinsische Amplitude (P-Welle), die während eines intrinsischen Amplitudentests gemessen wird.	ST	mV
GDT-00099	RA- Stimulationsimpe- danz	Rechtsatriale Elektrodenimpedanz, die während eines Elektrodenimpedanztests gemessen wird.	ST	Ohm
GDT-00100	RA- Stimulationsschwelle	Die minimale elektrische Stimulation (Schrittmacherleistungsimpuls), die erforderlich ist, um die rechtsatriale Depolarisierung fortlaufend hervorzurufen.	ST	
GDT-00101	RV-Intrinsische Amplitude	Rechtsventrikuläre intrinsische Amplitude (R-Welle), die während eines intrinsischen Amplitudentests gemessen wird.	ST	mV
GDT-00102	RV-Stim. Impedanz	Rechtsventrikuläre Elektrodenimpedanz, die während eines Elektrodenimpedanztests gemessen wird.	ST	Ohm
GDT-00103	RV- Stimulationsschwelle	Die minimale elektrische Stimulation (Schrittmacherleistungsimpuls), die erforderlich ist, um die rechtsventrikuläre Depolarisierung fortlaufend hervorzurufen.	ST	
GDT-00104	LV-intrinsische Amplitude	Linksventrikuläre intrinsische Amplitude (R-Welle), die während eines intrinsischen Amplitudentests gemessen wird.	ST	mV
GDT-00105	LV-Stim. Impedanz	Linksventrikuläre Elektrodenimpedanz, die während eines Elektrodenimpedanztests gemessen wird.	ST	Ohm
GDT-00106	LV- Stimulationsschwelle	Die minimale elektrische Stimulation (Schrittmacherleistungsimpuls), die erforderlich ist, um die linksventrikuläre Depolarisierung fortlaufend hervorzurufen.	ST	
GDT-00107	Schock-Impedanz	Letzte abgegebene ventrikuläre Schockelektrodenimpedanz: Die Schock-Impedanz des letzten abgegebenen ventrikulären Schocks.	ST	Ohm
GDT-00108	Geräteimplantations- datum	Implantationsdatum des Geräts <i>HINWEIS: Der Untersuchungswert ist entweder mit dem DT-Format konform oder es wird „K.A.“ angezeigt.</i>	DT	

IN DER GRUPPE OBR-3 VERWENDETE OBX-BEGRIFFE (LETZTER ELEKTRODENTEST IN DER PRAXIS)

Nicht jeder Begriff erscheint in allen Nachrichten

GDT-Code	Bezeichnung des Begriffs	Beschreibung	Datentyp	Einheit
GDT-00001	Ergebnisquelle	Die Ergebnisquelle identifiziert die Quelle der Daten (z. B. Elektrodentest: In der Praxis).	ST	
GDT-00002	Gerätehersteller	Firmenname des Geräteherstellers.	ST	
GDT-00003	Gerätetyp	Der Typ des Geräts.	ST	
GDT-00004	Aggregatname	Der Name, der einem Gerät vom Hersteller gegeben wird.	ST	
GDT-00005	Gerätemodellname	Der Modellname des Geräts.	ST	
GDT-00006	Gerätemodellnummer	Die Modellnummer des Geräts.	ST	
GDT-00007	Aggregat Seriennummer	Die Seriennummer des Geräts.	ST	
GDT-00108	Geräteimplantationsdatum	Implantationsdatum des Geräts <i>HINWEIS: Der Untersuchungswert ist entweder mit dem DT-Format konform oder es wird „N/R“ angezeigt.</i>	DT	
GDT-00109	RA-Intrinsische Amplitude	Rechtsatriale intrinsische Amplitude (P-Welle), die während eines intrinsischen Amplitudentests gemessen wird.	ST	mV
GDT-00110	RA-Stimulationsimpedanz	Rechtsatriale Elektrodenimpedanz, die während eines Elektrodenimpedanztests gemessen wird.	ST	Ohm
GDT-00111	RA-Stimulationsschwelle	Die minimale elektrische Stimulation (Schrittmacherleistungsimpuls), die erforderlich ist, um die rechtsatriale Depolarisierung fortlaufend hervorzurufen.	ST	
GDT-00112	RV-Intrinsische Amplitude	Rechtsventrikuläre intrinsische Amplitude (R-Welle), die während eines intrinsischen Amplitudentests gemessen wird.	ST	mV
GDT-00113	RV-Stim. Impedanz	Rechtsventrikuläre Elektrodenimpedanz, die während eines Elektrodenimpedanztests gemessen wird.	ST	Ohm
GDT-00114	RV-Stimulationsschwelle	Die minimale elektrische Stimulation (Schrittmacherleistungsimpuls), die erforderlich ist, um die rechtsventrikuläre Depolarisierung fortlaufend hervorzurufen.	ST	
GDT-00115	LV-intrinsische Amplitude	Linksventrikuläre intrinsische Amplitude (R-Welle), die während eines intrinsischen Amplitudentests gemessen wird.	ST	mV
GDT-00116	LV-Stim. Impedanz	Linksventrikuläre Elektrodenimpedanz, die während eines Elektrodenimpedanztests gemessen wird.	ST	Ohm
GDT-00117	LV-Stimulationsschwelle	Die minimale elektrische Stimulation (Schrittmacherleistungsimpuls), die erforderlich ist, um die linksventrikuläre Depolarisierung fortlaufend hervorzurufen.	ST	
GDT-00118	Schock-Impedanz	Letzte abgegebene ventrikuläre Schockelektrodenimpedanz: Die Schock-Impedanz des letzten abgegebenen ventrikulären Schocks.	ST	Ohm

**IN DER GRUPPE OBR-4 VERWENDETE OBX-BEGRIFFE
(ELEKTRODENINFORMATIONEN)***Nicht jeder Begriff erscheint in allen Nachrichten*

GDT-Code	Bezeichnung des Begriffs (Siehe Hinweis a.)	Beschreibung	Datentyp	Einheit
GDT-00120	Elektrode 1: Datum der Implantation	Das Implantationsdatum dieser Elektrode.	DT	
GDT-00121	Elektrode 1: Hersteller	Der Hersteller dieser Elektrode.	ST	
GDT-00122	Elektrode 1: Modellnummer	Das Modell dieser Elektrode.	ST	
GDT-00123	Elektrode 1: Seriennummer	Die Seriennummer dieser Elektrode.	ST	
GDT-00124	Elektrode 1: Polarität	Die Polarität dieser Elektrode.	ST	
GDT-00125	Elektrode 1: Position	Die Position dieser Elektrode.	ST	
GDT-00126	Elektrode 1: Status	Der Status dieser Elektrode.	ST	
GDT-00130	Elektrode 2: Datum der Implantation	Das Implantationsdatum dieser Elektrode.	DT	
GDT-00131	Elektrode 2: Hersteller	Der Hersteller dieser Elektrode.	ST	
GDT-00132	Elektrode 2: Modellnummer	Das Modell dieser Elektrode.	ST	
GDT-00133	Elektrode 2: Seriennummer	Die Seriennummer dieser Elektrode.	ST	
GDT-00134	Elektrode 2: Polarität	Die Polarität dieser Elektrode.	ST	
GDT-00135	Elektrode 2: Position	Die Position dieser Elektrode.	ST	
GDT-00136	Elektrode 2: Status	Der Status dieser Elektrode.	ST	
GDT-00140	Elektrode 3: Datum der Implantation	Das Implantationsdatum dieser Elektrode.	DT	
GDT-00141	Elektrode 3: Hersteller	Der Hersteller dieser Elektrode.	ST	
GDT-00142	Elektrode 3: Modellnummer	Das Modell dieser Elektrode.	ST	
GDT-00143	Elektrode 3: Seriennummer	Die Seriennummer dieser Elektrode.	ST	
GDT-00144	Elektrode 3: Polarität	Die Polarität dieser Elektrode.	ST	
GDT-00145	Elektrode 3: Position	Die Position dieser Elektrode.	ST	
GDT-00146	Elektrode 3: Status	Der Status dieser Elektrode.	ST	
GDT-00150	Elektrode 4: Datum der Implantation	Das Implantationsdatum dieser Elektrode.	DT	
GDT-00151	Elektrode 4: Hersteller	Der Hersteller dieser Elektrode.	ST	
GDT-00152	Elektrode 4: Modellnummer	Das Modell dieser Elektrode.	ST	
GDT-00153	Elektrode 4: Seriennummer	Die Seriennummer dieser Elektrode.	ST	
GDT-00154	Elektrode 4: Polarität	Die Polarität dieser Elektrode.	ST	
GDT-00155	Elektrode 4: Position	Die Position dieser Elektrode.	ST	
GDT-00156	Elektrode 4: Status	Der Status dieser Elektrode.	ST	
GDT-00160	Elektrode 5: Datum der Implantation	Das Implantationsdatum dieser Elektrode.	DT	

GDT-00161	Elektrode 5: Hersteller	Der Hersteller dieser Elektrode.	ST	
GDT-00162	Elektrode 5: Modellnummer	Das Modell dieser Elektrode.	ST	
GDT-00163	Elektrode 5: Seriennummer	Die Seriennummer dieser Elektrode.	ST	
GDT-00164	Elektrode 5: Polarität	Die Polarität dieser Elektrode.	ST	
GDT-00165	Elektrode 5: Position	Die Position dieser Elektrode.	ST	
GDT-00166	Elektrode 5: Status	Der Status dieser Elektrode.	ST	
GDT-00170	Elektrode 6: Datum der Implantation	Das Implantationsdatum dieser Elektrode.	DT	
GDT-00171	Elektrode 6: Hersteller	Der Hersteller dieser Elektrode.	ST	
GDT-00172	Elektrode 6: Modellnummer	Das Modell dieser Elektrode.	ST	
GDT-00173	Elektrode 6: Seriennummer	Die Seriennummer dieser Elektrode.	ST	
GDT-00174	Elektrode 6: Polarität	Die Polarität dieser Elektrode.	ST	
GDT-00175	Elektrode 6: Position	Die Position dieser Elektrode.	ST	
GDT-00176	Elektrode 6: Status	Der Status dieser Elektrode.	ST	
GDT-00180	Elektrode 7: Datum der Implantation	Das Implantationsdatum dieser Elektrode.	DT	
GDT-00181	Elektrode 7: Hersteller	Der Hersteller dieser Elektrode.	ST	
GDT-00182	Elektrode 7: Modellnummer	Das Modell dieser Elektrode.	ST	
GDT-00183	Elektrode 7: Seriennummer	Die Seriennummer dieser Elektrode.	ST	
GDT-00184	Elektrode 7: Polarität	Die Polarität dieser Elektrode.	ST	
GDT-00185	Elektrode 7: Position	Die Position dieser Elektrode.	ST	
GDT-00186	Elektrode 7: Status	Der Status dieser Elektrode.	ST	

a. Abhängig von der Systemversion kann Elektrode.x angezeigt werden oder nicht.

Outdated version. Do not use.
Version überholt. Nicht verwenden.
Version obsolète. Ne pas utiliser.
Versión obsoleta. No utilizar.
Versione obsoleta. Non utilizzare.
Verouderde versie. Niet gebruiken.
Föråldrad version. Använd ej.
Παλιά έκδοση. Μην την χρησιμοποιείτε.
Versão obsoleta. Não utilize.
Forældet version. Må ikke anvendes.
Zastaralá verze. Nepoužívat.
Utdatert versjon. Skal ikke brukes.
Zastaraná verzia. Nepoužívať.
Elavult verzió. Ne használja!
Wersja nieaktualna. Nie używać.

HL7-BEISPIELDATEI

KAPITEL 8

Dieses Kapitel enthält die folgenden Themen:

- “HL7-Beispieldatei” auf Seite 8-2
- “Beispiel-Nachricht 1 — S-ICD-Gerät” auf Seite 8-2
- “Beispiel-Nachricht 2 — Andere Geräte (Nicht S-ICD)” auf Seite 8-3

Outdated version. Do not use.
Version überholt. Nicht verwenden.
Version obsolete. Ne pas utiliser.
Versión obsoleta. No utilizar.
Versione obsoleta. Non utilizzare.
Verouderde versie. Niet gebruiken.
Föråldrad version. Använd ej.
Παλιά έκδοση. Μην την χρησιμοποιείτε.
Versão obsoleta. Não utilize.
Forældet version. Må ikke anvendes.
Zastaralá verzia. Nepoužívať.
Utdatert versjon. Skal ikke brukes.
Zastaraná verzia. Nepoužívať.
Elavult verzió. Ne használja!
Wersja nieaktualna. Nie używać.

HL7-BEISPIELDATEI

Die folgenden HL7-Beispieldateien zeigen, wie eine LATITUDE-HL7-Nachricht aussehen kann. Diese sind nur zwei Beispiele von vielen möglichen Formen. Die Daten in den Beispielnachrichten sind hypothetisch, und es sind nicht alle LATITUDE-HL7-Begriffe dargestellt.

BEISPIEL-NACHRICHT 1 — S-ICD-GERÄT

```
MSH|^~\&|LATITUDE|BOSTON SCIENTIFIC||TestClinic|201502111522+0000||ORU^R01^  
ORU_R01|0|P|2.6|||UNICODE UTF-8|de^German||IHE_PCD_009^IHE_PCD^1.3.6.1.4.1.19376  
.1.6.1.9.1^ISOPID|1||model:A209/serial:668155243^^^BSX^U~testPatientId^^^TestClinic^  
U||testLastName^testName^^^^^^I~testAuxLName^testAuxFName^^^^^^P||19680215|UPV1|1|  
RPV2|||||||||||||||||||||TestDeviceGroup^^^1OBR|1||1000000017|754054^MDC_IDC_ENUM  
_SESS_TYPE_RemotePatientInitiated^MDC||201501260412-0600|||||||||||||||||FNTE|1||  
Wahrnehmungskonfiguration: Alternativ\|br\Verstärkungseinstellung: 1x\|br\Post-  
Schock-Stimulation: ONNTE|2||Jan 26, 2015 11:07 EST - Alarmstufe Gelb - Unbehandelte  
Episode.NTE|3||Jan 26, 2015 11:04 EST - Alarmstufe Gelb - Schocktherapie abgegeben,  
um Arrhythmie zu beenden (behandelte Episode).  
OBX|1|CWE|720897^MDC_IDC_DEV_TYPE^MDC||753666^MDC_IDC_ENUM_DEV_TYPE_ICD^MDC|||||F  
OBX|2|ST|720898^MDC_IDC_DEV_MODEL^MDC||A209|||||F  
OBX|3|ST|720899^MDC_IDC_DEV_SERIAL^MDC||668155243|||||F  
OBX|4|CWE|720900^MDC_IDC_DEV_MFG^MDC||753732^MDC_IDC_ENUM_MFG_BSX^MDC|||||F  
OBX|5|DTM|720901^MDC_IDC_DEV_IMPLANT_DT^MDC||20150126|||||F  
OBX|6|DTM|721025^MDC_IDC_SESS_DTM^MDC||201501260412-0600|||||F  
OBX|7|CWE|721026^MDC_IDC_SESS_TYPE^MDC||754054^MDC_IDC_ENUM_SESS_TYPE  
_RemotePatientInitiated^MDC|||||F  
OBX|8|ST|721033^MDC_IDC_SESS_CLINIC_NAME^MDC||TestClinic|||||F  
OBX|9|DTM|721216^MDC_IDC_MSMT_BATTERY_DTM^MDC||201501260412-0600|||||F  
OBX|10|CWE|721280^MDC_IDC_MSMT_BATTERY_STATUS^MDC||754113^MDC_IDC_ENUM_BATTERY_STATUS  
_BOS^MDC|||||F  
OBX|11|NM|721536^MDC_IDC_MSMT_BATTERY_REMAINING_PERCENTAGE^MDC||98|||||F  
OBX|12|ST|739536^MDC_IDC_EPISODE_ID^MDC||1002|||||F  
OBX|13|DTM|739552^MDC_IDC_EPISODE_DTM^MDC||1|201501261107-0500|||||F  
OBX|14|CWE|739568^MDC_IDC_EPISODE_TYPE^MDC||1|754888^MDC_IDC_ENUM_EPISODE_TYPE_Epis  
_Other^MDC|||||F  
OBX|15|CWE|739600^MDC_IDC_EPISODE_VENDOR_TYPE^MDC||1|||||F  
OBX|16|CWE|739584^MDC_IDC_EPISODE_TYPE_INDUCED^MDC||1|755330^MDC_IDC_ENUM_EPISODE_TYPE  
_INDUCED_NO^MDC|||||F  
OBX|17|NM|739712^MDC_IDC_EPISODE_DURATION^MDC||1|39|s|||||F  
OBX|18|ST|739680^MDC_IDC_EPISODE_DETECTION_THERAPY_DETAILS^MDC||1|Unbehandelt Episode  
|||||F  
OBX|19|ST|739536^MDC_IDC_EPISODE_ID^MDC||2|001|||||F  
OBX|20|DTM|739552^MDC_IDC_EPISODE_DTM^MDC||2|201501261104-0500|||||F  
OBX|21|CWE|739568^MDC_IDC_EPISODE_TYPE^MDC||2|754881^MDC_IDC_ENUM_EPISODE_TYPE_Epis  
_VF^MDC|||||F  
OBX|22|CWE|739600^MDC_IDC_EPISODE_VENDOR_TYPE^MDC||2|771073^MDC_IDC_ENUM_EPISODE_VENDOR  
_TYPE_BSX-Epis_VF^MDC|||||F  
OBX|23|CWE|739584^MDC_IDC_EPISODE_TYPE_INDUCED^MDC||2|755330^MDC_IDC_ENUM_EPISODE_TYPE  
_INDUCED_NO^MDC|||||F  
OBX|24|NM|739712^MDC_IDC_EPISODE_DURATION^MDC||2|43|s|||||F  
OBX|25|ST|739680^MDC_IDC_EPISODE_DETECTION_THERAPY_DETAILS^MDC||2|Behandelt Episode:  
Schock-Impedanz=77 Ohms, Letzte Schockpolarität=REV|||||F  
OBX|26|CWE|731520^MDC_IDC_SET_TACHYTHERAPY_VSTAT^MDC||754817^MDC_IDC_ENUM_THERAPY  
_STATUS_On^MDC|||||F  
OBX|27|CWE|731648^MDC_IDC_SET_ZONE_TYPE^MDC||1|754945^MDC_IDC_ENUM_ZONE_TYPE_Zone  
_VF^MDC|||||F  
OBX|28|CWE|731712^MDC_IDC_SET_ZONE_VENDOR_TYPE^MDC||1|771139^MDC_IDC_ENUM_ZONE_VENDOR  
_TYPE_BSX-Zone_VF^MDC|||||F  
OBX|29|CWE|731776^MDC_IDC_SET_ZONE_STATUS^MDC||1|755009^MDC_IDC_ENUM_ZONE_STATUS
```

```

_Active^MDC|||||F
OBX|30|NM|731840^MDC_IDC_SET_ZONE_DETECTION_INTERVAL^MDC|1|273|ms|||||FOBX|31|NM|
732225^MDC_IDC_SET_ZONE_SHOCK_ENERGY_1^MDC|1|80|J|||||F
OBX|32|CWE|731648^MDC_IDC_SET_ZONE_TYPE^MDC|1|754946^MDC_IDC_ENUM_ZONE_TYPE_Zone
_VT^MDC|||||F
OBX|33|CWE|731712^MDC_IDC_SET_ZONE_VENDOR_TYPE^MDC|2|771137^MDC_IDC_ENUM_ZONE_VENDOR
_TYPE_BSX-Zone_VT^MDC|||||F
OBX|34|CWE|731776^MDC_IDC_SET_ZONE_STATUS^MDC|2|755009^MDC_IDC_ENUM_ZONE_STATUS
_Active^MDC|||||F
OBX|35|NM|731840^MDC_IDC_SET_ZONE_DETECTION_INTERVAL^MDC|2|300|ms|||||F
OBX|36|ST|732032^MDC_IDC_SET_ZONE_DETECTION_DETAILS^MDC|2|SMART-Charge: 204,69 s
(133 Intervalle)|||||F
OBX|37|NM|732225^MDC_IDC_SET_ZONE_SHOCK_ENERGY_1^MDC|2|80|J|||||F
OBX|38|CWE|737952^MDC_IDC_STAT_EPISODE_TYPE^MDC|1|754888^MDC_IDC_ENUM_EPISODE_TYPE
_Epis_Other^MDC|||||F
OBX|39|CWE|737984^MDC_IDC_STAT_EPISODE_VENDOR_TYPE^MDC|1|||||F
OBX|40|NM|738000^MDC_IDC_STAT_EPISODE_RECENT_COUNT^MDC|1|1|||||F
OBX|41|DTM|738017^MDC_IDC_STAT_EPISODE_RECENT_COUNT_DTM_START^MDC|1|20150126|||||F
OBX|42|DTM|738018^MDC_IDC_STAT_EPISODE_RECENT_COUNT_DTM_END^MDC|1|20150126|||||F
OBX|43|NM|738032^MDC_IDC_STAT_EPISODE_TOTAL_COUNT^MDC|1|1|||||F
OBX|44|DTM|738049^MDC_IDC_STAT_EPISODE_TOTAL_COUNT_DTM_START^MDC|1|20150126|||||F
OBX|45|DTM|738050^MDC_IDC_STAT_EPISODE_TOTAL_COUNT_DTM_END^MDC|1|20150126|||||F
OBX|46|CWE|737952^MDC_IDC_STAT_EPISODE_TYPE^MDC|2|754881^MDC_IDC_ENUM_EPISODE_TYPE
_Epis_VF^MDC|||||F
OBX|47|CWE|737984^MDC_IDC_STAT_EPISODE_VENDOR_TYPE^MDC|2|771073^MDC_IDC_ENUM_EPISODE
_VENDOR_TYPE_BSX-Epis_VF^MDC|||||F
OBX|48|NM|738000^MDC_IDC_STAT_EPISODE_RECENT_COUNT^MDC|2|1|||||F
OBX|49|DTM|738017^MDC_IDC_STAT_EPISODE_RECENT_COUNT_DTM_START^MDC|2|20150126|||||F
OBX|50|DTM|738018^MDC_IDC_STAT_EPISODE_RECENT_COUNT_DTM_END^MDC|2|20150126|||||F
OBX|51|NM|738032^MDC_IDC_STAT_EPISODE_TOTAL_COUNT^MDC|2|1|||||F
OBX|52|DTM|738049^MDC_IDC_STAT_EPISODE_TOTAL_COUNT_DTM_START^MDC|2|20150126|||||F
OBX|53|DTM|738050^MDC_IDC_STAT_EPISODE_TOTAL_COUNT_DTM_END^MDC|2|20150126|||||F
OBX|54|DTM|737937^MDC_IDC_STAT_TACHYTHERAPY_RECENT_DTM_START^MDC|1|20150126|||||F
OBX|55|DTM|737938^MDC_IDC_STAT_TACHYTHERAPY_RECENT_DTM_END^MDC|1|20150126|||||F
OBX|56|NM|737824^MDC_IDC_STAT_TACHYTHERAPY_SHOCKS_DELIVERED_RECENT^MDC|1|1|||||F
OBX|57|DTM|737921^MDC_IDC_STAT_TACHYTHERAPY_TOTAL_DTM_START^MDC|1|20150126|||||F
OBX|58|DTM|737922^MDC_IDC_STAT_TACHYTHERAPY_TOTAL_DTM_END^MDC|1|20150126|||||F
OBX|59|NM|737840^MDC_IDC_STAT_TACHYTHERAPY_SHOCKS_DELIVERED_TOTAL^MDC|1|||||F
OBX|60|ST|720961^MDC_IDC_LEAD_MODEL^MDC|1|1030|||||F
OBX|61|ST|720962^MDC_IDC_LEAD_SERIAL^MDC|1|A123456|||||F
OBX|62|CWE|720963^MDC_IDC_LEAD_MFG^MDC|1|753732^MDC_IDC_ENUM_MFG_BSX^MDC|||||F
OBX|63|CWE|720966^MDC_IDC_LEAD_LOCATION^MDC|1|753861^MDC_IDC_ENUM_LEAD_LOCATION
_CHAMBER_OTHER^MDC|1|||||F
OBX|64|CWE|720967^MDC_IDC_LEAD_LOCATION_DETAIL_1^MDC|1|753944^MDC_IDC_ENUM_LEAD
_LOCATION_DETAIL_Subcutaneous^MDC|||||F
OBX|65|ED|18750-0^Cardiac Electrophysiology Report^LN^^Gesamtbericht||Application^PDF
^^Base64^{kodierte PDF hier}|||||F
|||201501260412-0600OBX|66|ED|18750-0^Cardiac Electrophysiology Report^LN^^Bericht
Arrhythmie-Logbuch||
Application^PDF^^Base64^{kodierte PDF hier}|||||F
|||201501260412-0600OBX|67|ED|18750-0^Cardiac Electrophysiology Report^LN^^Eingangs-S
-EKG-Bericht||Application^PDF^^Base64^{kodierte PDF hier}|||||F
|||201501260412-0600
    
```

BEISPIEL-NACHRICHT 2 — ANDERE GERÄTE (NICHT S-ICD)

```

MSH|^~\&|LATITUDE|BOSTON SCIENTIFIC||Germany Clinic|20100513160149+0000||ORU^R01|
2500034|P|2.3.1||NE|||UNICODE|DE^Deutsch^ISO639|
PID|1|7066375|7066375~Apr7213||Prado^Ardelia_2^^|19490329|F|||^^^00AL7|||||
    
```

```

NTE|1|LATITUDE|\br\Meine Warnungen\br\-----\br\
05 Mai 2010-Niedrige linksventrikuläre intrinsische Amplitude detektiert am
05 Mai 2010. Follow-up in der Praxis einplanen, um die LV Stimulationselektrode
zu überprüfen.\br|NTE|2|LATITUDE|Aus Prüfliste in LATITUDE entlassen von Terrill,
George_GER (Geg9223) am 13 Mai 2010 in 18:01 CEST|NTE|3|LATITUDE|\br\Ereignisse
seit letz. Nachs.(06 Jan 2010)\br\-----\br\|
PV1|1|R||||Geg9223^Terrill^George_GER^^|
OBR|1||2500118|BostonScientific-LetzteAbfrage^Letzte
Abfrage||20100505091849+0000|20100505091849+0000|||||Geg9223||DR|||20100505091849
+0000|||F|
OBX|1|ST|GDT-00001^Ergebnisquelle^GDT-LATITUDE||Fernabfrage|||||F||
OBX|2|ST|GDT-00002^Aggregathersteller^GDT-LATITUDE||BOSTON SCIENTIFIC|||||F||
OBX|3|ST|GDT-00003^Aggregat-Typ^GDT-LATITUDE||CRT-D|||||F||
OBX|4|ST|GDT-00004^Aggregatname^GDT-LATITUDE|||||F||
OBX|5|ST|GDT-00005^Modellname des Implantats^GDT-LATITUDE||COGNIS 100-D|||||F||
OBX|6|ST|GDT-00006^Modellnummer des Aggregats^GDT-LATITUDE||P107|||||F||
OBX|7|ST|GDT-00007^Aggregat Seriennummer^GDT-LATITUDE||715271|||||F||
OBX|8|DT|GDT-00108^Implantationsdatum des Aggregats^GDT-LATITUDE||20090505|||||F||
OBX|9|NM|GDT-00008^Batterieanzeige^GDT-LATITUDE||0%|||||F||
OBX|10|ST|GDT-00009^Batteriestatus^GDT-LATITUDE||OK Ungefähre Zeit bis zur
Explantation: K.A.|||||F||
OBX|11|NM|GDT-00011^Ladezeit^GDT-LATITUDE||K.A.s|||||F||
OBX|12|DT|GDT-00012^Letzte Kondensator Reformierung^GDT-LATITUDE||K.A.|||||F||
OBX|13|ST|GDT-00097^Zähler seit^GDT-LATITUDE||20100106|||||F||
OBX|14|ST|GDT-00013^VF-Episoden^GDT-LATITUDE||0|||||F||
OBX|15|ST|GDT-00014^VT Episoden^GDT-LATITUDE||0|||||F||
OBX|16|ST|GDT-00015^VT-1-Episoden^GDT-LATITUDE||0|||||F||
OBX|17|ST|GDT-00016^NSVT-Episoden^GDT-LATITUDE||0|||||F||
OBX|18|NM|GDT-00020^Atrial Prozent stimuliert^GDT-LATITUDE||0%|||||F||
OBX|19|NM|GDT-00021^RV Prozent stimuliert^GDT-LATITUDE||0%|||||F||
OBX|20|NM|GDT-00022^LV Prozent stimuliert^GDT-LATITUDE||0%|||||F||
OBX|21|ST|GDT-00023^Rechtsatrialer Elektrodenstatus^GDT-LATITUDE||OK|||||F||
OBX|22|ST|GDT-00024^RA-Intrinsische Amplitude^GDT-LATITUDE||mV|||||F||
OBX|23|ST|GDT-00025^RA-Stimulationsimpedanz^GDT-LATITUDE||Ohm|||||F||
OBX|24|ST|GDT-00026^Rechtsventrikulärer Elektrodenstatus^GDT-LATITUDE||OK|||||F||
OBX|25|ST|GDT-00027^RV Intrinsische Amplitude^GDT-LATITUDE||mV|||||F||
OBX|26|ST|GDT-00028^RV-Stim. Impedanz^GDT-LATITUDE||Ohm|||||F||
OBX|27|ST|GDT-00029^LV-Elektrodenstatus^GDT-LATITUDE||OK|||||F||
OBX|28|ST|GDT-00030^LV intrinsische Amplitude^GDT-LATITUDE||mV|||||F||
OBX|29|ST|GDT-00031^LV-Stim. Impedanz^GDT-LATITUDE||Ohm|||||F||
OBX|30|ST|GDT-00032^Schockvektorstatus^GDT-LATITUDE||OK|||||F||
OBX|31|ST|GDT-00033^Schock-Impedanz^GDT-LATITUDE||Ohm|||||F||
OBX|32|ST|GDT-00034^V-Tachy Modus^GDT-LATITUDE||Überw.+Therapie|||||F||
OBX|33|ST|GDT-00036^Brady-Modus^GDT-LATITUDE||DDDR|||||F||
OBX|34|NM|GDT-00037^Untere Grenzfrequenz^GDT-LATITUDE||100|min-1|||||F||
OBX|35|NM|GDT-00038^Max. Trackingfrequenz^GDT-LATITUDE||110|min-1|||||F||
OBX|36|NM|GDT-00039^Maximale Sensorfrequenz^GDT-LATITUDE||110|min-1|||||F||
OBX|37|ST|GDT-00040^Empfindlichkeit RA^GDT-LATITUDE||AGC 0,25|mV|||||F||
OBX|38|ST|GDT-00041^Empfindlichkeit RV^GDT-LATITUDE||AGC 0,6|mV|||||F||
OBX|39|ST|GDT-00042^Empfindlichkeit LV^GDT-LATITUDE||AGC 1,0|mV|||||F||
OBX|40|ST|GDT-00043^AV-Verzögerung bei Stimulation^GDT-LATITUDE||30 - 300|ms|||||F||
OBX|41|ST|GDT-00044^AV-Korrektur nach Wahrnehmung^GDT-LATITUDE||-60|ms|||||F||
OBX|42|ST|GDT-00047^A-Refraktärzeit (PVARP)^GDT-LATITUDE||150 - 450|ms|||||F||
OBX|43|ST|GDT-00048^RV Refraktärzeit (RVRE)^GDT-LATITUDE||150 - 450|ms|||||F||
OBX|44|NM|GDT-00049^LV Refraktärzeit (LVRE)^GDT-LATITUDE||250|ms|||||F||
OBX|45|NM|GDT-00050^LV Schutzint.^GDT-LATITUDE||400|ms|||||F||
OBX|46|ST|GDT-00051^Ventr. Stimations-Kammer^GDT-LATITUDE||BiV|||||F||
OBX|47|NM|GDT-00052^Ventrikuläre Stimationskammer LV-Korrektur
^GDT-LATITUDE||0|ms|||||F||

```

```





OBX|48|ST|GDT-00053^Stimulationsleistung - RA^GDT-LATITUDE||3,5 V @ 0,4 ms|||||F||
OBX|49|ST|GDT-00054^Stimulationsleistung - RV^GDT-LATITUDE||3,5 V @ 0,4 ms|||||F||
OBX|50|ST|GDT-00055^Stimulationsleistung - LV^GDT-LATITUDE||3,5 V @ 0,4 ms|||||F||
OBX|51|ST|GDT-00191^Elektrodenkonfiguration (Stimulation/Detektion) - RA
^GDT-LATITUDE||Bipolar|||||F||
OBX|52|ST|GDT-00192^Elektrodenkonfiguration (Stimulation/Detektion) - RV
^GDT-LATITUDE||Bipolar|||||F||
OBX|53|ST|GDT-00193^Elektrodenkonfiguration (Stimulation/Detektion) - LV
^GDT-LATITUDE|||||||F||
OBX|54|ST|GDT-00056^ATR Rückfall-Modus^GDT-LATITUDE||DDI|||||F||
OBX|55|ST|GDT-00057^ATR Mode Switch Frequenz^GDT-LATITUDE||170|min-1|||||F||
OBX|56|NM|GDT-00074^VF-Zone^GDT-LATITUDE||180|min-1|||||F||
OBX|57|NM|GDT-00075^VF Schock 1 Energie^GDT-LATITUDE||41|J|||||F||
OBX|58|NM|GDT-00076^VF Schock 2 Energie^GDT-LATITUDE||41|J|||||F||
OBX|59|NM|GDT-00077^VF Max. Schockenergie^GDT-LATITUDE||41|J|||||F||
OBX|60|NM|GDT-00078^VF Anzahl der zusätzlichen Schocks^GDT-LATITUDE||6|||||F||
OBX|61|NM|GDT-00079^VT-Zone^GDT-LATITUDE||160|min-1|||||F||
OBX|62|ST|GDT-00080^VT-Zone ATP1 Typ^GDT-LATITUDE||Aus|||||F||
OBX|63|ST|GDT-00081^VT-Zone ATP1 Anzahl der Bursts^GDT-LATITUDE||Aus|||||F||
OBX|64|ST|GDT-00082^VT-Zone ATP2 Typ^GDT-LATITUDE||Aus|||||F||
OBX|65|ST|GDT-00083^VT-Zone ATP2 Anzahl der Bursts^GDT-LATITUDE||Aus|||||F||
OBX|66|ST|GDT-00084^VT Schock 1 Energie^GDT-LATITUDE||0,1|J|||||F||
OBX|67|ST|GDT-00085^VT Schock 2 Energie^GDT-LATITUDE||0,1|J|||||F||
OBX|68|ST|GDT-00086^VT Maximale Schockenergie^GDT-LATITUDE||41|J|||||F||
OBX|69|NM|GDT-00087^VT Anzahl der zusätzlichen Schocks mit maximaler Energie
^GDT-LATITUDE||4|||||F||
OBX|70|NM|GDT-00088^VT-1 Zone^GDT-LATITUDE||140|min-1|||||F||
OBX|71|ST|GDT-00089^VT-1 ATP1 Typ^GDT-LATITUDE||Aus|||||F||
OBX|72|ST|GDT-00090^VT-1 ATP1 Anzahl der Bursts^GDT-LATITUDE||Aus|||||F||
OBX|73|ST|GDT-00091^VT-1 ATP2 Typ^GDT-LATITUDE||Aus|||||F||
OBX|74|ST|GDT-00092^VT-1 ATP2 Anzahl der Bursts^GDT-LATITUDE||Aus|||||F||
OBX|75|ST|GDT-00093^VT-1 Schock 1 Energie^GDT-LATITUDE||0,1|J|||||F||
OBX|76|ST|GDT-00094^VT-1 Schock 2 Energie^GDT-LATITUDE||0,1|J|||||F||
OBX|77|ST|GDT-00095^VT-1 Max. Schockenergie^GDT-LATITUDE||41|J|||||F||
OBX|78|NM|GDT-00096^VT-1 Anzahl der zusätzlichen Schocks mit maximaler Energie
^GDT-LATITUDE||3|||||F||
OBR|2||2500118|BostonScientific-Implantation
^Implantation||20090505|20090505|||||Geg9223|DR||20090505||F||
OBX|1|ST|GDT-00001^Ergebnisquelle^GDT-LATITUDE||Implantation|||||F||
OBX|2|ST|GDT-00002^Aggregathersteller^GDT-LATITUDE||BOSTON SCIENTIFIC|||||F||
OBX|3|ST|GDT-00003^Aggregat-Typ^GDT-LATITUDE||CRT-D|||||F||
OBX|4|ST|GDT-00004^Aggregatname^GDT-LATITUDE|||||||F||
OBX|5|ST|GDT-00005^Modellname des Implantats^GDT-LATITUDE||COGNIS 100-D|||||F||
OBX|6|ST|GDT-00006^Modellnummer des Aggregats^GDT-LATITUDE||P107|||||F||
OBX|7|ST|GDT-00007^Aggregat_Seriennummer^GDT-LATITUDE||715271|||||F||
OBX|8|DT|GDT-00108^Implantationsdatum des Aggregats^GDT-LATITUDE||
20090505|||||F||
OBX|9|ST|GDT-00098^RA-Intrinsische Amplitude^GDT-LATITUDE||mV|||||F||
OBX|10|ST|GDT-00099^RA-Stimulationsimpedanz^GDT-LATITUDE||Ohm|||||F||
OBX|11|ST|GDT-00100^RA-Stimulationsschwelle^GDT-LATITUDE||V @ ms|||||F||
OBX|12|ST|GDT-00101^RV Intrinsische Amplitude^GDT-LATITUDE||mV|||||F||
OBX|13|ST|GDT-00102^RV-Stim. Impedanz^GDT-LATITUDE||Ohm|||||F||
OBX|14|ST|GDT-00103^RV Stimulationsreizschwelle^GDT-LATITUDE||V @ ms|||||F||
OBX|15|ST|GDT-00104^LV intrinsische Amplitude^GDT-LATITUDE||mV|||||F||
OBX|16|ST|GDT-00105^LV-Stim. Impedanz^GDT-LATITUDE||Ohm|||||F||
OBX|17|ST|GDT-00106^LV-Stimulationsschwelle^GDT-LATITUDE||V @ ms|||||F||
OBX|18|ST|GDT-00107^Schock-Impedanz^GDT-LATITUDE||Ohm|||||F||
OBR|3||2500118|Boston Scientific-LetztesMalInPraxis^
Elektrodentest: in der Praxis|||||||Geg9223|DR|||||F||
    
```

```
OBX|1|ST|GDT-00001^Ergebnisquelle^GDT-LATITUDE||Elektrodentest: in der Praxis|||||F||
OBX|2|ST|GDT-00002^Aggregathersteller^GDT-LATITUDE||BOSTON SCIENTIFIC|||||F||
OBX|3|ST|GDT-00003^Aggregat-Typ^GDT-LATITUDE||CRT-D|||||F||
OBX|4|ST|GDT-00004^Aggregatname^GDT-LATITUDE|||||||F||
OBX|5|ST|GDT-00005^Modellname des Implantats^GDT-LATITUDE||COGNIS 100-D|||||F||
OBX|6|ST|GDT-00006^Modellnummer des Aggregats^GDT-LATITUDE||P107|||||F||
OBX|7|ST|GDT-00007^Aggregat Seriennummer^GDT-LATITUDE||715271|||||F||
OBX|8|DT|GDT-00108^Implantationsdatum des Aggregats^GDT-LATITUDE||20090505|||||F||
OBX|9|ST|GDT-00109^RA-Intrinsische Amplitude^GDT-LATITUDE||<0,1mV|||||F||||
OBX|10|ST|GDT-00110^RA-Stimulationsimpedanz^GDT-LATITUDE||<200|Ohm|||||F||||
OBX|11|ST|GDT-00111^RA-Stimulationsschwelle^GDT-LATITUDE||K.A|||||F||||
OBX|12|ST|GDT-00112^RV Intrinsische Amplitude^GDT-LATITUDE||<0,1mV|||||F||||
OBX|13|ST|GDT-00113^RV-Stim. Impedanz^GDT-LATITUDE||<200|Ohm|||||F||||
OBX|14|ST|GDT-00114^RV Stimulationsreizschwelle^GDT-LATITUDE||K.A|||||F||||
OBX|15|ST|GDT-00115^LV intrinsische Amplitude^GDT-LATITUDE||<0,1mV|||||F||||
OBX|16|ST|GDT-00116^LV-Stim. Impedanz^GDT-LATITUDE||<200|Ohm|||||F||||
OBX|17|ST|GDT-00117^LV-Stimulationsschwelle^GDT-LATITUDE||K.A|||||F||||
OBX|18|ST|GDT-00118^Schock-Impedanz^GDT-LATITUDE||<20|Ohm|||||F||||
OBR|4||2500118|BostonScientific-Elektroden^Informationen zur
Elektrode||20100513160149+0000|20100513160149+0000|||||Geg9223||
DR||||20100513160149+0000|||F|
ZU1|https://www.was1.bostonscientific.com:558/access/physician/
patientDetails?id=7066375|
ZU2|Aggregat Zusammenfassung Version 2|
```

Outdated version. Do not utilize.
Version überholt. Nie benutzen.
Version obsolete. Ne pas utiliser.
Version obsoleta. Non utilizzare.
Versione obsoleta. Non utilizar.
Verouderde versie. Niet gebruiken.
Föråldrad version. Använd ej.
Παλιά έκδοση. Μην την χρησιμοποιείτε.
Versão obsoleta. Não utilize.
Forældet version. Må ikke anvendes.
Zastaralá verze. Nepoužívat.
Utdatert versjon. Skal ikke brukes.
Zastaraná verzia. Nepoužívať.
Elavult verzió. Ne használja!
Wersja nieaktualna. Nie używać.

VERWENDETE SYMBOLE AUF ETIKETTEN

ANHANG A

Symbol	Bedeutung
	Hersteller
	Autorisierter Repräsentant in der Europäischen Gemeinschaft
	Adresse des australischen Verantwortlichen
	CE-Konformitätszeichen mit Angabe der Zertifizierungsstelle, die den Gebrauch des Kennzeichens zulässt.

Outdated version. Do not use.
 Version überholt. Nicht verwenden.
 Version obsolete. Ne pas utiliser.
 Versión obsoleta. No utilizar.
 Versione obsoleta. Non utilizzate.
 Verouderde versie. Niet gebruiken.
 Παλιά έκδοση. Μην την χρησιμοποιείτε.
 Versão obsoleta. Não utilize.
 Föråldrad version. Använd ej.
 Zastaralá verze. Nepoužívat.
 Utdatert versjon. Må ikke anvendes.
 Zastaraná verzia. Nepoužívať.
 Elavult verzió. Ne használja!
 Wersja nieaktualna. Nie używać.

Outdated version. Do not use.
Version überholt. Nicht verwenden.
Version obsolète. Ne pas utiliser.
Versión obsoleta. No utilizar.
Versione obsoleta. Non utilizzare.
Verouderde versie. Niet gebruiken.
Föråldrad version. Använd ej.
Παλιά έκδοση. Μην την χρησιμοποιείτε.
Versão obsoleta. Não utilize.
Forældet version. Må ikke anvendes.
Zastaralá verze. Nepoužívat.
Utdatert versjon. Skal ikke brukes.
Zastaraná verzia. Nepoužívať.
Elavult verzió. Ne használja!
Wersja nieaktualna. Nie używać.

Outdated version. Do not use.
Version überholt. Nicht verwenden.
Version obsolète. Ne pas utiliser.
Versión obsoleta. No utilizar.
Versione obsoleta. Non utilizzate.
Verouderde versie. Niet gebruiken.
Föråldrad version. Använd ej.
Παλιά έκδοση. Μην την χρησιμοποιείτε.
Versão obsoleta. Não utilize.
Forældet version. Må ikke anvendes.
Zastaralá verze. Nepoužívat.
Utdatert versjon. Skal ikke brukes.
Zastaraná verzia. Nepoužívať.
Elavult verzió. Ne használja!
Wersja nieaktualna. Nie używać.

**Manufacturer**

Boston Scientific Corporation
4100 Hamline Avenue North
St. Paul, MN 55112-5798 USA

EC REP**Authorized representative in the European Community**

Guidant Europe NV/SA; Boston Scientific
Green Square, Lambroekstraat 5D
1831 Diegem, Belgium

AUS**Australian sponsor address**

Boston Scientific (Australia) Pty Ltd
PO Box 332
BOTANY NSW 1455 Australia
Free Phone 1 800 676 133
Free Fax 1 800 836 666

Cardiac Pacemakers Incorporated
4100 Hamline Avenue North
St. Paul, MN 55112-5798 USA

Manufactured at: Cardiac Pacemakers Incorporated
4100 Hamline Avenue North
St. Paul, MN 55112-5798 USA

www.bostonscientific.com

1.800.CARDIAC (227.3422)

+1.651.582.4000

© 2015 Boston Scientific Corporation or its affiliates.

All rights reserved.
359483-002 DE Europe 2015-10

C E0086